

CONTRIBUȚII LA PRELUCRAREA NUMERICĂ A SEMNALELOR CU FUNCȚII SPLINE

Teză destinată obținerii
titlului științific de doctor inginer
la
Universitatea "Politehnica" din Timișoara
în domeniul INGINERIE ELECTRONICĂ
ȘI TELECOMUNICAȚII
de către

Ing. Liliana Stoica

Conducător științific: prof.univ.dr.ing. Alimpie Ignea
Referenți științifici: prof.univ.dr.ing. Teodor Petrescu
prof.univ.dr.ing. Cornelia Gordan
prof.univ.dr.ing. Ioan Naforniță

Ziua susținerii tezei: 23.11.2012

Seriile Teze de doctorat ale UPT sunt:

- | | |
|---|--|
| 1. Automatică | 8. Inginerie Industrială |
| 2. Chimie | 9. Inginerie Mecanică |
| 3. Energetică | 10. Știința Calculatoarelor |
| 4. Ingineria Chimică | 11. Știința și Ingineria Materialelor |
| 5. Inginerie Civilă | 12. Ingineria sistemelor |
| 6. Inginerie Electrică | 13. Inginerie energetică |
| 7. Inginerie Electronică și Telecomunicații | 14. Calculatoare și tehnologia informației |

Universitatea „Politehnica” din Timișoara a inițiat seriile de mai sus în scopul diseminării expertizei, cunoștințelor și rezultatelor cercetărilor întreprinse în cadrul școlii doctorale a universității. Seriile conțin, potrivit H.B.Ex.S Nr. 14 / 14.07.2006, tezele de doctorat susținute în universitate începând cu 1 octombrie 2006.

Copyright © Editura Politehnica – Timișoara, 2012

Această publicație este supusă prevederilor legii dreptului de autor. Multiplicarea acestei publicații, în mod integral sau în parte, traducerea, tipărirea, reutilizarea ilustrațiilor, expunerea, radiodifuzarea, reproducerea pe microfilme sau în orice altă formă este permisă numai cu respectarea prevederilor Legii române a dreptului de autor în vigoare și permisiunea pentru utilizare obținută în scris din partea Universității „Politehnica” din Timișoara. Toate încălcările acestor drepturi vor fi penalizate potrivit Legii române a drepturilor de autor.

România, 300159 Timișoara, Bd. Republicii 9,
tel. 0256 403823, fax. 0256 403221
e-mail: editura@edipol.upt.ro

Cuvânt înainte

Prezenta lucrare a fost elaborată pe parcursul programului de doctorat fără frecvență susținut în Departamentul de Măsurări și Electronică Optică al Facultății de Electronică și Telecomunicații din cadrul Universității „Politehnica” din Timișoara. Perioada desfășurării programului doctoral a fost noiembrie 2001 – octombrie 2012.

Teza dezvoltă o cercetare în domeniul interpolării semnalelor. Prelucrarea numerică a semnalelor este utilizată în tot mai multe aplicații cotidiene. Aplicații diverse din domeniul interpolării imaginilor utilizează metode de interpolare eficiente, prin prisma conceptului de interpolare generalizată. Acestea pot fi utilizate și în prelucrarea semnalelor unidimensionale. În această teză s-au dezvoltat noi algoritmi de interpolare spline cubică. Unul dintre ei a fost implementat pe un sistem de prelucrare numerică a semnalelor și permite procesarea datelor în timp real.

Programul de doctorat s-a desfășurat la început sub conducerea regretatului Prof. dr. ing. Eugen Pop, continuând sub conducerea domnului Prof. dr. ing. Alimpie Ignea. În calitate de conducător de doctorat, domnul Prof. dr. ing. Eugen Pop mi-a oferit cu profesionalism îndrumare deosebită în ceea ce privește selectarea literaturii de specialitate adecvată, realizarea referatelor din cadrul doctoratului, scrierea și publicarea unora dintre lucrările științifice. Domnul Prof. dr. ing. Alimpie Ignea, cu profesionalism și răbdare, m-a sprijinit în ceea ce privește scrierea și publicarea unora dintre lucrările științifice și mai ales pentru finalizarea tezei. Pentru toate acestea le aduc calde mulțumiri.

Sincere mulțumiri aduc membrilor comisiei pentru modul competent de parcurgere a tezei de doctorat și pentru întocmirea referatelor.

Doresc, de asemenea, să aduc mulțumiri domnilor Prof. dr. ing. Dan Stoiciu și Prof. dr. ing. Traian Jurca, ale căror sfaturi și încurajări m-au ajutat în perioada desfășurării programului doctoral.

Le sunt recunoscătoare colegilor din Departamentul de Măsurări și Electronică Optică pentru atmosfera de lucru plăcută și sprijinul primit pe parcursul elaborării tezei.

Nu în ultimul rând, mulțumesc familiei mele pentru sprijinul, răbdarea și dragostea cu care m-au înconjurat în timpul desfășurării programului doctoral.

Timișoara, octombrie 2012

Ing. Liliana Stoica

Stoica, Liliana

Contribuții la prelucrarea numerică a semnalelor cu funcții spline

Teze de doctorat ale UPT, Seria 7, Nr. 52, Editura Politehnica, 2012, 141 pagini, 51 figuri, 14 tabele.

ISSN: 1842-7014

ISBN: 978-606-554-558-8

Cuvinte cheie: funcții B-spline, interpolare generalizată, interpolare spline cubică, prelucrare numerică a semnalelor, prelucrarea semnalelor în timp real

Rezumat,

În ultimele decenii, în domeniul prelucrării imaginilor s-au dezvoltat numeroase metode de interpolare cu funcții spline, în contextul conceptului de interpolare generalizată. Plecând de la acestea, teza de doctorat prezintă noi algoritmi de interpolare spline cubică utilizați pentru prelucrarea semnalelor unidimensionale. Avantajul unora dintre aceștia este că pot fi implementați prin filtre numerice cu răspuns finit la impuls simetrice. Unul dintre noii algoritmi este implementat pe un sistem cu procesor numeric de semnal și poate fi utilizat pentru prelucrarea semnalelor în timp real. Procesarea datelor în timp real este o cerință de bază pentru numeroase aplicații din domeniul prelucrării numerice a semnalelor.

Cuprins

Lista de figuri	7
Lista de tabele	9
1. Introducere	10
1.1. Problematika tezei	10
1.2. Structura tezei	11
2. Eșantionarea și interpolarea semnalelor	13
2.1. Introducere	13
2.2. Eșantionarea semnalelor	14
2.3. Interpolarea semnalelor	17
2.4. Filtrele numerice	20
3. Metode de interpolare cu funcții spline	22
3.1. Introducere	22
3.2. Funcții spline polinomiale – definiții și proprietăți	23
3.3. Metoda clasică de interpolare cu funcții spline	25
3.4. Funcții B-spline	27
3.5. Tehnici de interpolare cu funcții spline în prelucrarea numerică a semnalelor și imaginilor	31
3.6. Alte aplicații cu funcții spline	41
3.7. Algoritmul rapid de interpolare spline cubică (algoritmul Unser)	42
3.7.1. Prezentarea algoritmului	42
3.7.2. Rezultate experimentale proprii	45
3.8. Concluzii	56
4. Noi algoritmi de determinare a coeficienților B-spline	58
4.1. Introducere	58
4.2. Derivare numerică	59
4.2.1. Diferențe finite	59
4.2.2. Derivare numerică prin metoda Stănășilă	60
4.2.3. Diferența finită centrală a unui polinom ce trece prin 5 puncte	62
4.3. Relațiile dintre coeficienți, funcție și derivatele sale	63
4.4. Algoritmul zero (neconvergent)	65
4.5. Algoritmi care utilizează derivata 1	68
4.5.1. Considerații generale	68
4.5.2. Algoritmul 1A	69
4.5.3. Algoritmul 1D	70
4.5.4. Algoritmul 1P	71
4.5.5. Rezultate experimentale comparate	72
4.6. Algoritmi care utilizează derivata a doua	75
4.6.1. Considerații generale	75
4.6.2. Algoritmul 2A	75
4.6.3. Algoritmul 2D	76
4.6.4. Algoritmul 2P	77
4.6.5. Rezultate experimentale comparate	77
4.7. Concluzii	84

5. Îmbunătățirea algoritmilor de interpolare spline cubică ce utilizează valorile derivatelor funcției în noduri	86
5.1. Introducere	86
5.2. Utilizarea relației din algoritmul zero	86
5.2.1. Relația de calcul din algoritmul zero	86
5.2.2. Calculul intercalat al coeficienților	87
5.2.3. Introducerea unui pas suplimentar	88
5.2.4. Rezultate experimentale	89
5.3. Prelungirea șirului de coeficienți	91
5.4. Abordarea analogică a procesului de derivare	93
5.5. Algoritmi de interpolare pentru $m > 2$	95
5.6. Concluzii	98
6. Implementarea algoritmului 2D pe un sistem cu procesor numeric de semnal ..	100
6.1. Introducere	100
6.2. Caracteristici generale ale procesoarelor numerice de semnal	101
6.3. Descrierea sistemului de prelucrare numerică	103
6.4. Implementarea algoritmului	104
6.5. Rezultate simulare	105
6.6. Rezultate la rularea pe procesor	107
6.7. Concluzii	110
7. Concluzii și contribuții	111
Bibliografie	114
Anexa 1. Implementarea algoritmului rapid de interpolare spline cubică	122
Anexa 2. Implementarea algoritmului zero	127
Anexa 3. Implementarea algoritmilor 1A, 1D și 1P	128
Anexa 4. Implementarea algoritmilor 2A, 2D și 2P	131
Anexa 5. Implementarea algoritmilor îmbunătățiți	134
Anexa 6. Implementarea algoritmului 2D pe un procesor numeric de semnal	138

Lista de figuri

Fig. 2.1.	Prelucrarea numerică a semnalelor analogice	13
Fig. 2.2.	Interpolarea generalizată	19
Fig. 2.3.	Structura în cascadă	21
Fig. 3.1.	Instrumentul numit „spline”	22
Fig. 3.2.	Impulsul dreptunghiular simetric β^0	28
Fig. 3.3.	Funcțiile $\beta^0, \beta^1, \beta^2, \beta^3$	29
Fig. 3.4.	Funcția B-spline cubică	30
Fig. 3.5.	Derivatele funcției B-spline cubică	30
Fig. 3.6.	Algoritmul de interpolare B-spline	35
Fig. 3.7.	Aproximarea cu filtre spline prin metoda celor mai mici pătrate	37
Fig. 3.8.	Determinarea coeficienților B-spline	43
Fig. 3.9.	Algoritmul rapid de interpolare spline cubică pentru $m=2$	45
Fig. 3.10.	Eroarea de interpolare pentru $\cos(2\pi k/12)$, $k_0=7$	47
Fig. 3.11.	Eșantioanele de intrare și coeficienții determinați cu <i>algoritmul Unser</i>	50
Fig. 3.12.	Erori la interpolarea cu <i>algoritmul Unser</i>	52
Fig. 3.13.	Erori la interpolarea cu funcția predefinită din Matlab	52
Fig. 3.14.	Rezultate pentru semnal treaptă	53
Fig. 3.15.	Rezultate pentru semnal triunghiular cu 16 eşantioane pe perioadă....	53
Fig. 3.16.	Rezultate pentru semnal triunghiular cu 8 eşantioane pe perioadă	54
Fig. 3.17.	Semnal triunghiular interpolat spline cu funcția predefinită în Matlab ..	54
Fig. 3.18.	Semnal ECG reconstruit cu <i>algoritmul Unser</i>	55
Fig. 3.19.	Variația erorii maxime de interpolare în funcție de f_e/f_s	56
Fig. 4.1.	Reconstrucția semnalului	58
Fig. 4.2.	Interpolarea semnalului cu un factor $m=2$	59
Fig. 4.3.	Rezultate pentru reconstrucția semnalului sinusoidal cu <i>algoritmul zero</i>	67
Fig. 4.4.	Eșantioanele semnalelor cu discontinuități	74
Fig. 4.5.	Erorile de interpolare la prefiltrarea cu $H_{1D}(z)$, respectiv cu filtrul B-spline direct	74
Fig. 4.6.	Erori pentru $\cos(2\pi k/12)$ la interpolarea cu <i>algoritmul 1A</i>	78
Fig. 4.7.	Erori pentru $\cos(2\pi k/12)$ la interpolarea cu <i>algoritmii 1P, 2D și Unser</i> . ..	80
Fig. 4.8.	Erori pentru $\cos(2\pi k/12)$ la interpolarea cu <i>algoritmii 2P, 2D și Unser</i> . ..	80
Fig. 4.9.	Erori pentru $\cos(2\pi k/120)$ la interpolarea cu <i>algoritmii 1P, 2D și Unser</i>	81
Fig. 4.10.	Erori pentru semnal triunghiular la interpolarea cu <i>algoritmii 2D și Unser</i>	82
Fig. 4.11.	Erori pentru semnal treaptă la interpolarea cu <i>algoritmii 2D și Unser</i> ..	82
Fig. 4.12.	Variația cu M a erorii maxime de interpolare pentru <i>algoritmul 2D</i>	83
Fig. 5.1.	Algoritmul 1D cu pas suplimentar	88
Fig. 5.2.	Erori pentru $\cos(2\pi k/12)$ la interpolarea cu <i>algoritmii 1P, 1Pi și 1Ps</i> ...	90
Fig. 5.3.	Erori la interpolarea semnalului treaptă cu <i>algoritmii 1P, 1Pi și 1Ps</i> ...	90
Fig. 5.4.	Compararea erorilor la interpolarea semnalului sinusoidal cu <i>algoritmii 2D, 2Ds și 2P</i>	91

8 Lista de figuri

Fig. 5.5.	Erori la capete la interpolarea $\sin(2\pi k/12)$ cu algoritmi $2D_{ext}$, $2D$ și $Unser$	93
Fig. 5.6.	Circuit de derivare	94
Fig. 5.7.	Sistem de interpolare cu $m=2$	95
Fig. 5.8.	Interpolare prin conectarea în cascadă a mai multor filtre	96
Fig. 5.9.	Interpolare recursivă pentru $m=2^l$	97
Fig. 6.1.	Mediul de dezvoltare a aplicațiilor CCS	106
Fig. 6.2.	Semnalul de intrare și cel reconstruit (simulare)	106
Fig. 6.3.	Semnalul de intrare și cel interpolat cu 2 (simulare)	107
Fig. 6.4.	Sinus cu $f_s=200\text{Hz}$	108
Fig. 6.5.	Sinus cu $f_s=5\text{kHz}$	108
Fig. 6.6.	Semnal triunghiular cu $f_s=200\text{Hz}$	109
Fig. 6.7.	Semnal dreptunghiular cu $f_s=1\text{kHz}$	109
Fig. 6.8.	Semnal dreptunghiular cu $f_s=5\text{kHz}$	110

Lista de tabele

Tabelul 3.1.	Coeficienți $c(k)$ pentru diverse valori k_0	46
Tabelul 3.2.	Semnal $y(k)=1, k_0=7$	48
Tabelul 3.3.	Semnal $y(k)=1, k_0=+\infty$	49
Tabelul 3.4.	Coeficienți pentru $y(k)=\sin(2\pi k/M), k_0=7$	50
Tabelul 3.5.	Coeficienți pentru $y(k)=\cos(2\pi k/M), k_0=7$	51
Tabelul 4.1.	Valorile primilor 3 coeficienți pentru $y(k)=\sin(2\pi k/M)$	65
Tabelul 4.2.	Erori de interpolare pentru $y(k)=\cos(2\pi k/M)$, prefiltrare cu $H_{1A}(z)$, $H_{1D}(z)$, și $H_{1P}(z)$	73
Tabelul 4.3.	Rezultate pentru $y(k)=\sin(2\pi k/M)$, prefiltrare cu $H_{2D}(z)$	78
Tabelul 4.4.	Rezultate pentru $y(k)=\sin(2\pi k/M)$, prefiltrare cu $H_{2P}(z)$	78
Tabelul 4.5.	Rezultate pentru $y(k)=\cos(2\pi k/M)$, prefiltrare cu $H_{2D}(z)$	79
Tabelul 4.6.	Rezultate pentru $y(k)=\cos(2\pi k/M)$, prefiltrare cu $H_{2P}(z)$	79
Tabelul 5.1.	Erori de interpolare pentru $y(k)=\sin(\alpha)$: comparație $1D - 1D$ cu pas <i>suplimentar</i>	89
Tabelul 5.2.	Interpolare recursivă pentru $y(k)=\cos(\alpha)$, prefiltrare cu $H_{2D}(z)$	97
Tabelul 5.3.	Interpolare recursivă pentru $y(k)=\cos(\alpha)$, prefiltrare cu $H_{2P}(z)$	98

1. INTRODUCERE

1.1. Problematika tezei

Sistemele electronice, atât cele analogice, cât mai ales cele numerice, au pătruns în tot mai multe domenii. Tendința este ca procese, de la cele mai simple până la unele complexe, să fie realizate, urmărite și/sau conduse automat. Sistemele preiau informații, le convertesc, le prelucrează și pe baza lor se iau decizii care pot fi transmise sub formă de comenzi. De multe ori, prelucrarea acestor informații se face prin rularea pe sisteme numerice a unor programe specifice. Multe aplicații din viața cotidiană sunt realizate prin intermediul unor procesoare care execută un program prestabilit. Acestea sunt realizate pe baza unor modele matematice și a unor algoritmi specifici [86, 88]. Multe fenomene fizice și sisteme pot fi descrise prin modele matematice. În domenii precum electronica, mecanica, fizica sau chimia este foarte importantă alegerea modelului și a algoritmului matematic de lucru.

În prelucrarea numerică a semnalelor sunt esențiale alegerea modelului matematic și stabilirea algoritmilor specifici. Dezvoltarea acestora se bazează pe cunoașterea metodelor și a uneltelor matematice ce pot fi utilizate în acele cazuri și care pot duce la rezultate cât mai apropiate de cele așteptate. Stabilirea de noi teorii și direcții în matematică dau posibilitatea îmbunătățirii metodelor de lucru, realizării unor modele mai apropiate de cele reale, a unor algoritmi mai rapizi și a unor soluții competitive. Se cere viteză și calitate la costuri minime. Se lucrează atât la partea hard a sistemelor, dezvoltând tehnologii rapide, cât și la partea de programare [22, 70]. Astfel, se caută elaborarea unor algoritmi ce asigură rezultate bune prin efectuarea unui număr cât mai mic de operații.

Procedeele de reconstrucție și interpolare au un rol important în prelucrarea semnalelor. De cele mai multe ori, semnalele sunt preluate prin intermediul unor senzori și traductoare și convertite în șiruri de date. Acestea trebuie să conțină informația utilă din semnalul inițial. Semnalul trebuie să poată fi reconstruit pe baza acestor date și prin interpolare să furnizeze valori ale semnalului și în puncte intermediare celor în care s-a făcut prelevarea. Acest lucru este valabil atât în cazul semnalelor unidimensionale (ce prezintă variație în domeniul timp sau în domeniul frecvențe), cât și în cazul celor multidimensionale (imagini reprezentate pe axele XY, sau pentru care se rețin informații de culoare).

Abordarea problemei eșantionării prin prisma unor noi clase de funcții bază (wavelet și spline) a dus la dezvoltarea conceptului de interpolare generalizată [9, 24, 58, 102, 103]. Acesta a permis elaborarea a numeroase metode de interpolare implementate prin tehnici de filtrare numerică. Acestea sunt folosite, mai ales, în aplicații de prelucrare numerică a semnalelor precum redimensionarea imaginilor (mărire sau micșorare), aplicarea unor transformări geometrice, compresia, detecția conturului [47, 71, 96, 100, 107-116]. În general, imaginile sunt reprezentate printr-un volum mare de date. Pentru prelucrarea lor sunt necesari algoritmi de complexitate redusă, cât mai ușor de implementat și care necesită timpi de execuție cât mai mici. În ultimii 20 de ani, foarte multe aplicații din acest domeniu utilizează

pentru interpolare funcțiile spline sub diverse forme. Rezolvarea matriceală a problemei de interpolare cu funcții spline este complexă, necesită timp de calcul mare și utilizarea multor resurse [60, 112]. Abordarea acestei probleme prin tehnici de filtrare numerică duce la scăderea semnificativă a complexității algoritmilor, la prelucrare unui volum mare de date în timp scurt și la folosirea unor resurse minime.

În literatura de specialitate se fac referiri la posibilitatea de a utiliza acești algoritmi în prelucrarea semnalelor unidimensionale, însă nu sunt prezentate și exemple [100, 111]. Un mare dezavantaj al acestor algoritmi este că nu pot fi utilizați pentru prelucrări de semnale în timp real [123].

În acest context, autoarea tezei a realizat noi algoritmi de interpolare care combină tehnici cunoscute într-o nouă manieră [50-55, 89-91]. Algoritmii sunt implementați prin filtre IIR sau FIR simple și pot fi utilizați și pentru aplicații în timp real [56].

1.2. Structura tezei

Lucrarea cuprinde 7 capitole a căror structură este prezentată în continuare.

Capitolul 1 prezintă problematica și structura tezei. Sunt trecute în revistă principalele subiecte care sunt tratate în capitolele următoare.

În capitolul 2 sunt prezentate câteva noțiuni de bază din prelucrarea semnalelor privind reprezentarea, eșantionarea, interpolarea și filtrarea semnalelor. Sunt redată pe scurt câteva principii care stau la baza teoriei eșantionării în abordarea tradițională și a teoriei eșantionării generalizate. Strâns legat de acestea este procesul de interpolare a datelor. Sunt prezentate câteva metode de interpolare dintre cele mai cunoscute, al căror dezavantaj este faptul că pot produce oscilații importante între nodurile funcției. De aici derivă o nouă abordare a problemei interpolării, prin prisma conceptului de interpolare generalizată, utilizând funcții spline sau wavelet.

Capitolul 3 este o trecere în revistă a modului în care funcțiile spline au fost utilizate pentru interpolare. Se definesc, pe baza literaturii consultate, funcțiile spline polinomiale și B-spline și se evidențiază proprietățile care fac ca acestea să fie des utilizate pentru interpolări de bună calitate. Este prezentată metoda matriceală de rezolvare a problemei de interpolare spline cubică. Se trece apoi la tehnicile moderne de interpolare ce folosesc diverse tipuri de funcții spline, aplicate în special în prelucrarea imaginilor. Este descris un algoritm general de interpolare care utilizează funcții B-spline și tehnici de filtrare numerică preluat din literatura de specialitate. Pornind de la acest algoritm, mai mulți cercetători au dezvoltat o serie de alte metode de interpolare bazate pe alte tipuri de funcții spline, sau funcții spline modificate. În aproape toate aplicațiile studiate se propun abordări diferite ale pasului doi din procesul de interpolare generalizată. Pentru primul pas, cel de prefiltrare, se păstrează același tip de filtru IIR folosit în algoritmul inițial. Tot aici este prezentat în detaliu *algoritm rapid de interpolare spline cubică (algoritmul Unser)*. Autoarea tezei a implementat acest algoritm prin programe în *Matlab* și l-a testat pe câteva tipuri de semnale electrice bine cunoscute. Tot în Capitolul 3 sunt prezentate câteva dintre rezultatele acestor teste și concluziile ce derivă din acestea, concluzii referitoare în special la filtrul IIR folosit pentru determinarea coeficienților B-spline.

În capitolul 4 sunt prezentați noi algoritmi de interpolare spline cubică dezvoltată de autoare pe baza algoritmului rapid de interpolare spline cubică.

Metodele de realizare a pasului de prefiltrare sunt originale, păstrându-se din algoritmul inițial partea de filtrare B-spline inversă. Sunt prezentați 6 noi algoritmi pentru care coeficienții B-spline se determină prin metode diferite, metode care derivă din modul de determinare a valorilor derivatelor funcției de aproximare în noduri. Sunt analizate câteva rezultate semnificative ale testării acestor algoritmi pe aceleași semnale folosite și în capitolul anterior. *Algoritmii 2D și 2P* dezvoltăți, au marele avantaj că sunt implementați prin filtre FIR simetrice.

Capitolul 5 aduce în discuție câteva metode de îmbunătățire a algoritmilor dezvoltăți de autoare, prezentând și rezultate pentru acestea. Tot în acest capitol este tratată și problema apariției erorilor la capete (erori care la capetele șirului au valori mai mari decât pentru restul eșantioanelor). Aceste erori apar și în cazul algoritmului preluat din literatură și se propune o rezolvare originală a acestei probleme. Mai sunt prezentate și 3 noi metode alternative de implementare a algoritmilor pentru factor de interpolare mai mare ca 2.

În Capitolul 6, autoarea propune implementarea *algoritmului 2D* original pe un sistem cu procesor numeric de semnal. Mai întâi sunt prezentate, pe scurt, caracteristici de bază ale procesoarelor numerice de semnal și probleme generale legate de lucrul cu acestea. Este descris sistemul utilizat pentru implementarea și rularea algoritmului. Sunt redată câteva rezultate practice prin intermediul unor imagini importate de la osciloscopul numeric utilizat pentru vizualizarea semnalelor de la intrarea și respectiv, de la ieșirea sistemului de prelucrare.

Capitolul 7 prezintă cele mai importante concluzii și contribuții originale ale autoarei în cadrul tezei de doctorat. Sunt precizate și posibile dezvoltări ulterioare.

În Anexe sunt redată secvențe din programele realizate de autoare în *Matlab* și în *C* (în mediul de dezvoltare *Code Composer Studio*) și rezultate reprezentative obținute în urma rulării acestora.

2. EȘANTIONAREA ȘI INTERPOLAREA SEMNALELOR

2.1. Introducere

Semnalele regăsite în aplicații sunt în general analogice, deoarece acestea provin de la senzori și traductoare care transformă variația unui fenomen fizic în semnal electric. Se poate face prelucrarea analogică a semnalelor prin aducerea acestora la intrarea unor circuite analogice care realizează operații specifice. Prelucrarea numerică a semnalelor analogice se poate face dacă acestea sunt mai întâi convertite în secvențe de date prin eșantionare și cuantizare, apoi aduse la intrarea unui sistem numeric de prelucrare (SNP).

Eșantionarea este operația de preluare a unor valori ale semnalului la anumite intervale de timp egale (eșantionare uniformă) sau inegale (eșantionare neuniformă). Semnalul în timp continuu va fi astfel reprezentat în timp discret. Eșantionul este apoi convertit într-un număr prin intermediul unui convertor analog-numeric. Conversia presupune 2 componente: cuantizarea și codarea valorii cuantizate, convertorul furnizând câte o reprezentare numerică pentru fiecare eșantion [39]. După prelucrarea numerică, semnalul digital poate fi din nou convertit în semnal analogic prin conversie numeric-analogică. Întreg procesul este reprezentat schematic în figura 2.1.

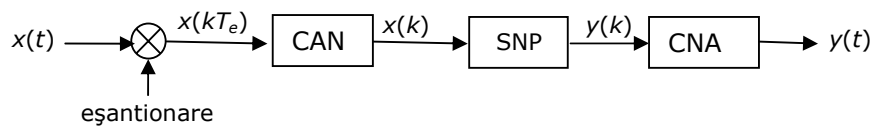


Fig.2.1. Prelucrarea numerică a semnalelor analogice.

În ultimele decenii prelucrarea numerică a semnalelor este folosită în tot mai multe domenii. Aplicații complexe care nu pot fi implementate prin intermediul circuitelor analogice sau care necesită costuri mari de implementare sunt realizate prin prelucrare digitală pe sisteme numerice de prelucrare (procesoare numerice de semnal, microprocesoare, calculatoare). Avantajele utilizării sistemelor numerice de prelucrare derivă din caracteristicile acestora. Se pot enumera câteva dintre aceste caracteristici: flexibilitatea în programare, repetabilitatea, stabilitatea semnalelor furnizate, sensibilitatea redusă față de perturbații [86].

Uzual, semnalele analogice pot fi reprezentate printr-o funcție $x(t)$ (semnalele deterministe). Semnalele pot fi periodice sau neperiodice, pentru perioadă folosind notația T . Semnalele în timp discret vor fi notate $x[k]$ sau $x(k)$, cu $k=0, 1, \dots, N-1$, unde N reprezintă numărul de eșantioane al șirului dat.

În domeniul prelucrării semnalelor se utilizează foarte des reconstrucția și interpolarea semnalelor. Procesul de interpolare al unui semnal presupune

determinarea funcției $x(t)$ pe baza eșantioanelor $x(k)$ prelevate în domeniul timp. Reconstrucția semnalelor se poate face și în cazul în care eșantioanele corespunzătoare semnalului $x(t)$ sunt cunoscute în domeniul frecvențe [69]. Interpolarea se poate implementa prin:

- metode analogice, folosind circuite electronice specifice;
- metode numerice, prin implementarea unor algoritmi de prelucrare numerică pe sisteme numerice de prelucrare.

O serie de operații care se efectuează asupra semnalelor numerice se pot implementa prin filtre numerice. În continuare se vor prezenta câteva concepte legate de procesele de eșantionare, interpolare și filtrare.

2.2. Eșantionarea semnalelor

Fie un semnal analogic $x(t)$, k un număr întreg și T_e perioada de eșantionare (pasul de eșantionare). Un semnal analogic $x(t)$ este eșantionat periodic la intervale egale cu T_e , rezultând șirul:

$$x(k) = x(kT_e), \quad -\infty < k < \infty \quad (2.1)$$

Perioadei de eșantionare îi corespunde o frecvență (rată) de eșantionare:

$$f_e = 1/T_e \quad (2.2)$$

Eșantionarea și reconstrucția semnalelor sunt operații fundamentale în procesarea numerică a semnalelor. Problema esențială care se pune este aceea că un semnal eșantionat trebuie să păstreze toate caracteristicile semnalului analogic din care provine pentru ca acesta din urmă să poată fi reconstituit din eșantioanele sale. La baza dezvoltării principiilor eșantionării și reconstrucției semnalelor stă teorema lui Shannon, publicată în 1940 [101]. Mai este cunoscută și ca teorema WKS: Whittaker-Kotelnikov-Shannon. Aceasta descrie o metodă generală de transformare a unui semnal analogic într-o secvență numerică [101]. Prin teorema lui Shannon se spune că pentru a putea reconstrui un semnal din eșantioanele sale, acesta trebuie eșantionat cu o frecvență de cel puțin 2 ori mai mare decât cea mai mare frecvență din spectrul semnalului. În literatura de specialitate mai este cunoscută și ca frecvență de eșantionare Nyquist [86, 101, 106]. Se presupune că semnalele sunt de bandă limitată, iar pentru reconstrucție avem nevoie de o infinitate de termeni. Dacă spectrul semnalului conține și frecvențe superioare frecvenței Nyquist, atunci apare fenomenul de aliere. Pentru a evita apariția acestui fenomen, se utilizează un filtru trece-jos ideal pentru filtrarea semnalului înainte de eșantionare. Acesta este denumit filtru anti-aliere.

Pentru reconstrucția unui semnal analogic trebuie de fapt să determinăm funcția care descrie forma acestui semnal pe baza eșantioanelor prelevate în domeniul timp sau a celor din domeniul frecvențe obținute în urma unui proces de prelucrare. Semnalul $x(t)$ de bandă limitată poate fi reconstruit din eșantioanele sale $x(kT_e)$ după formula:

$$x(t) = \sum_{k \in \mathbb{Z}} x(kT_e) \operatorname{sinc}(t/T_e - k) \quad (2.3)$$

unde $\text{sinc}(t)$ este funcția *sinus cardinal*:

$$\text{sinc}(t) = \frac{\sin(\pi t)}{(\pi t)} \quad (2.4)$$

Pentru multă vreme, teorema eșantionării a lui Shannon a reprezentat singurul mod de abordare a problemei eșantionării. În 1977 Papoulis a demonstrat că, pentru un semnal de bandă limitată, este posibilă reconstituirea semnalului din eșantioanele obținute la ieșirea unui ansamblu de q sisteme liniare invariante în timp dacă eșantionarea s-a făcut cu o frecvență de $(1/q)$ din frecvența Nyquist [42, 117]. Astfel se realizează o eșantionare multicanal, neideală, oferind o abordare mai realistă a problemei decât în cazul eșantionării ideale propusă de teorema lui Shannon. Această generalizare a pornit de la faptul că există multiple posibilități de a obține date dintr-un semnal pentru o caracterizare completă, eșantionarea uniformă cu frecvența Nyquist fiind doar o posibilitate.

În principiu, teorema generalizată a lui Papoulis propune o *eșantionare multicanal* care poate fi un instrument util în practică, în special în situații de achiziție de semnal cu senzori multipli. Papoulis a formulat această teorie pentru funcții de bandă limitată, însă nu a realizat un algoritm concret care ar putea fi implementat.

Eșantionarea multicanal se poate extinde și în cazul în care semnalele de intrare nu sunt de bandă limitată [42, 43, 77, 78, 117, 118]. Semnalul de intrare nu se mai consideră de bandă limitată, ci este un semnal de energie finită: $x(t) \in L_2$. Se renunță la idea de reconstrucție exactă a semnalului de intrare, făcând o aproximare „consistentă” a acestuia.

Scopul eșantionării este acela de a reprezenta o funcție $x(t)$ de variabilă continuă t printr-un șir de numere, reprezentare care este de cele mai multe ori preferabilă pentru prelucrarea și transmiterea de date. Reprezentarea nu trebuie să fie ambiguă, de aceea problema se limitează la o anumită clasă dată de semnale. În teoria clasică se consideră spațiul semnalelor de bandă limitată pentru care funcția bază este funcția sinus cardinal.

Teorema eșantionării a lui Shannon descrie legătura dintre o funcție de bandă limitată și eșantioanele sale echidistante prelevate la o frecvență superioară frecvenței Nyquist. Această abordare prezintă mai multe probleme din punct de vedere practic:

- presupune utilizarea unor filtre ideale, imposibil de realizat fizic;
- semnalele cu care se lucrează în practică sunt de durată finită, ceea ce este în contradicție cu ipoteza de semnal de bandă limitată;
- limitarea benzii de frecvență tinde să genereze oscilații Gibbs;
- funcția bază – sinus cardinal – are o rată de cădere foarte mică.

Primele 2 probleme pot fi oarecum rezolvate prin aproximări, însă ultimele două se pot rezolva doar prin schimbarea funcției bază [31, 101]. O abordare recentă este aceea de a studia eșantionarea prin metode oferite de teoria multirezoluției și a transformatei Wavelet. Baza acestei abordări o constituie faptul că diverse subspații wavelet au aceeași structură invariantă în timp ca și clasa funcțiilor de bandă limitată Shannon. Teoria funcțiilor wavelet a fost cea care a adus un nou mod de gândire în procesarea semnalelor în termeni de funcții de bandă nelimitată [33, 104]. Astfel, a fost deschis drumul spre folosirea și a altor funcții (de exemplu, funcțiile spline) ca funcții bază în teoria prelucrării semnalelor. Se oferă o abordare mai generală a problemei eșantionării, iar teoria tradițională poate fi

considerată un caz particular al acesteia (deoarece atunci când gradul funcției B-spline tinde la infinit, aceasta tinde la $\text{sinc}(t)$).

Orice semnal în timp continuu poate fi descris prin următorul model matematic [120]:

$$x(t) = \sum_{k=-\infty}^{\infty} c(k)\varphi(t-k) \quad (2.5)$$

În abordarea teoremei lui Shannon, coeficienții $c(k)$ sunt chiar eșantioanele semnalului $x(k)$, iar funcția $\varphi(t)$ este funcția *sinus cardinal*. În eșantionarea generalizată, pentru $\varphi(t)$ se folosesc alte clase de funcții (de exemplu: wavelet sau B-spline), iar coeficienții sunt o reprezentare a semnalului în timp discret.

Eșantionarea wavelet și spline reprezintă o alternativă tot mai des utilizată la abordarea clasică. Aceste tehnici pot fi folosite cu succes pentru proiectarea și folosirea dispozitivelor de achiziție ne-ideale și a măsurărilor multicanal [117].

Un tip de eșantionare multicanal ce poate fi utilă, de exemplu, în cazul în care avem un șir de măsurări asupra poziției și vitezei unei ținte sau a unui obiect în mișcare, este *eșantionarea derivativă* [119]. Dacă avem la dispoziție semnalul $x(t)$ și derivata sa de ordinul întâi $x'(t)$, atunci se pot eșantiona fiecare cu o frecvență de 2 ori mai mică decât frecvența Nyquist. Numărul total de eșantioane pe unitatea de timp este același ca în cazul eșantionării clasice [119, 120]. Eșantioanele obținute pot fi scrise astfel:

$$x(2n) = \sum_k c(k)\varphi(2n-k) \quad (2.6)$$

$$x'(2n) = \sum_k c'(k)\varphi(2n-k) \quad (2.7)$$

Se consideră că acestea sunt obținute la ieșirea unui sistem de filtre cu 2 canale, filtrele având funcțiile de transfer:

$$H_0(z) = \sum_n \varphi(n)z^{-n} \quad (2.8)$$

$$H_1(z) = \sum_n \varphi(n)z^{-n} \quad (2.9)$$

Impunând anumite condiții pentru aceste filtre, din eșantioanele $x(2n)$ și $x'(2n)$ putem reconstrui perfect $c(k)$, deci în final putem obține semnalul $x(t)$.

În cazul în care $x(t)$ este o funcție spline de gradul n , în loc să aplicăm eșantionarea uniformă conform teoriei lui Shannon, putem să eșantionăm $x(t)$ și cele $n-1$ derivate ale sale, fiecare cu o frecvență de n ori mai mică. Numărul total de eșantioane pe perioadă este același. În acest caz, $\varphi(t)$ poate fi funcția B-spline cubică sau funcția B-spline de ordinul 2. Este demonstrat că $x(t)$ poate fi reconstruit din aceste eșantioane utilizând filtre FIR digitale [119, 120].

În ultimii ani, teoria eșantionării generalizate a dus la dezvoltarea a numeroase metode de eșantionare uniformă sau neuniformă ce se pot aplica pentru semnale nelimitate în bandă și pentru sisteme neideale [21, 38, 48, 72, 95]. Această teorie este în strânsă legătură cu conceptul de interpolare generalizată.

2.3. Interpolarea semnalelor

Problema interpolării se pune în situații care necesită determinarea unor informații ce nu se regăsesc în mod explicit într-un șir de date. Fiind date un șir de valori ale unei funcții necunoscute, prin interpolare se construiește o funcție care are aceleași valori cu funcția originală în punctele date și permite calcularea valorilor și în alte puncte din domeniul de definiție.

Diverse metode de interpolare s-au folosit încă din antichitate pentru calcularea timpului și întocmirea calendarului pe baza poziției anumitor stele. Teorii și metode de interpolare au fost dezvoltate în diferite colțuri ale lumii și în diferite perioade temporale. Lipsa posibilităților de comunicare și documentare la distanțe lungi a făcut ca în zone geografice diferite, în aceeași perioadă de timp sau în perioade diferite să se dezvolte metode similare [58].

Din punct de vedere matematic, problema interpolării se pune astfel: fie o funcție reală $f(x)$ definită pe un interval $[x_0, x_N]$ pentru care se cunosc valorile funcției în punctele x_k , notate $y_k=f(x_k)$. Să se aproximeze această funcție printr-o altă funcție $g(x)$, relativ simplă, astfel încât, în orice punct, valoarea celei de-a doua funcții să fie „suficient de aproape” de valoarea lui f . Punctele x_k în care se dau valorile funcției se numesc noduri. Altfel spus, se caută o funcție $g(x)$ care în noduri ia aceleași valori ca funcția $f(x)$, sau valori apropiate de acestea:

$$g(x_k) = f(x_k), \quad k=0, 1, \dots, N \quad (2.10)$$

iar în celelalte puncte de pe interval, valorile lui $g(x)$ și $f(x)$ să fie apropiate [60].

Se pot distinge două cazuri în care este necesară aproximarea unei funcții:

- funcția are o expresie complicată și este dificil de evaluat;
- se cunosc valorile funcției în câteva puncte și este necesar să se determine valorile funcției în alte puncte intercalate [45].

Una dintre cele mai simple metode de interpolare este *interpolarea liniară*. Metoda de interpolare liniară presupune aproximarea unei funcții date între 2 puncte prin segmentul de dreaptă ce unește cele 2 puncte. Polinomul de aproximare de gradul întâi este de forma:

$$p(x) = \frac{f(x_{k+1}) - f(x_k)}{x_{k+1} - x_k} x + \left[f(x_k) - \frac{f(x_{k+1}) - f(x_k)}{x_{k+1} - x_k} x_k \right] \quad (2.11)$$

Interpolarea liniară a fost introdusă prima dată în calculul funcțiilor trigonometrice și al logaritmilor [20, 45]. De obicei, acest tip de interpolare implică erori foarte mari, care depind de interval și de forma funcției pe acest interval. Se poate obține o anumită acuratețe dacă se utilizează un număr suficient de puncte de interpolare [20]. Din această cauză, interpolarea liniară este rar utilizată, în schimb folosindu-se *interpolarea polinomială* (polinom de interpolare de grad mai mare).

Prin interpolarea polinomială se caută un polinom de aproximare de gradul n care în nodurile de interpolare să coincidă cu valorile funcției. S-au dezvoltat multe

metode de a determina acest polinom, printre cele mai cunoscute fiind polinomul lui Newton și polinomul Lagrange.

Polinomul de interpolare Newton se poate construi pe baza diferențelor finite ale funcției și se poate folosi doar în cazul în care nodurile de interpolare sunt echidistante. Acesta se determină astfel:

$$N_n(x) = y_0 + \frac{\Delta y_0}{1! h} (x - x_0) + \frac{\Delta^2 y_0}{2! h^2} (x - x_0)(x - x_1) + \dots + \frac{\Delta^n y_0}{n! h^n} (x - x_0)(x - x_1) \dots (x - x_{n-1}) \quad (2.12)$$

Diferențele finite sunt utilizate doar în cazul funcțiilor definite în puncte echidistante. Polinoamele de interpolare pot fi generalizate pentru funcții reprezentate în puncte inegal distanțate, utilizând diferențe divizate pentru determinarea acestora [45]. Prin metoda Lagrange se propune găsirea unui polinom de aproximare pentru funcții ale căror valori sunt date în puncte inegal distanțate. *Polinomul Lagrange* se determină astfel [45, 75]:

$$L_n(x) = \sum_{k=0}^n f(x_k) \frac{(x - x_0)(x - x_1) \dots (x - x_{k-1})(x - x_{k+1}) \dots (x - x_n)}{(x_k - x_0)(x_k - x_1) \dots (x_k - x_{k-1})(x_k - x_{k+1}) \dots (x_k - x_n)} \quad (2.13)$$

Deși valoarea polinomului coincide cu cea a funcției în noduri, între două noduri poate să se abată foarte mult de la aceasta. Acesta este marele dezavantaj al folosirii polinoamelor de interpolare. În plus, ori de câte ori se dorește să se înlocuiască polinomul cu unul de grad mai mare, toate calculele de determinare a acestuia trebuie refăcute [45].

Într-o serie de aplicații, pe lângă faptul că funcția de aproximare trebuie să furnizeze aceleași valori ca și funcția de aproximat în punctele de interpolare, se cere ca și derivatele acestora (de un anumit ordin) să coincidă în anumite puncte. Acest caz, în care sunt date valorile funcției și ale unui număr de derivate consecutive în noduri, se numește *interpolare Hermite (hermitiană)* [60].

În cazul *interpolării Hermite* se pune problema găsirii unui polinom unic de grad m sau mai mic, care, pentru funcția de interpolare $H(x_k)$, trebuie să satisfacă condițiile:

$$H(x_k) = f(x_k), \text{ pentru } k=0, 1, 2, \dots, N \quad (2.14)$$

$$H^{(i)}(x_k) = f^{(i)}(x_k), \text{ } i=1, 2, \dots, m \quad (2.15)$$

Dacă se scriu toate relațiile care rezultă din condițiile de mai sus, se obține un sistem de $m+1$ ecuații liniare cu $m+1$ necunoscute, sistem ce poate fi rezolvat prin diverse metode [20].

Metodele de interpolare polinomială au avantajul că oferă o formă analitică care poate fi ușor manipulată matematic. Marele dezavantaj al acestora este că aproximarea poate produce oscilații considerabile între noduri [75]. Pentru reducerea oscilațiilor se pot alege mai multe noduri, ceea ce înseamnă construirea unui polinom de grad mai mare. Aceasta nu conduce neapărat la rezultate mai bune

[60]. S-a demonstrat că, dacă gradul polinomului de interpolare crește indefinit ($n \rightarrow \infty$), atunci și eroarea de interpolare tinde la infinit ($\varepsilon \rightarrow \infty$) [60].

S-a căutat o altă clasă de funcții de interpolare care să înlăture neajunsurile polinoamelor de interpolare cunoscute. Astfel, se face trecerea la o clasă extinsă de funcții polinomiale: funcții polinomiale pe porțiuni (sau segmentar polinomiale) – polinoame posibil diferite pe subdomenii diferite ale domeniului pe care se face interpolarea. Segmentele de polinoame se racordează în noduri împreună cu un anumit număr de derivate ale acestora. Acestea sunt denumite funcții spline [60].

Funcțiile spline cubice sunt cele mai simple și mai des utilizate în ultimii ani în aplicații de interpolare. Aceste funcții vor fi descrise pe larg în Capitolul 3.

În teoria prelucrării semnalelor, procesele de reconstrucție și interpolare sunt direct legate de modul în care s-a făcut eșantionarea semnalelor. În cazul ideal, formula de interpolare care permite reconstituirea semnalului continuu $x(t)$ din eșantioanele sale este dată de relația (2.5), unde $\varphi(t)$ este funcția de interpolare. În practică se lucrează cu un număr finit de eșantioane și nu se poate implementa această relație, care reprezintă un proces de filtrare ideală. De aceea, filtrul ideal va fi înlocuit cu un filtru numeric specializat (filtru de interpolare). Acesta trebuie să îndeplinească următoarele condiții [69]:

- să prezinte o caracteristică fază – frecvență nulă sau cel mult liniară;
- eșantioanele inițiale trebuie să se reproducă fără erori în șirul interpolat;
- funcția de transfer a filtrului trebuie să fie o funcție pară;
- să asigure conservarea componentei continue a semnalului reconstituit.

Se poate spune că filtrele cu răspuns finit la impuls, care sunt filtre nerecursive, sunt potrivite pentru a fi utilizate ca filtre de interpolare.

Conceptul de eșantionare generalizată îl are ca și corespondent pe cel de interpolare generalizată. În cazul interpolării generalizate se renunță la idea de interpolare exactă a unui semnal, preferând o bună aproximare a acestuia [12]. Funcția de interpolare $\varphi(k)$ este înlocuită cu alte funcții de sinteză care asigură o aproximare consistentă a semnalului inițial [9, 30]. Ideea utilizării unui filtru anti-aliere din teoria clasică a eșantionării a sugerat soluții asemănătoare și în cazul interpolării generalizate. Astfel, din eșantioanele cunoscute ale semnalului $x(k)$, printr-un proces de prefiltrare, se determină coeficienții $c(k)$, cu ajutorul cărora se pot calcula eșantioanele semnalului interpolat [9]. Procesul de interpolare generalizată poate fi descris prin schema din figura 2.2.

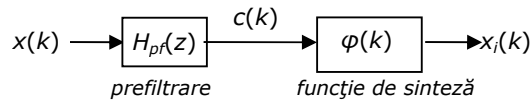


Fig.2.2. Interpolarea generalizată.

Funcția de transfer a sistemului de prefiltrare se determină astfel [9]:

$$H_{pf}(z) = \frac{1}{\sum_{k \in \mathbb{Z}} \varphi(k) z^{-k}} \quad (2.16)$$

În domeniul prelucrării imaginilor, în ultimii ani, s-au dezvoltat și se utilizează algoritmi de interpolare care se bazează pe conceptul de interpolare generalizată [58, 59, 124]. Pentru $\varphi(k)$ se folosesc funcțiile B-spline de diferite grade, sau variante modificate ale acestora. Câteva dintre aceste metode vor fi prezentate pe scurt în Capitolul 3.

2.4. Filtrele numerice

Filtrele numerice sunt sisteme liniare invariante utilizate pentru a modifica distribuția în frecvență a componentelor unui semnal după specificații date, folosind operații aritmetice cu o acuratețe limitată. Dacă la intrarea unui astfel de sistem se aduce un semnal discret $x(k)$, operația care se efectuează asupra lui se numește filtrare numerică și la ieșirea sistemului se obține $y(k)$.

Procesul de filtrare este descris prin relația (2.17), unde $h(i)$ este răspunsul sistemului la impulsul unitate.

$$y(k) = \sum_{i=0}^N h(i) \cdot x(k-i) \quad (2.17)$$

Pentru relația (2.17) se aplică transformata Z și se obține:

$$Y(z) = H(z)X(z) \quad (2.18)$$

Orice filtru numeric este caracterizat prin funcția de transfer notată $H(z)$. Aceasta este dată ca raport de polinoame, termenii a_i și b_j fiind coeficienții filtrului:

$$H(z) = \frac{a_0 + a_1z^{-1} + a_2z^{-2} + \dots + a_Nz^{-N}}{1 + b_1z^{-1} + b_2z^{-2} + \dots + b_Mz^{-M}} = \frac{A(z)}{B(z)} \quad (2.19)$$

Prin urmare, semnalul de la ieșirea filtrului se poate determina astfel:

$$y(k) = \sum_{i=0}^N a_i x(k-i) - \sum_{j=0}^M b_j y(k-j) \quad (2.20)$$

După tipul de răspuns la impulsul unitate, filtrele se pot clasifica în:

- filtre cu răspuns finit (FIR) la impulsul unitate;
- filtre cu răspuns infinit (IIR) la impulsul unitate.

Pentru filtrele cu răspuns finit la impuls (FIR) coeficienții b_j sunt zero, funcția de transfer a filtrului fiind dată prin polinomul $A(z)$. Acestea sunt filtre nerecursive. Un astfel de filtru este întotdeauna stabil, deoarece are răspuns finit la impulsul unitate. Dacă filtrul este simetric (șirul coeficienților a_i este simetric), atunci caracteristica de fază este o funcție liniară cu frecvența [39, 86].

Filtrele cu răspuns infinit la impuls (IIR) sunt caracterizate printr-o funcție de transfer de forma celei din relația (2.19), unde polinomul $B(z)$ este diferit de

unu. Funcția de transfer are N zerouri și M poli (p_i). Pentru ca filtrul să fie stabil, trebuie ca polii funcției de transfer să se situeze în planul z în interiorul cercului unitate, iar modulul acestora să fie mai mic decât unitatea. Ca filtrul să fie causal trebuie ca numărul polilor să fie mai mare decât numărul zerourilor [39, 64, 86].

Putem aprecia stabilitatea unui filtru IIR astfel:

- dacă $|p_i| < 1$, atunci $h(i) \rightarrow 0$, rezultând un sistem stabil;
- dacă $|p_i| > 1$, atunci $h(i) \rightarrow \infty$, rezultând un sistem instabil;
- dacă $|p_i| = 1$, sistemul este caracterizat de o stabilitate marginală și produce un răspuns oscilatoriu. Mai mult, polii de ordin multiplu de pe cercul unitar determină un sistem instabil.

Filtrele IIR sunt filtre recursive, pentru care valoarea semnalului de la ieșire la un moment dat depinde atât de valorile semnalului de la intrare cât și de valorile anterioare ale semnalului de la ieșire.

Pentru filtre de ordin mai mare, dacă funcția de transfer $H(z)$ dată de (2.19) poate fi împărțită conform relației (2.21), atunci filtrul poate fi obținut prin legarea în cascadă a r filtre de ordin mai mic, care au funcțiile de transfer $H_1(z)$, ..., $H_r(z)$.

$$H(z) = C \cdot H_1(z) \cdot H_2(z) \cdot \dots \cdot H_r(z) \quad (2.21)$$

În figura 2.3 este prezentată structura în cascadă a unui filtru.

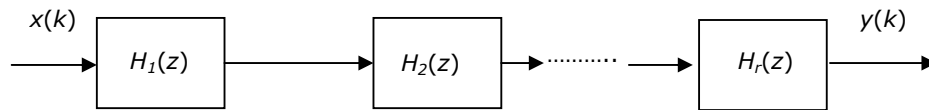


Fig. 2.3. Structura în cascadă.

Implementarea filtrelor numerice presupune realizarea unor operații simple de adunare și înmulțire. De aceea, ele pot fi implementate cu ușurință pe sisteme numerice de prelucrare. Procesoarele numerice de semnal sunt optimizate să poată efectua în paralel cel puțin o operație de înmulțire și una de adunare, realizându-se astfel ușor și rapid procesele de filtrare numerică.

3. METODE DE INTERPOLARE CU FUNCȚII SPLINE

3.1. Introducere

Funcțiile spline reprezintă o clasă specială de funcții dezvoltată din necesitatea de a elimina unele neajunsuri ale funcțiilor polinomiale în teoria aproximării și interpolării funcțiilor. Funcția este formată din polinoame pe subintervale adiacente care se racordează în noduri împreună cu un anumit număr de derivate ale sale.

Denumirea acestui tip de funcții provine din mecanică. Dispozitivul mecanic „spline” este format dintr-o bară subțire deformabilă cu greutatea care pot fi aranjate astfel încât bara să treacă prin anumite puncte date și este utilizat pentru a desena o curbă netedă [60]. În figura 3.1 este prezentat un astfel de instrument [130].

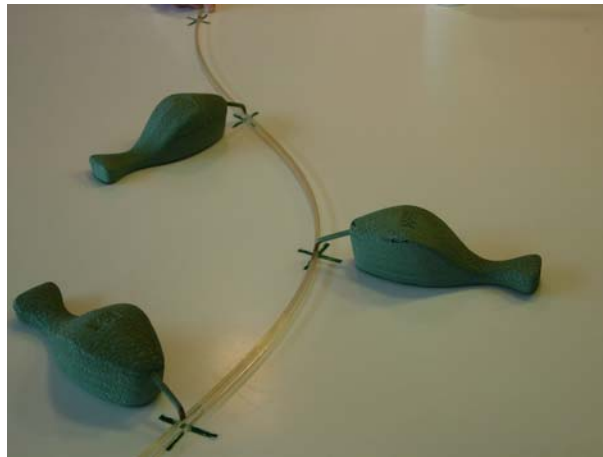


Fig.3.1. Instrumentul numit „spline”.

Chiar din antichitate, liniile poligonale au fost utilizate în problemele de geometrie, apoi pentru aproximarea soluțiilor ecuațiilor diferențiale. Isaac Jacob Schoenberg⁽¹⁾ a utilizat pentru prima dată în 1946 termenul de „funcție spline” pentru a descrie o funcție segmentar polinomială [60, 100]. El a avut un rol important în structurarea și dezvoltarea teoriei funcțiilor spline, fiind cunoscut ca „tatăl” acestor funcții [130].

Carl DeBoor este considerat ca fiind cel care a continuat munca lui Schoenberg în domeniul funcțiilor spline [130].

Dezvoltarea teoriei funcțiilor spline s-ar putea împărți în 2 perioade [60, 100]. Prima este până în 1964, când un număr însemnat de matematicieni au

⁽¹⁾ I. J. Schoenberg s-a născut în România, la Galați, în 1903. A studiat și apoi a fost asistent la *Universitatea din Iași*, unde a susținut și teza de doctorat. După 1930, activitatea sa de cercetare se desfășoară în Statele Unite ale Americii. Lucrările sale sunt de referință în dezvoltarea ulterioară a teoriei funcțiilor spline [82].

dezvoltat anumite clase de funcții care aveau proprietăți asemănătoare sau identice cu funcțiile spline. Între timp, teoria prelucrării semnalelor a cunoscut o dezvoltare rapidă datorită abordării prin prisma funcțiilor de bandă limitată propusă de Shannon [100]. În 1964, I. J. Schoenberg a descoperit relația dintre funcțiile spline de interpolare și cele mai bune formule de aproximare în sensul lui Sard. Se poate spune că acesta a fost un pas hotărâtor în dezvoltarea teoriei funcțiilor spline [60]. După aceasta, interesul pentru acest domeniu a crescut și tot mai mulți au fost cei care au dezvoltat și utilizat teoriile existente.

Ulterior, familia funcțiilor spline este extinsă, incluzând funcții spline polinomiale, funcții spline trigonometrice, funcții spline exponențiale, B-spline, L-spline, funcții spline Cebîșev, funcții spline cardinale, biortogonale. În literatura de specialitate sunt tratate funcțiile spline de o variabilă, teoria fiind extinsă rapid și în cazul mai multor variabile [60, 16]. Teoria funcțiilor spline a fost dezvoltată într-o mulțime de direcții și mai ales, s-a căutat aplicarea funcțiilor spline în diverse domenii. În matematică și în ramurile care necesită un suport și un model matematic bine elaborat, aceste funcții se utilizează în rezolvarea de probleme noi, sau oferă o nouă abordare a problemelor clasice (interpolare, aproximarea unor funcționale liniare, rezolvarea numerică a unor clase de ecuații diferențiale și integrale, ecuații cu derivate parțiale) [60, 100].

Odată cu dezvoltarea computerelor, funcțiile spline au avut un impact considerabil în proiectarea asistată de calculator și grafica computerizată [100]. În prelucrarea semnalelor au fost folosite mai târziu, după ce teoria funcțiilor wavelet a adus un nou mod de gândire prin prisma funcțiilor de bandă nelimitată [100].

Se poate spune că rezultate importante în teoria funcțiilor spline s-au obținut și în România. Membrii seminarului de cercetare „Funcții spline și aplicații” de la *Facultatea de matematică a Universității din Cluj-Napoca* au publicat lucrări în acest domeniu. O lucrare de bază este monografia „*Funcții spline și aplicații*” [60] a profesorului Gheorghe Micula. În numeroase rânduri se vor face referiri la această carte și din ea vor fi prezentate câteva definiții și teoreme în subcapitolul 3.2. Lucrarea, revizuită și completată, scrisă în limba engleză împreună cu Sanda Micula, este publicată în 1999 sub titlul „*Handbook of splines*” [61].

3.2. Funcții spline polinomiale – definiții și proprietăți

Funcțiile spline polinomiale vor fi definite în continuare.

Definiție 3.1 [60]: Funcția $s: \mathbb{R} \rightarrow \mathbb{R}$ se numește *funcție spline de gradul n* , cu nodurile $x_1 < x_2 < \dots < x_N$, dacă satisface următoarele două condiții:

$$\bullet \quad s|_{I_i} \in P_n(I_i), I_i = (x_i, x_{i+1}), i = 0, 1, \dots, N, (x_0 = -\infty, x_{N+1} = +\infty) ; \quad (3.1)$$

$$\bullet \quad s \in C^{n-1}(\mathbb{R}). \quad (3.2)$$

O funcție spline de gradul n , definită pe un interval, este formată din fragmente de polinoame de grad n pe subintervale adiacente, care se unesc în noduri. Funcția este de $n-1$ ori derivabilă, ea și primele $n-1$ derivate ale sale fiind continue. Datorită proprietăților de continuitate și a faptului că se exprimă prin polinoame, acest tip de funcție poate fi ușor de folosit în rezolvarea problemelor de interpolare a datelor și aproximare a unor curbe și funcții complicate. Acestea nu sunt necesare în cazuri în care este simplu de determinat funcția ce se potrivește

unui set de date, ci pentru a genera o funcție care să le aproximeze. Se pot realiza ușor algoritmi de calcul ce pot fi implementați prin programe pe calculator sau pe procesoare numerice de semnal.

Următoarea teoremă arată faptul că funcțiile spline polinomiale pot fi folosite pentru aproximare.

Teoremă 3.1 [60]: Orice funcție $f \in C^n[a, b]$, împreună cu derivatele ei până la ordinul n , pot fi approximate uniform printr-o funcție spline de gradul n , respectiv prin derivatele până la ordinul n ale funcției spline.

În problemele de interpolare, se utilizează frecvent funcțiile spline de grad impar, deoarece acestea au anumite proprietăți deosebite (de exemplu: estimarea erorii este mai bună) [60]. Se demonstrează și faptul că este avantajos din punct de vedere practic dacă condițiile de interpolare se pun chiar în noduri. Acest lucru este indicat în cazul funcțiilor de grad impar. Pentru funcțiile spline de grad par se recomandă ca nodurile funcției de interpolare să nu coincidă cu punctele în care sunt cunoscute datele de intrare [16, 19, 44].

Cel mai des sunt utilizate funcțiile spline cubice. Funcțiile spline cubice sunt formate din polinoame de gradul 3.

Definiție 3.2 [60]: Funcția $s_\Delta: [a, b] \rightarrow \mathbb{R}$ se numește *funcție spline cubică*, relativ la diviziunea Δ (cu nodurile $x_i, i=1, 2, \dots, N-1$), dacă satisface următoarele două condiții:

$$\bullet \quad s_\Delta \in P_3(I_i), i = 0, 1, \dots, N-1; \quad (3.3)$$

$$\bullet \quad s_\Delta \in C^2[a, b]. \quad (3.4)$$

unde: Δ - reprezintă o diviziune a intervalului $[a, b]$;
 x_i - puncte din intervalul $a = x_1 < x_2 < \dots < x_N = b$;
 $I_i = (x_i, x_{i+1})$ - subintervale;
 $P_3(I_i)$ - restricția tuturor polinoamelor de grad ≤ 3 pe intervalul I_i .

Definiție 3.3 [60]: Fie $Y = (y_1, y_2, \dots, y_N)$ un vector dat. O funcție spline cubică s_Δ se numește *funcție spline cubică de interpolare* pentru vectorul Y , pe diviziunea Δ , dacă:

$$s_\Delta(x_i) = y_i, \text{ pentru } i=1, 2, \dots, N \quad (3.5)$$

Dacă Y reprezintă valorile unei funcții date f în noduri, atunci s_Δ este o funcție spline cubică de interpolare pentru funcția f și se notează: s_f sau s_y . Micula demonstrează existența și unicitatea acestei funcții de interpolare [60].

Funcțiile spline cubice de interpolare au proprietăți de convergență foarte bune. Dintre toate funcțiile $g: [a, b] \rightarrow \mathbb{R}$ care interpoalează funcția dată f , funcția spline cubică are proprietatea remarcabilă de a minimiza integrala:

$$\int_a^b [g'(x)]^2 dx \quad (3.6)$$

Aceste proprietăți pot fi îmbunătățite prin cerințe mai tari de continuitate, de exemplu pentru o funcție $f \in C^4[a, b]$ [60]. Aceste rezultate sunt în contrast cu rezultatele negative asupra convergenței polinoamelor de interpolare, însă, pentru

clase și mai netede de funcții, ordinul de convergență nu poate crește și mai mult [60].

În practică există cazuri în care valorile y_i în nodurile x_i nu sunt cunoscute cu exactitate. De exemplu, acestea sunt rezultate determinate experimental, însoțite de o anumită incertitudine de măsurare. În aceste cazuri, problema interpolării presupune găsirea unei funcții spline care în noduri să ia valori aproximative, nu valori exacte: $s_y(x_i) \cong y_i$. O astfel de funcție se numește *funcție spline de ajustare* [60].

Definițiile funcțiilor spline polinomiale și metodele de determinare a funcțiilor spline de interpolare prezentate se regăsesc în mai multe lucrări din literatura de specialitate [16, 17, 44, 93].

3.3. Metoda clasică de interpolare cu funcții spline

Se dă vectorul de date $Y=(y_1, y_2, \dots, y_N)$. Trebuie să determinăm funcția spline cubică s cu nodurile în punctele $x_i, i=1, \dots, N$, unde $a = x_1 < x_2 < \dots < x_N = b$ este o diviziune a intervalului $[a, b]$, funcție care să interpoleze aceste date.

Funcțiile spline cubice pot fi exprimate astfel:

$$s(x) = \begin{cases} s_1(x), & \text{dacă } x_1 \leq x < x_2 \\ s_2(x), & \text{dacă } x_2 \leq x < x_3 \\ \vdots \\ s_{N-1}(x), & \text{dacă } x_{N-1} \leq x < x_N \end{cases} \quad (3.7)$$

$$\text{unde } s_i(x) = a_i(x-x_i)^3 + b_i(x-x_i)^2 + c_i(x-x_i) + d_i, \text{ pentru } i=1, 2, \dots, N-1. \quad (3.8)$$

Derivatele întâi și a doua ale funcției vor fi:

$$s_i'(x) = 3a_i(x-x_i)^2 + 2b_i(x-x_i) + c_i \quad (3.9)$$

$$s_i''(x) = 6a_i(x-x_i) + 2b_i \quad (3.10)$$

Corespunzător celor $N-1$ subintervale ale funcției, avem $N-1$ fragmente de polinoame de gradul 3, caracterizate fiecare prin 4 parametri (a_i, b_i, c_i, d_i) , în total, $4N-4$ parametri ce trebuie determinați. Prima condiție care se pune este ca funcția să treacă prin toate punctele, deci în noduri să ia valorile datelor din vectorul de intrare:

$$s(x_i) = y_i, \quad i=1, \dots, N \quad (3.11)$$

Din aceste relații rezultă N ecuații.

Funcția și derivatele sale de ordinul 1 și 2 trebuie să fie continue pe tot intervalul $[a, b]$, de unde mai rezultă $3(N-2)$ condiții:

$$s_i(x_i) = s_{i-1}(x_i) \quad (3.12)$$

$$s_i'(x_i) = s_{i-1}'(x_i) \quad (3.13)$$

$$s_i''(x_i) = s_{i-1}''(x_i) \quad (3.14)$$

În total avem $4N-6$ condiții ce reprezintă un sistem de $4N-6$ ecuații cu $4N-4$ necunoscute, deci un sistem nedeterminat.

Cele 2 condiții de care mai avem nevoie pentru determinarea funcției spline cubice în mod unic pot fi specificate în mai multe feluri. De exemplu, *funcția spline cubică naturală* se obține pentru condiții la limită naturale [57, 60, 65]:

$$s''(x_1) = s''(x_N) = 0. \quad (3.15)$$

Dacă ultimele 2 condiții sunt cele ce care urmează, obținem *funcția spline parabolică* [57]:

$$s''(x_1) = s''(x_2) \quad (3.16)$$

$$s''(x_N) = s''(x_{N-1}) \quad (3.17)$$

Funcția s se poate prelungi în afara intervalului $[a, b]$ prin periodicitate cu perioada $b-a$. Astfel se obțin *funcții spline cubice de interpolare periodice* [65]. În acest caz, condițiile impuse sunt:

$$s''(x_1) = s''(x_N) \quad (3.18)$$

$$s''(x_2) = s''(x_{N+1}) \quad (3.19)$$

Sistemul permite o rezolvare matriceală [65, 87, 126]. Caracterul polinomial al acestor funcții prezintă, din punct de vedere aplicativ, avantajul de a putea duce până la capăt calculele și a determina soluții unice în condiții date. Micula demonstrează că problema are soluție unică [60], dar sunt necesare un număr mare de calcule, fapt ce poate fi dezavantajos din punctul de vedere al implementării soluției pe un sistem de prelucrare numerică.

Utilizând și valorile derivatelor pentru rezolvarea problemei, procesul este unul de interpolare Hermite [60].

În [60], sunt descrise două metode de calcul efectiv al unei funcții spline cubice de interpolare. Mai întâi definește mărimile $m_i = s_y'(x_i)$ (pante) și respectiv $M_i = s_y''(x_i)$ (momente). Pentru polinomul de interpolare, definește și derivatele acestuia în noduri ca fiind egale cu aceste momente. Aceasta face ca procesul de interpolare să fie unul de tip Hermite. Scriind ecuațiile pentru polinoame și derivatele acestora, se ajunge la un sistem de $N-2$ ecuații cu N necunoscute. Pentru ca sistemul să fie univoc rezolvabil se mai adaugă două condiții la limită suplimentare. Aceste condiții pot fi de mai multe feluri, ceea ce conduce la găsirea unor tipuri diferite de funcții spline cubice (naturală, parabolică). Micula prezintă două cazuri pentru impunerea condițiilor la limită suplimentare. Unul presupune ca funcția spline să fie prelungită în afara intervalului $[a, b]$ prin periodicitate cu perioada $b-a$. O altă posibilitate este de a impune condiții derivatelor la capetele intervalului (în x_1 și x_N). În fiecare caz se obține câte un sistem de ecuații liniar univoc rezolvabil.

Sistemele liniare permit o rezolvare matriceală, care necesită un număr considerabil de calcule. Timpul de calcul poate fi destul de mare la implementarea acestor metode pe un sistem numeric de prelucrare.

În al doilea caz, în scrierea matricelor se obțin și termenii de forma $D_i/6$. Aceștia reprezintă diferența divizată de ordinul doi a valorilor (y_{i-1}, y_i, y_{i+1}) , pentru $i=2, 3, \dots, N-1$. Este o observație ce va fi utilizată mai târziu în această teză.

Funcțiile spline de interpolare au proprietăți de convergență remarcabile. Este de amintit faptul că sunt multe cazuri în care polinoamele de interpolare (Bernstein, Lagrange) sunt divergente. Proprietățile de convergență sunt îmbunătățite prin cerințe mai tari de continuitate. Astfel, dacă funcția spline $s \in C^4[a, b]$, ordinul de convergență se îmbunătățește [60]. Este demonstrat și faptul că ordinul de convergență nu crește pentru clase și mai netede de funcții [60].

În prelucrarea numerică a semnalelor, pentru interpolarea și aproximarea cu funcții spline, inițial se apela la rezolvarea matriceală, utilizând tehnici numerice tradiționale. Însă, această abordare presupune calcularea inversei unei matrice și o multitudine de operații care pot complica mult algoritmi de prelucrare. Problema interpolării poate fi rezolvată și prin utilizarea funcțiilor B-spline și a tehnicilor de filtrare numerică.

3.4. Funcții B-spline

Spațiul funcțiilor spline polinomiale de gradul n și spațiere unitară este notat S_1^n . Acest spațiu este definit de I. J. Schoenberg astfel [15, 79, 81, 111]:

$$S_1^n = \left\{ s^n(x) = \sum_{k=-\infty}^{+\infty} c(k) \beta^n(x-k), x \in \mathbb{R}, c \in l_2 \right\} \quad (3.20)$$

unde $\beta^n(x)$ este funcția B-spline simetrică de gradul n :

$$\beta^n(x) = \sum_{j=0}^{n+1} \frac{(-1)^j}{n!} \binom{n+1}{j} \left(x + \frac{n+1}{2} - j \right)^n \mu \left(x + \frac{n+1}{2} - j \right), x \in \mathbb{R} \quad (3.21)$$

$\mu(x)$ este funcția treaptă unitate (3.22), iar termenul $\binom{n+1}{j}$ reprezintă coeficienții binomiali dați de relația (3.23) [108, 111].

$$\mu(x) = \begin{cases} 0, & x < 0 \\ 1, & x \geq 0. \end{cases} \quad (3.22)$$

$$\binom{n+1}{j} = \frac{(n+1)!}{(n+1-j)! j!} \quad (3.23)$$

I. J. Schoenberg a definit funcțiile B-spline cu ajutorul diferențelor divizate sub denumirea de *funcții spline cu deficiență* sau *cu variație diminuată* (în engleză: *diminishing spline functions*) [65].

Se poate spune că funcțiile B-spline sunt de bază pentru construcția funcțiilor spline, după cum se observă și din denumirea acestora: B – de la „basic”

(în engleză: *basic*=de bază) [18]. Sunt foarte des utilizate deoarece sunt funcții cu suport compact și sunt funcțiile spline polinomiale cele mai scurte posibil [81, 108].

Ele pot fi reprezentate și prin funcții putere trunchiate [100, 110]:

$$\beta^n(x) = \sum_{j=0}^{n+1} \frac{(-1)^j}{n!} \binom{n+1}{j} \left(x + \frac{n+1}{2} - j\right)_+^n, \quad x \in \mathfrak{R} \quad (3.24)$$

Relația (3.24) justifică afirmația lui Gh. Micula [60] că o funcție spline cubică poate fi reprezentată cu ajutorul funcțiilor putere trunchiate.

Orice funcție B-spline centrată de gradul n și definită pe intervalul compact $[-h(n+1)/2, h(n+1)/2]$ poate fi reprezentată astfel [32]:

$$\beta_h^n(x) = \sum_{j=0}^{n+1} \frac{(-1)^j}{n!} \binom{n+1}{j} \frac{(x + h(n+1)/2 - j)_+^n}{h^{n+1}}, \quad x \in \mathfrak{R} \quad (3.25)$$

Datorită reprezentării prin (3.20), orice funcție spline polinomială poate fi construită ca sumă ponderată de funcții B-spline deplasate și este caracterizată în mod unic prin secvența de coeficienți B-spline $c(k)$ [15]. În consecință, are structura unui semnal discret, chiar dacă reprezentarea modelului este continuă [100, 111].

Funcția B-spline de gradul n poate fi construită recursiv, pe baza funcției B-spline de gradul $n-1$. Astfel, funcția poate fi determinată prin convoluția de $(n+1)$ ori a impulsului dreptunghiular simetric β^0 (reprezentat în figura 3.2):

$$\beta^0(x) = \begin{cases} 1, & x \in \left[-\frac{1}{2}, \frac{1}{2}\right) \\ 0, & \text{altfel} \end{cases} \quad (3.26)$$

$$\beta^n(x) = \beta^0 * \beta^0 * \dots * \beta^0(x) \quad (\text{de } (n+1) \text{ ori}) \quad (3.27)$$

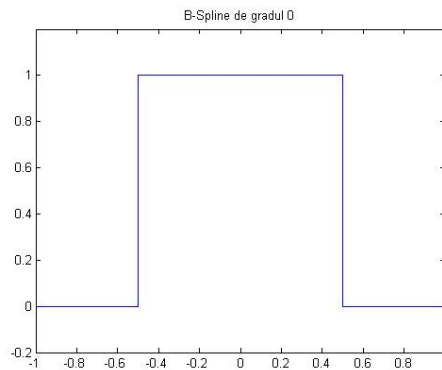


Fig.3.2. Impulsul dreptunghiular simetric β^0 .

Funcțiile B-spline astfel definite sunt simetrice, iar pentru gradul n de la 0 la 3 sunt reprezentate în figura de mai jos:

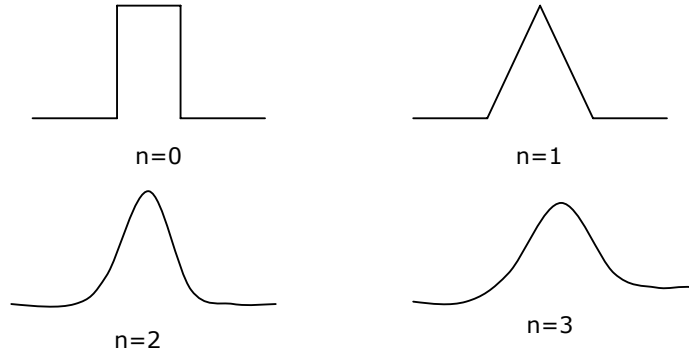


Fig.3.3. Funcțiile β^0 , β^1 , β^2 și β^3 .

Pentru $n=0$ (funcția *spline constantă*) și $n=1$ (*spline liniară*), valorile coeficienților sunt egale cu cele ale funcției în noduri [100].

Aceste funcții prezintă și avantajul de a fi ușor de manipulat, deoarece derivatele și integralele lor se pot calcula prin formulele de recurență [83, 111]:

$$\frac{d\beta^n(x)}{dx} = \beta^{n-1}\left(x + \frac{1}{2}\right) - \beta^{n-1}\left(x - \frac{1}{2}\right) \quad (3.28)$$

$$\int_{-\infty}^x \beta^n(x) dx = \sum_{k=0}^{+\infty} \beta^{n+1}\left(x - \frac{1}{2} - k\right) \quad (3.29)$$

Prin derivarea funcției B-spline putem calcula derivata oricărei funcții spline $s^n(x)$ reprezentată prin coeficienții săi B-spline [111]:

$$\frac{\partial s^n(x)}{\partial x} = \sum_{k=-\infty}^{+\infty} c(k) \frac{\partial \beta^n(x-k)}{\partial x} \quad (3.30)$$

Se definește funcția B-spline extinsă cu un factor m [108]:

$$\beta_m^n(x) = \beta^n(x/m) \quad (3.31)$$

Aceasta satisface proprietatea de convoluție [98]:

$$\beta_m^n(x) = \frac{1}{m} \beta_m^{n-1} * \beta_m^0(x) = \frac{1}{m^n} \underbrace{\beta_m^0 * \dots * \beta_m^0(x)}_{\text{de } (n+1) \text{ ori}} \quad (3.32)$$

Funcțiile B-spline cubice ($n=3$) sunt folosite cel mai des în aplicații, în special pentru interpolări de bună calitate. Ele se pot reprezenta prin formula următoare [100]:

$$\beta^3(x) = \begin{cases} \frac{2}{3} - |x|^2 + \frac{|x|^3}{2}, & 0 \leq |x| < 1 \\ \frac{(2-|x|)^3}{6}, & 1 \leq |x| < 2 \\ 0, & 2 \leq |x| \end{cases} \quad (3.33)$$

Reprezentarea grafică a funcției B-spline cubice se găsește în figura 3.4.

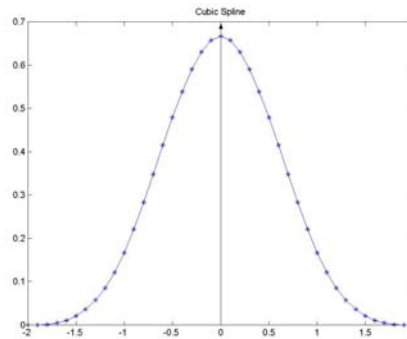
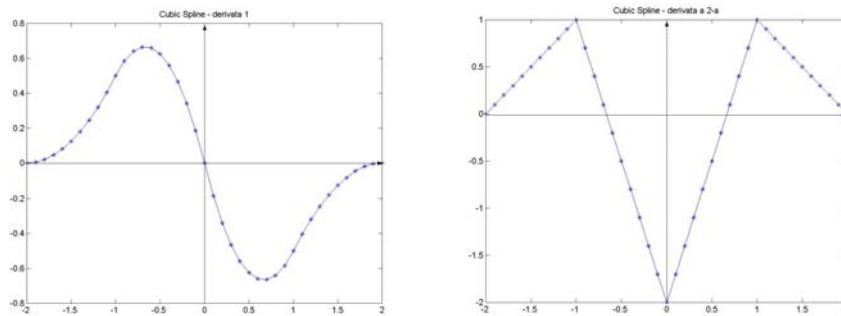


Fig.3.4. Funcția B-spline cubică.



a) derivata întâi

b) derivata a doua

Fig.3.5. Derivatele funcției B-spline cubică.

În figura 3.5 sunt prezentate derivatele întâi (3.5.a)) și a doua (3.5.b)) ale funcției B-spline cubice. Acestea pot fi descrise prin următoarele formule:

$$\beta^{3'}(x) = \begin{cases} \frac{(2+x)^2}{2}, & -2 \leq x < -1 \\ -2x - \frac{3x^2}{2}, & -1 \leq x < 0 \\ -2x + \frac{3x^2}{2}, & 0 \leq x < 1 \\ -\frac{(2-x)^2}{2}, & 1 \leq x < 2 \\ 0, & 2 \leq |x| \end{cases} \quad (3.34)$$

$$\beta^{3''}(x) = \begin{cases} 2 + x, & -2 \leq x < -1 \\ -2 - 3x, & -1 \leq x < 0 \\ -2 + 3x, & 0 \leq x < 1 \\ 2 - x, & 1 \leq x < 2 \\ 0, & 2 \leq |x| \end{cases} \quad (3.35)$$

Se pot defini funcțiile B-spline discrete (centrată și deplasată) prin eșantionarea funcțiilor B-spline continue cu un factor de expansiune m [108, 111]. Funcțiile B-spline discrete centrate de gradul n sunt date prin:

$$b_m^n(k) = \beta^n(k/m) \quad (3.36)$$

Pentru factorul m impar, se definește funcția spline discretă de gradul 0 prin relația 3.37. Se poate observa că aceasta este o fereastră dreptunghiulară de lățime m , centrată în origine [111].

$$b_m^0 = \begin{cases} 1, & -m/2 \leq k \leq m/2 \\ 0, & \text{altfel} \end{cases} \quad (3.37)$$

Unul din marile avantaje ale utilizării funcțiilor B-spline în prelucrarea semnalelor este că oferă o trecere ușoară între domeniile continuu și discret [96, 100, 108, 111]. Astfel, metode și concepte matematice valabile în studiul funcțiilor continue pot fi utilizate pentru a dezvolta noi tehnici în prelucrarea numerică a semnalelor.

Un alt avantaj major derivă din faptul că sunt funcții cu suport compact, definite pe intervale foarte scurte [18].

3.5. Tehnici de interpolare cu funcții spline în prelucrarea numerică a semnalelor și imaginilor

Până în anii '90, interpolarea cu funcții spline a fost puțin utilizată în prelucrarea semnalelor. Asta se întâmpla deoarece abordarea clasică a problemelor de interpolare și aproximare cu funcții spline polinomiale presupunea lucrul cu matrice, inversarea acestora și un număr mare de calcule [100, 111]. S-au căutat

tehnici de calcul mai eficiente pentru determinarea și implementarea unor algoritmi rapizi.

Problema interpolării a fost abordată în anii '70 prin prisma unor tehnici simple de filtrare numerică. În 1978, H. S. Hou și H. C. Andrews [34] propun utilizarea unor filtre digitale pentru a realiza interpolarea unui semnal cu ajutorul funcțiilor B-spline cubice. Metoda presupune parcurgerea a două faze. În prima fază, din semnalul de intrare, se calculează un set de coeficienți B-spline prin metoda matriceală. Acești coeficienți sunt aduși la intrarea unui filtru ce realizează interpolarea semnalului tot cu ajutorul funcțiilor B-spline cubice. Pentru filtru se propune atât o implementare software, cât și una hardware. Implementarea hard se face printr-o schemă de filtre numerice ce presupune utilizarea mai multor circuite analogice simple, deci este ușor de realizat. Metoda de interpolare este utilizată cu succes pentru mărirea și micșorarea unor imagini. În [34] sunt prezentate câteva exemple.

Însă, această abordare nu este foarte eficientă deoarece coeficienții B-spline sunt determinați prin metoda clasică, metodă care presupune și calcularea inversei unei matrice. Implementarea numerică a metodei este destul de greoaie și presupune un număr mare de operații care trebuie efectuate [100].

Idea a fost reluată și dezvoltată de M. Unser, A. Aldroubi și M. Eden în anii '90 [107-112], în cadrul unui program al *National Institutes of Health* din Bethesda, USA. Din 1997, M. Unser și colaboratorii săi de la *Biomedical Imaging Group*, din cadrul institutului *Ecole Polytechnique Federale* din Lausanne au extins cercetările și asupra altor tipuri de funcții spline [124]. Rezultatele au fost publicate de-a lungul timpului în mai multe lucrări (în reviste sau la conferințe de specialitate), lucrări care pot fi consultate pe pagina de web a institutului [124]. Cercetările au aplicabilitate directă în prelucrarea numerică a imaginilor, cu precădere în prelucrarea imaginilor biomedicale [68].

Conceptele de eșantionare generalizată [41-43] și interpolare generalizată [9, 96, 97] permit utilizarea unei plaje mai largi de funcții de bază (de exemplu, funcțiile B-spline) [9, 10, 100]. Interpolarea generalizată presupune parcurgerea a două etape: prefiltrare și sinteza semnalului. În etapa de prefiltrare, care este esențială, se calculează coeficienții modelului (respectiv coeficienții B-spline). Aceștia sunt apoi utilizați pentru a realiza reconstrucția sau interpolarea semnalului cu un anumit factor de interpolare [9].

În multe aplicații se preferă realizarea unei aproximări bune, în locul interpolării exacte [12]. Câștigul este dat de reducerea complexității calculului și ușurința de a realiza algoritmi rapizi de interpolare. Aceștia pot fi implementați pe sisteme numerice de calcul și permit procesarea unui volum mare de date într-un timp mai scurt decât în cadrul metodelor clasice [99-112].

În lucrările [107-112], se propun mecanisme simple pentru proiectarea filtrelor ce evaluează transformatele B-spline directă și indirectă. Sunt descrise noi tehnici de prelucrare care pot fi utilizate pentru diferențierea semnalelor, filtrarea, netezirea spline și aproximarea prin metoda celor mai mici pătrate.

Conceptul de filtrare B-spline presupune aplicarea unui operator de filtrare asupra reprezentării unui semnal prin funcții B-spline continue [108, 111].

În continuare, va fi prezentat algoritmul de interpolare cu funcții B-spline și tehnici de filtrare numerică dezvoltat de M. Unser și colaboratorii [100, 108, 111, 112], algoritmul utilizat în prelucrarea imaginilor. Algoritmul este prezentat pentru prima dată în [108], lucrare care a fost publicată în 1991. În aceasta se specifică și faptul că este pentru prima dată când transformata B-spline directă este

implementată prin filtrarea recursivă. Ulterior, algoritmul a fost reluat, completat și modificat pentru diverse aplicații, toate din domeniul prelucrării imaginilor.

După cum s-a arătat în subcapitolul 3.4, orice funcție spline $s(x)$ de gradul n poate fi caracterizată prin coeficienții B-spline $c(k)$ și funcția B-spline $\beta^n(x)$ [15, 111]. Funcția B-spline $\beta^n(x)$ este o funcție continuă. Pentru a realiza și implementa un algoritm numeric de interpolare avem nevoie de reprezentarea discretă a acesteia.

S-a definit funcția B-spline discretă ca fiind obținută prin eșantionarea funcției B-spline de ordin n $\beta^n(x)$, cu o rată de eșantionare m [100,111]:

$$b_m^n(k) = \beta^n(x/m) \Big|_{x=k} \quad (3.38)$$

Se dau eșantioanele semnalului de intrare $y(k)$ cu $k=0, 1, \dots, N-1$ (N reprezintă numărul de eșantioane al semnalului ce urmează a fi prelucrat). Se consideră că $y(k)$ poate fi aproximat printr-o funcție spline polinomială de gradul n $s(x)$. Aceasta este unic caracterizată prin coeficienții săi B-spline $c(k)$.

$$s(x) = \sum_{l \in Z} c(l) \beta^n(x-l) \Big|_{x=k} = y(k) \quad (3.39)$$

Teoria interpolării impune ca funcția să fie cu suport infinit. Pentru aceasta, semnalul inițial se extinde prin oglindire în ambele părți. Această practică este des utilizată în procesarea imaginilor. Prelungirea prin oglindire poate fi descrisă prin relațiile [112]:

$$y(-k) = y(k+1), k = 0, \dots, N-1$$

$$y(k) = y(2N-k), k = N, \dots, 2N-1$$

Schematic, semnalul $y(k)$ poate fi interpolat cu un factor m prin intermediul unei transformări indirecte, [111]:

$$y_m(k) = y^n(x) \Big|_{x=k/m} = b_m^n * [c]_{\uparrow m}(k) = b_m^n * \left[\left(b_1^n \right)^{-1} * y \right]_{\uparrow m}(k) \quad (3.40)$$

Pas cu pas, procesul va fi descris în continuare. Pentru relația (3.38) se aplică transformata Z și se obține:

$$B_m^n(z) = \sum_{k \in Z} b_m^n(z) z^{-k} \quad (3.41)$$

Utilizând funcția B-spline discretă, relația între eșantioanele de intrare și coeficienții B-spline se poate scrie prin prisma convoluției a două semnale:

$$y(k) = \left(b_1^n * c \right)(k) \quad (3.42)$$

Dacă se aplică transformata Z în formula (3.42), obținem:

$$Y(z) = C(z)B_1^n(z) \quad (3.43)$$

Se definește operatorul invers convoluției:

$$\left(b_1^n\right)^{-1}(k) \xleftarrow{Z} 1/B_1^n(z) \quad (3.44)$$

Pasul crucial în interpolarea cu funcții B-spline este determinarea coeficienților astfel încât funcția să ia valorile secvenței discrete $y(k)$ [108]. Astfel, pentru coeficienții B-spline se poate scrie următoarea relație:

$$c(k) = \left(b_1^n\right)^{-1} * y(k) \quad (3.45)$$

$$\Rightarrow C(z) = \left[B_1^n(z)\right]^{-1} Y(z) \quad (3.46)$$

Deci, coeficienții B-spline se obțin din eșantioanele cunoscute prin aplicarea unui filtru numeric, funcția de transfer a filtrului fiind $\left[B_1^n(z)\right]^{-1}$. Acesta este denumit „filtru B-spline direct” [100, 108, 112] sau „transformata B-spline directă”. Este un filtru simetric, filtru cu răspuns infinit la impuls (IIR) și trebuie ales cu grijă, astfel încât să fie un filtru stabil [100]. Funcția de transfer a filtrului poate fi descrisă prin relația [108, 111, 112]:

$$\left[B_1^n(z)\right]^{-1} = \frac{z^{[n/2]}}{b_1^n([n/2]) \prod_{i=1}^{[n/2]} (z - z_i)(z - z_i^{-1})} \quad (3.47)$$

unde $\{(z_i, z_i^{-1}) : |z_i| \leq 1, i=1, \dots, [n/2]\}$ sunt polii filtrului, care pot fi grupați în pereche datorită faptului că filtrul este simetric.

Filtrul poate fi descompus în filtre simetrice exponențiale elementare conectate în cascadă. La rândul lor, acestea pot fi separate în două filtre complementare recursive de ordinul 1: unul cauzal și celălalt anticauzal.

În consecință, coeficienții se calculează prin intermediul unor ecuații recursive simple, pentru care se impun condiții inițiale care derivă din prelungirea semnalului prin oglindire [112].

Acest pas de determinarea a coeficienților B-spline mai este descris și ca *prefiltrare*, făcându-se analogie cu teoria eșantionării a lui Shannon, unde se recomandă operația de prefiltrare cu un filtru anti-aliere [100].

Pentru a realiza interpolarea semnalului cu un factor m , șirul coeficienților B-spline $c(k)$ este supraeșantionat $c_m(k)$ și adus la intrarea unui „filtru B-spline indirect” care are funcția de transfer $B_m^n(z)$.

Supraeșantionarea șirului de coeficienți cu un factor întreg m [100], este descrisă prin relația (3.48).

$$c_m(k) = [c]_{\uparrow m}(k) = \begin{cases} c(i) & \text{pentru } k = mi; \\ 0 & \text{în rest.} \end{cases} \quad (3.48)$$

Eșantioanele semnalului obținut la sfârșitul procesului de interpolare se vor nota în continuare cu $y_i(k)$.

$$Y_i(z) = C_m(z)B_m^n(z) \quad (3.49)$$

Operația este denumită și „transformată B-spline indirectă”. Termenul $B_m^n(z)$ reprezintă un filtru simetric cu răspuns finit la impuls (FIR). Și acest filtru, dacă are ordin mai mare, poate fi implementat prin conectarea în cascadă a unor filtre de ordinul 1 sau 2 [100, 111].

Semnalul inițial se poate reconstitui prin aplicarea filtrului $B_1^n(z)$ asupra coeficienților B-spline. Semnalul reconstituit va fi notat $y_r(k)$.

Întreg algoritmul de calcul al coeficienților, reconstrucția semnalului și interpolarea cu un factor m , este redat schematic în figura 3.6 [100, 111, 123].

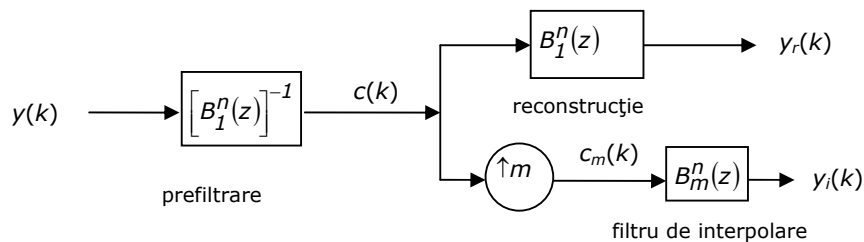


Fig.3.6. Algoritmul de interpolare B-spline.

Algoritmul este prezentat pentru cazul general. Poate fi particularizat pentru orice valori ale gradului n al funcției B-spline și factorului de interpolare m . La creșterea gradului n se pot obține rezultate mai bune pentru procesul de interpolare, dar în același timp crește și volumul de calcule.

Avantajul major al metodei este că se utilizează filtre digitale, care sunt simplu de realizat [100, 108, 111, 112]. Atât coeficienții, cât și eşantioanele semnalului interpolat, sunt calculați prin operații simple de adunare și înmulțire. În comparație cu metodele matriceale clasice, sunt necesare un număr redus de calcule, de complexitate mică. Acestea pot fi ușor transpuse într-un program. Se creează astfel un algoritm de calcul stabil numeric, mai rapid și mai ușor de implementat decât pentru oricare alte tehnici numerice. Procesul poate fi rulat cu ușurință pe un sistem numeric de calcul (calculator, procesor de semnal). Eficiența rezultă și din faptul că lucrăm cu un număr minim de termeni, deoarece pentru a calcula valoarea în orice punct este nevoie de mai puțini termeni decât în cazul oricăror alte funcții. Se poate spune că funcțiile B-spline sunt funcțiile de bază cu cel

mai scurt suport [100, 111]. De aceea, ele sunt ideale pentru a fi folosite în prelucrarea imaginilor.

În ultimele 3 decenii s-au dezvoltat multe aplicații de interpolare spline în domeniul procesării numerice a imaginilor. Unele studii din acest domeniu [100, 111, 113, 124], propun utilizarea și a altor tipuri de funcții spline. În formula (3.49), filtrul $B_m^n(z)$ poate fi înlocuit cu alte filtre spline, în funcție de condițiile impuse de problemă. Câteva exemple de astfel de filtre sunt: filtru spline de netezire (în engleză: *smoothing spline*), filtrul B-spline obținut cu metoda celor mai mici pătrate (în engleză: *least squares splines*), filtrul spline cardinal, filtre cu fereastră Kaiser, filtre trunchiate [100, 113, 123, 124]. Au fost propuse soluții optimizate și pentru cazurile în care semnalele sunt însoțite de zgomot [73]. În continuare, vor fi prezentate câteva dintre soluțiile descrise în literatura de specialitate.

Interpolarea cu *funcții spline cardinale* este des întâlnită în prelucrarea imaginilor [100, 110, 111, 114]. Funcția de interpolare poate fi scrisă în raport cu valorile sale discrete astfel:

$$s^n(x) = \sum_{k=-\infty}^{+\infty} s(k)\eta^n(x-k) \quad (3.50)$$

$$\eta^n(x) = \sum_{k=-\infty}^{+\infty} (b_1^n)^{-1}(k)\beta^n(x-k) \quad (3.51)$$

În (3.50) și (3.51), $\eta^n(x)$ este *funcția spline cardinală de gradul n* și reprezintă răspunsul la impuls în timp continuu al interpolatorului spline polinomial. Funcția mai este cunoscută și sub denumirea de *funcție spline fundamentală de gradul n*. Cea mai importantă proprietate a sa, din punctul de vedere al interpolării, este că funcția este zero în toate nodurile, mai puțin în origine [111].

Relația (3.50) reprezintă formula de interpolare în care se folosesc valorile semnalului ca și coeficienți. Procesul este posibil deoarece $\eta^n(x)$ are aceleași proprietăți de interpolare ca și funcția sinus cardinal *sinc(x)* [100]. Cu cât se crește gradul funcției n , cu atât caracteristica acesteia este mai apropiată de caracteristica funcției *sinc(x)* [3, 111]. Funcția *sinc(x)* corespunde cazului ideal de interpolare pentru semnale de bandă limitată. Însă, pentru $n \geq 2$ aceste funcții nu mai au suport compact, ceea ce constituie un dezavantaj [100, 111]. Este mult mai eficientă reprezentarea prin funcții B-spline decât prin funcții spline cardinale.

În [111] se afirmă că în cazul funcțiilor B-spline, spre deosebire de cele cardinale, la creșterea gradului n , acestea tind să semene mai mult cu clopotul lui Gauss. Deși, în alte lucrări anterioare [107-110], dar și ulterioare [100, 105], aceeași autori afirmă că și funcțiile B-spline tind spre funcția *sinc(x)*.

Funcțiile spline cardinale exponențiale sunt utilizate pentru definirea unor operatori care realizează trecerea de la reprezentarea în timp continuu, la cea în timp discret [105].

Pentru cazurile în care semnalul este însoțit de zgomot, este mai potrivit ca pentru aproximare să fie utilizate *funcțiilor spline de netezire (smoothing splines)* [100, 111, 112, 114]. Acestea se caracterizează printr-un parametru λ . Parametrul poate fi ales în funcție de 2 cerințe, care sunt oarecum în contradictoriu:

- aproximarea să fie cât mai apropiată de valorile datelor inițiale;

- funcția să fie suficient de netedă.

I. J. Schoenberg a fost cel care a propus pentru prima dată utilizarea funcțiilor spline de netezire [111]. El a considerat cazul general în care nodurile nu sunt egal distanțate. În problemele de filtrare numerică prezentate mai sus se utilizează cazul particular al eșantioanelor egal distanțate.

În această situație, coeficienții B-spline se obțin la ieșirea unui *filtru spline de netezire*. Funcția de transfer pentru filtrul de ordinul 1 este dată de [112]:

$$S_{\lambda}^1(z) = \frac{1}{1 + \lambda(-z^{-1} + 2 - z)} \quad (3.52)$$

Utilizarea filtrelor de netezire de ordin mai mare este ceva mai complicată deoarece polii filtrului depind de λ și nu pot fi calculați cu ușurință în orice caz [112].

O altă soluție este interpolarea cu *funcții spline prin metoda celor mai mici pătrate* (în engleză: *least squares splines*). Carl deBoor a propus acest tip de funcții pentru a reduce gradele de libertate ale funcției de aproximare. El a prezentat soluția generală utilizând metoda celor mai mici pătrate [16, 111].

Prin prisma filtrării numerice, această variantă presupune calcularea unui număr mai mic de coeficienți B-spline. Se propune parcurgerea următorilor pași pentru determinarea coeficienților [108, 110-112]:

- operația de prefiltrare cu un filtru care are funcția de transfer B_m^n ;
- decimarea cu un factor m ;
- postfiltrare cu filtrul recursiv, care are funcția de transfer dată de relația (3.53):

$$S_m^n(z) = \frac{1}{\frac{1}{m} \sum_{k=0}^{m-1} B_m^n \left([ze^{j2\pi k}]^{1/m} \right)^2} \quad (3.53)$$

Procesul de aproximare a semnalelor cu acest tip de funcții este redat schematic în figura 3.7 [111].

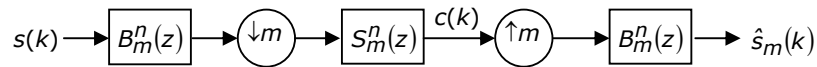


Fig.3.7 Aproximarea cu filtre spline prin metoda celor mai mici pătrate.

Filtrele descrise în acest subcapitol sunt prezentate în [112] pentru mai multe valori ale parametrilor n și m . Sunt redată explicit funcțiile de transfer ale filtrelor B-spline direct pentru valori ale lui n de la 0 la 7 și ale filtrelor prin metoda celor mai mici pătrate de grad 0, 1, 2 și 3 pentru cazurile în care m ia valorile 2 și 3. Metodele de interpolare de mai sus sunt folosite pentru prelucrarea unor imagini și sunt prezentate câteva rezultate. Este evaluată și metoda clasică, matriceală, de interpolare spline cubică. Aceasta necesită efectuarea unui număr mai mare de operații și folosirea de memorie suplimentară pentru stocarea rezultatelor

intermediare, în comparație cu oricare dintre metodele ce utilizează filtrarea numerică. Se argumentează, prin exemple, faptul că abordarea clasică are o complexitate mai mare, necesită mai mult timp de calcul și resurse suplimentare.

Teoria funcțiilor B-spline polinomiale poate fi generalizată și în cazul în care funcția are gradul n număr fracționar. Se definesc *funcțiile spline fracționare* pe baza aceleiași relații (3.21), unde n este număr fracționar [33, 100, 104, 116]. Aceste funcții păstrează toate proprietățile funcțiilor B-spline, însă nu mai au suport compact [100]. Ele permit lucrul facil cu derivate fracționare, deoarece derivarea fracționară este transpusă în domeniul B-spline prin diferențe finite. În [116] sunt prezentate aceste funcții împreună cu posibilitatea de a fi folosite în tomografia computerizată.

De asemenea, se definesc și *funcțiile B-spline complexe* [25]. Pentru acestea, gradul funcției este un număr complex. Ele păstrează proprietățile funcțiilor B-spline, mai puțin cea de suport compact.

Pentru aproximări de calitate, se propune utilizarea unei clase de funcții numite *funcții de ordin maxim și suport minim* MOMS (în engleză: maximal-order-minimal-support) [8, 10]. Acestea sunt funcții polinomiale pe subintervale adiacente, cu noduri unitar spațiate, și reprezintă o combinație liniară de funcții B-spline și derivate ale lor. Generic, pot fi descrise prin relația [96, 97]:

$$MOMS^n(x) = \beta^n(x) + \sum_{k=1}^n c_k \frac{d^k}{dx^k} \beta^n(x) \quad (3.54)$$

În [10] se prezintă mai multe variante de funcții MOMS și modul în care acestea pot fi construite. Sunt descrise funcțiile MOMS optime (O-MOMS), sub-optime (SO-MOMS) și de interpolare (I-MOMS). Funcția de interpolare I-MOMS de ordinul 4 (gradul 3) este dată de:

$$\varphi_I^3(x) = \beta^3(x) - \frac{1}{6} \frac{d^2}{dx^2} \beta^3(x) \quad (3.55)$$

Prin experimente ce presupun rotirea succesivă de mai multe ori a unor imagini se arată că această nouă clasă de funcții bază MOMS este superioară funcțiilor B-spline de același grad [8, 10]. De asemenea, se demonstrează că pentru pasul suplimentar de prefiltrare costurile de implementare sunt aproape neglijabile în comparație cu cele rezultate în pasul de interpolare. Pentru cel de-al doilea pas, costurile sunt date în mod direct de mărimea intervalului pe care este definită funcția bază $\varphi(x)$. De aceea, funcția bază trebuie să aibă un suport cât mai scurt posibil pentru a eficientiza algoritmi de prelucrare [10].

Au fost elaborate și metode de interpolare liniară care, prin adăugarea pasului de prefiltrare, oferă rezultate mai bune în unele aplicații de prelucrare a imaginilor [11].

Metodele de interpolare prezentate pot fi extinse și în spații multidimensionale. Filtrarea directă B-spline poate fi aplicată succesiv pe fiecare dimensiune, după coordonate, pentru a obține coeficienții B-spline. La fel se poate face și cu filtrarea indirectă pentru a realiza interpolarea datelor. De exemplu, în problemele de prelucrare a imaginilor, operațiile se efectuează succesiv pe fiecare linie și coloană [100, 111]. Utilizând funcții B-spline liniare pot fi create modele numerice 2D pentru algoritmi de reconstrucție a imaginilor tomografice [5].

Pentru toate metodele de prelucrare cu funcții spline prezentate în lucrările lui M. Unser și ale colaboratorilor săi [124] sunt date doar aplicații din domeniul procesării imaginilor. Funcțiile spline, alături de funcțiile wavelet, sunt preferate în unele aplicații din prelucrarea imaginilor medicale, aplicații în care este necesară reprezentarea datelor sub forma unui model continuu mai degrabă, decât discret [100, 116]. Pentru un semnal discret se poate obține ușor reprezentarea acestuia printr-o funcție spline. În unele dintre aceste lucrări se fac referiri la posibile aplicații pentru semnale unidimensionale, precum interpolare, derivare, filtrare, reducerea zgomotului și compresia datelor [100, 111]. Se precizează că unele operații precum diferențiere sau integrare ar putea fi mai ușor de efectuat în domeniul transformatei B-spline. Dar, niciunde nu sunt prezentate și rezultate ale aplicării acestor algoritmi în cazul unor semnale des utilizate în prelucrarea semnalelor, ci doar pentru prelucrarea imaginilor.

Metodele dezvoltate și publicate de M. Unser și colaboratorii în [2-3, 8-10, 100, 107-112] între anii 1991-2001 au servit ca bază teoretică și pentru alți cercetători în dezvoltarea unor aplicații în prelucrarea imaginilor. Au fost comparate metodele de interpolare pentru diverse valori ale gradului n , sau folosind variate tipuri de funcții spline. De asemenea, s-au făcut modificări asupra filtrelor spline, obținând noi metode de interpolare. Toate acestea sunt expuse și evaluate prin exemple în care sunt prelucrate imagini. În continuare, vor fi prezentate câteva dintre aceste lucrări cu rezultate și concluzii considerate semnificative.

În [46] se face o comparație între mai multe metode de interpolare folosite în prelucrarea imaginilor prin prisma complexității calculului, a timpului de execuție și a erorilor obținute pentru câteva exemple des întâlnite în practică. Sunt comparate următoarele metode de interpolare: sinc trunchiat, cu funcții în scară, liniară, pătratică, B-spline cubică, cu polinoame Lagrange și Gaussiană. Din punct de vedere al similitudinii cu imaginea originală, metoda de interpolare cu funcții B-spline oferă unul dintre cele mai bune rezultate. În ceea ce privește timpul de execuție, algoritmul este cel mai rapid. Se precizează că la creșterea gradului funcției B-spline se poate îmbunătăți calitatea interpolării, dar crește și complexitatea calculului.

În lucrarea [47], care vine ca o completare la [46], se face o analiză amănunțită a interpolării cu funcții B-spline de gradul 2, 4, și 5. Pentru fiecare sunt date expresiile explicite ale filtrelor cu răspuns infinit la impuls și sunt analizate rezultatele în cazul interpolării unor imagini. În continuare sunt prezentate câteva concluzii ale studiului:

- Cu cât crește gradul funcției de interpolare, cu atât răspunsul în frecvență al sistemului tinde să fie tot mai aproape de cel al unui sistem ideal de interpolare. Această concluzie mai apare și în alte studii [100, 108, 111].
- Metodele care utilizează funcții B-spline de gradul 4 și 5 oferă o calitate mai bună a interpolării, comparativ și cu interpolarea liniară, deoarece produc cel mai mic număr de pixeli eronați.
- Odată cu creșterea gradului funcției de interpolare, erorile se micșorează semnificativ, dar crește numărul de operații necesare.

Comparații între diverse tehnici de interpolare utilizate în aplicații de prelucrare a imaginilor se mai regăsesc și în alte lucrări [89, 96, 97].

B. Vrcelj și P.P. Vaiddyanathan fac observația că filtrul B-spline direct din algoritmul de interpolare cu funcții B-spline dezvoltat de M. Unser și colaboratorii nu poate fi folosit pentru interpolarea în timp real a semnalelor unidimensionale [123]. Ei propun mai multe variante de trunchiere a răspunsului în frecvență al acestui

filtru, astfel încât coeficienții B-spline să fie obținuți la ieșirea unor filtre cu răspuns finit la impuls. În general, filtrele FIR pot fi utilizate pentru interpolarea în timp real a semnalelor.

În [123] sunt prezentate 3 variante de filtre B-spline cubice trunchiate:

- 5TFIR – filtru trunchiat la 5 componente (five-tap)
- 7TFIR – filtru trunchiat la 7 componente (seven-tap)
- 5KFIR – filtru trunchiat la 5 componente cu fereastră Kaiser.

Aceste filtre, împreună cu filtrul B-spline direct sunt utilizate pentru interpolarea cu un factor $m=3$ a 11 imagini cu caracteristici diferite. Rezultatele arată că înlocuirea filtrului IIR cu aceste filtre FIR mai scurte, se poate face fără a compromite rezultatul interpolării, diferențele fiind foarte mici. Metoda a fost testată și pentru interpolare spline de ordin mai mare. Concluzia a fost că pentru gradul $n=5$ este suficient să se folosească un filtru cu trunchiere la 7 componente, iar pentru $n=7$, unul cu trunchiere la 9 componente.

Autorii [123] propun și o nouă abordare a filtrului B-spline indirect. Numărul de operații efectuate la interpolare ar putea fi redus, deoarece filtrul indirect se aplică unui semnal care are multe valori egale cu zero. Aceste valori rezultă prin supraeșantionarea șirului de coeficienți cu un factor m . Se propune implementarea filtrului prin conectarea în paralel, a unor filtre care reprezintă componentele polifazice ale filtrului B-spline indirect. Filtrele se aplică direct coeficienților calculați și apoi se face supraeșantionarea pe fiecare ramură. Schema oferă complexitate redusă și interpolarea este reversibilă. Un alt avantaj al metodei este că aceste filtre pot opera în paralel, la o frecvență redusă.

Într-o lucrare din 2012, se propun noi variante de realizare a pasului de prefiltrare [76]. Știind că întreg setul de date de intrare este cunoscut de la început, se propun noi modalități de implementare în program a celor 2 filtre: cauzal și anti-cauzal. Prin acestea se urmărește micșorarea volumului de memorie și a timpului de execuție necesare pentru calculul coeficienților B-spline.

Se pot folosi unele funcții B-spline modificate pentru interpolarea și reeșantionarea imaginilor [28, 29, 30]. Funcțiile B-spline modificate sunt obținute ca o combinație liniară de funcții B-spline deplasate care au grade diferite.

$$\beta^{mod}(x) = \sum_{m=0}^M \sum_{n \in Z} I_{mn} \beta^m(x-n) \quad (3.56)$$

Fiecare funcție B-spline are o pondere diferită I_{mn} . Prin optimizarea acestor parametri se pot obține funcții de interpolare cu caracteristici îmbunătățite, fără a crește complexitatea calculului. În exemplele prezentate de autori, prin alegerea atentă a ponderilor, interpolarea și reconstrucția imaginilor cu ajutorul funcțiilor B-spline modificate oferă o calitate vizuală mai bună (conturul este mai bine conservat) [28].

Alături de metodele de interpolare deja cunoscute, în [30] se prezintă 2 variante de combinare a funcțiilor B-spline: combinația *funcții B-spline de gradul trei-și-unu* (sau combinația de gradul 3), și combinația *funcții B-spline de gradul cinci-trei-și-unu* (sau combinația de gradul 5). Se preferă combinarea funcțiilor de grad impar deoarece acestea au nodurile în punctele de interpolare. Sunt date formele explicite ale acestor funcții, reprezentarea lor, modul de optimizare a parametrilor și metodele de implementare eficientă a acestora prin filtre. S-au realizat operații succesive de rotire a anumitor imagini utilizând funcțiile prezentate

în lucrare. Rezultatele arată că funcțiile B-spline modificate propuse de autori, oferă rezultate mult mai bune decât celelalte metode în cazul imaginilor ce conțin frecvențe înalte.

Pornind de la modul de construcție al funcțiilor MOMS în spațiul unidimensional, s-au dezvoltat noi familii de funcții spline pentru aplicații în spațiile bidimensionale: hex-spline și box-spline [14, 121]. Funcțiile hex-spline sunt funcții spline al căror suport este de formă hexagonală. Funcțiile box-spline sunt funcții spline definite pe spații multidimensionale. Cu ajutorul acestora se determină noi metode de interpolare a imaginilor eșantionate hexagonal.

În studii mai recente sunt prezentate și alte aplicații cu funcții B-spline din domeniul prelucrării imaginilor:

- metode de calcul rapid al *funcțiilor B-spline poliarmonice* [4];
- metode de filtrare cu funcții B-spline de diverse grade utilizate pentru segmentarea imaginilor [6];
- modalități de legătură între funcțiile spline și fractali [115].

3.6. Alte aplicații cu funcții spline

Modurile de abordare a problemei interpolării au ca principală limitare faptul că nu sunt proiectate pentru a minimiza pierderea informației, ci pentru a minimiza eroarea de interpolare [63]. Pentru mărirea imaginilor rezultatele sunt bune, însă pot să apară probleme în aplicații de micșorare a imaginilor. Astfel, pentru redimensionarea imaginilor, s-au dezvoltat tehnici de prelucrare cu funcții spline care utilizează și operațiile de derivate, respectiv integrare a acestor funcții. Algoritmii de prelucrare se pot aplica atât pentru date eșantionate uniform, cât și pentru cele obținute prin eșantionare neuniformă. Plecând de la metodele de redimensionare a imaginilor care utilizează interpolare cu funcții spline, în [63] se descrie un procedeu de redimensionare a imaginilor în care sunt utilizate diferențele finite și diferențele divizate ale funcțiilor B-spline.

Integrarea numerică (procesul invers derivării) este definită cu ajutorul diferențelor divizate ale funcțiilor B-spline. Este apoi utilizată pentru a face trecerea de la coordonate neuniforme la coordonate uniforme [62]. Algoritmul presupune parcurgerea următorilor pași:

- interpolarea datelor cu ajutorul funcțiilor spline neuniforme;
- integrarea numerică;
- reeșantionarea uniformă;
- filtrarea numerică: cu un filtru corespunzător obținerii diferențelor finite centrate și apoi postfiltrare cu ajutorul filtrului IIR propus de Unser [111, 112].

Metoda este eficientă și complexitatea sa este independentă de spațierea nodurilor semnalului de intrare [63].

Funcțiile B-spline pot fi utilizate cu succes și în probleme de conversie numeric-analogică. Un exemplu este generatorul de semnal cu funcții spline pătratice dezvoltat de M. Kamada și colaboratorii [40]. Unul dintre circuitele propuse a fost folosit pentru realizarea unor echipamente audio de înaltă fidelitate [100]. M. Kamada, împreună cu colaboratorii de la Universitatea Ibaraki din Hitachi, Japonia, au dezvoltat mai multe studii pe această temă.

Pornind de la faptul că funcțiile B-spline continue se pot scrie ca o convoluție de impulsuri dreptunghiulare β^0 , se demonstrează că interpolarea prin funcții în scară reprezintă o aproximare a funcțiilor B-spline discrete, atunci când perioada de

eșantionare tinde la zero [36, 37]. Funcția B-spline de gradul 0 are forma unui impuls dreptunghiular și pe baza ei se construiesc funcții spline de grad superior. Metoda presupune generarea unor impulsuri dreptunghiulare deplasate, care apoi sunt integrate, inversate și adunate succesiv, în mai mulți pași, pentru a obține la ieșire o funcție B-spline de un anumit grad și variantele sale deplasate. Astfel, generatorul de semnal propus de Kamada în 1995 se poate realiza printr-o combinație de circuite analogice simple [40].

În 1998, circuitul analogic este descris printr-un filtru digital rapid și utilizat pentru generarea funcțiilor B-spline [37]. Semnalul obținut este apoi convertit în semnal analogic și poate fi utilizat și pentru generarea altor tipuri de impulsuri.

Ulterior, în 2005 metoda a fost îmbunătățită pentru a realiza un generator de impulsuri de bandă ultra-largă [49].

Subiectul este de actualitate, fiind reluat și în 2010 de o echipă de cercetători de la Brest [1]. Aceștia propun optimizarea metodei de generare a impulsurilor de bandă ultra-largă pentru o anumită aplicație.

V. Burov și colaboratorii filtrează datele obținute experimental prin intermediul unor filtre de interpolare (IFIR), realizate pe baza funcțiilor B-spline de aproximare [13]. Soluția prezentată de aceștia este matriceală.

În 2009, firma Boeing patentează un filtru de interpolare spline cubică (IFIR) destinat aplicațiilor de prelucrare numerică a semnalelor de mare viteză [131]. Acest filtru prezintă avantajul că are mai puține componente decât filtrele clasice și poate fi implementat utilizând tehnologia VLSI (Very Large Scale Integration). În 2012, este patentat un sistem digital de comunicație radio în componența căruia apare acest filtru [132].

3.7. Algoritm rapid de interpolare spline cubică (algoritm Unser)

3.7.1. Prezentarea algoritmului

Interpolarea cu funcții B-spline cubice, împreună cu tehnicile de filtrare numerică, sunt foarte des folosite în rezolvarea problemelor de prelucrare numerică a imaginilor. Aceasta reprezintă o soluție viabilă, rapidă, ce necesită timp de calcul mic și complexitate redusă, oferind o bună aproximare. Este folosit cu succes pentru lucrul cu un volum mare de date, așa cum este cazul reprezentării imaginilor.

În continuare, se analizează algoritmul rapid de interpolare spline cubică descris de M. Unser în [100, 112]. Acesta reprezintă o particularizare a algoritmului general de interpolare cu funcții B-spline prezentat în subcapitolul anterior.

Funcția B-spline cubică este o funcție B-spline de gradul 3 ($n=3$). Filtrul B-spline direct $[B_1^3(z)]^{-1}$ este reprezentat prin funcția de transfer [100]:

$$[B_1^3(z)]^{-1} = \frac{6}{z + 4 + z^{-1}} \quad (3.57)$$

Fie semnalul de intrare $y(k)$ cu $k = 0, 1, \dots, N-1$. Algoritm presupune, în primul rând, calculul coeficienților $c(k)$ ai modelului B-spline prin aplicarea filtrului

B-spline direct $[B_1^3(z)]^{-1}$ asupra eșantioanelor semnalului de intrare. Acest filtru se descompune în 2 filtre: unul cauzal și unul anticauzal (conform relației (3.58)), care sunt conectate în cascadă.

$$[B_1^3(z)]^{-1} = \frac{6}{z + 4 + z^{-1}} = 6 \left(\frac{1}{1 - z_1 z^{-1}} \right) \left(\frac{-z_1}{1 - z_1 z} \right) \quad (3.58)$$

Coefficienții se obțin la ieșirea sistemului prezentat în figura 3.8 [100].

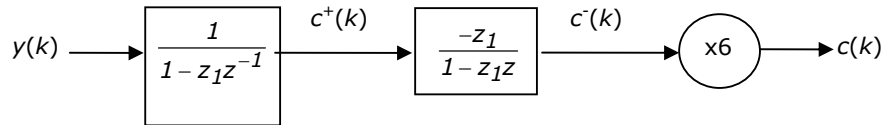


Fig.3.8. Determinarea coeficienților B-spline.

Determinarea valorilor acestor coeficienți se face printr-un algoritm recursiv care presupune calculul factorilor $c^+(k)$ și $c^-(k)$:

$$c^+(k) = y(k) + z_1 c^+(k-1), \quad k = 1, \dots, N-1 \quad (3.59)$$

$$c^-(k) = z_1 (c^-(k+1) - c^+(k)), \quad k = N-2, \dots, 0 \quad (3.60)$$

unde: $z_1 = -2 + \sqrt{3} = -0.2679$ (3.61)

și $c(k) = 6c^-(k)$ (3.62)

Pentru acest proces trebuie stabilite condițiile inițiale. Condiția de la care se pornește este ca eșantioanele semnalului de intrare să poată fi reconstituite exact din coeficienții $c(k)$ calculați. Semnalul inițial se prelungește la capete prin oglindire, astfel încât:

$$y(k) = y(l), \text{ pentru } (k+l) \bmod (2N-2) = 0 \quad (3.63)$$

Semnalul rezultat este un semnal periodic de perioadă $2N-2$. Pentru prima formulă, aceea de calcul al factorilor $c^+(k)$, inițializarea se face cu [100]:

$$c^+(0) = \sum_{k=0}^{+\infty} y(k) z_1^k \quad (3.64)$$

Aceasta nu se poate utiliza în practică deoarece semnalul de intrare are un număr finit de termeni. Dacă semnalul se prelungește la capete prin oglindire, relația (3.64) se poate scrie:

$$c^+(0) = \frac{1}{1 - z_1^{2N-2}} \sum_{k=0}^{2N-3} y(k) z_1^k \quad (3.65)$$

Implementarea ultimei formule poate necesita un volum crescut de calcule, ceea ce conduce la complicarea algoritmului și necesitatea unor timpi mari de execuție. Unser propune formula (3.66), cu factorul k_0 dat de (3.67), unde ε este nivelul de acuratețe dorit:

$$c^+(0) = \sum_{k=0}^{k_0} y(k) z_1^k \quad (3.66)$$

$$k_0 > \log \varepsilon / \log |z_1| \quad (3.67)$$

Cel de-al doilea proces recursiv se inițializează cu:

$$c^-(N-1) = \frac{z_1}{(z_1^2 - 1)} (c^+(N-1) + z_1 c^+(N-2)) \quad (3.68)$$

Acest proces de determinare a coeficienților din eșantioanele de intrare se mai numește și prefiltrare. Având coeficienții, se poate trece la a doua etapă a algoritmului: calcularea valorilor interpolate.

Pentru factorul $m=1$ se obține reconstrucția semnalului inițial. Șirul de coeficienți este adus la intrarea filtrului care are funcția de transfer $B_1^3(z)$.

$$B_1^3(z) = \frac{z + 4 + z^{-1}}{6} \quad (3.69)$$

Acestuia îi corespunde:

$$b_1^3(k) = \left\{ \frac{1}{6}, \frac{2}{3}, \frac{1}{6} \right\} \quad (3.70)$$

Pentru interpolarea cu un factor $m>1$ șirul coeficienților B-spline este supraeșantionat conform formulei (3.48) și adus la intrarea filtrului $B_m^3(z)$. Expresia filtrului B-spline indirect este dată de formula (3.71), pentru un factor de interpolare $m=2$ [99].

$$\begin{aligned} B_2^3(z) &= \frac{32 + 23[z + z^{-1}] + 8[z^2 + z^{-2}] + [z^3 + z^{-3}]}{48} = \\ &= \frac{2}{3} + \frac{23}{48}[z + z^{-1}] + \frac{1}{6}[z^2 + z^{-2}] + \frac{1}{48}[z^3 + z^{-3}] \end{aligned} \quad (3.71)$$

Corespunzător:

$$b_2^3(k) = \left\{ \frac{1}{48}, \frac{1}{6}, \frac{23}{48}, \frac{2}{3}, \frac{23}{48}, \frac{1}{6}, \frac{1}{48} \right\} \quad (3.72)$$

În lucrările studiate, acest algoritm și alte metode bazate pe acesta au fost folosite pentru a efectua operații de prelucrare a imaginilor [100, 112, 123]. În continuare, vor fi prezentate câteva rezultate proprii obținute prin aplicarea algoritmului asupra unor semnale bine cunoscute.

3.7.2. Rezultate experimentale proprii

Într-un studiu propriu, algoritmul rapid de interpolare spline cubică a fost implementat prin programe *Matlab* și aplicat mai multor categorii de semnale binecunoscute, ca: sinus, cosinus, dreaptă, semnal treaptă, semnal triunghiular [91]. Coeficienții B-spline, eșantioanele semnalului reconstituit (pentru $m=1$) și interpolat (factor de interpolare $m=2$), au fost calculate în fiecare caz în parte. S-au utilizat funcțiile B-spline cubice ($n=3$), filtrul B-spline direct (așa numita „transformată B-spline directă”), fiind cel din formula (3.58). Pentru reconstrucția semnalelor s-a utilizat filtrul B-spline indirect cu funcția de transfer $B_1^3(z)$ dată de relația (3.69), iar pentru interpolarea cu factor $m=2$ s-a folosit filtrul $B_2^3(z)$ dat de (3.71).

Schema de interpolare particularizată pentru $n=3$ și $m=2$ este redată în figura următoare.

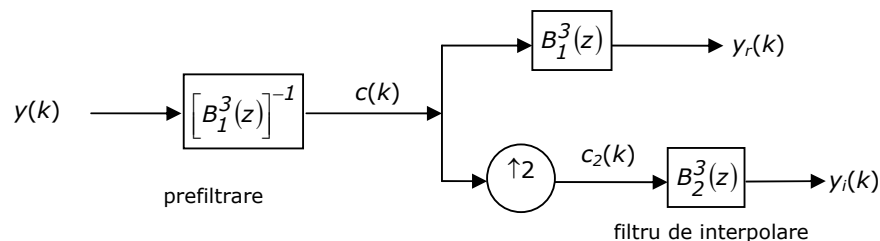


Fig.3.9. Algoritm rapid de interpolare spline cubică pentru $m=2$.

Algoritmul a fost aplicat mai multor tipuri de semnale, precum: semnale sinus și cosinus, un semnal care are doar componentă continuă (o dreaptă), semnal treaptă, semnal triunghiular, semnal în V, un semnal electrocardiogramă. Pentru semnalele periodice, s-au luat în considerare mai multe situații: un număr de 12, 50, 100 sau 120 eșantioane pe perioadă, corespunzătoare unor frecvențe de eșantionare diferite. Numărul de eșantioane pe perioadă s-a notat cu M . Numărul eșantioanelor N ce reprezintă șirul $y(k)$ a fost ales astfel încât să corespundă la 1, 3 sau 5 perioade din semnalul de intrare. Rezultatele obținute au permis formularea unor concluzii și observații. Acestea au dus la căutarea unor metode noi de determinare a coeficienților și elaborarea unor algoritmi îmbunătățiți de interpolare.

Din eșantioanele semnalului de intrare $y(k)$ se determină șirul de coeficienți $c(k)$. Operația de inițializare a procesului recursiv de calcul al coeficienților B-spline necesită stabilirea valorii parametrului k_0 din relația (3.66). Vom alege trei valori pentru nivelul de acuratețe ε și, din (3.62) calculăm k_0 . În urma aplicării algoritmului, rezultatele vor fi analizate pentru a vedea influența acestui factor. Se alege:

$$\begin{aligned}\varepsilon = 0,001 &\Rightarrow k_0 > 5,2452; k_0 = 6 \\ \varepsilon = 0,0001 &\Rightarrow k_0 > 6,9936; k_0 = 7 \\ \varepsilon = 0,00001 &\Rightarrow k_0 > 8,7421; k_0 = 9\end{aligned}$$

Se vor urmări modificările care apar în calculul coeficienților la schimbarea valorii lui k_0 . Astfel se studiază influența condițiilor inițiale asupra valorilor interpolate și a erorilor de interpolare.

Pentru exemplificare, s-au luat ca semnale de intrare eșantioanele corespunzătoare lui $y(k)=\sin(2\pi k/M)$ și $y(k)=\cos(2\pi k/M)$. Pentru M s-au ales 2 valori: 12 și 120. Acestea corespund eșantionării semnalelor $\sin(t)$ și $\cos(t)$ cu o frecvență de eșantionare mică și respectiv, una de 10 ori mai mare.

Reprezentarea datelor în *Matlab* s-a făcut cu dublă precizie: reprezentare în virgulă mobilă pe 64 de biți (tipul *double*). Toate valorile obținute mai mici de 10^{-8} au fost considerate neglijabile. În practică, valori mult mai mari decât acestea sunt considerate erori acceptabile pentru multe aplicații. Semnalele de intrare folosite (atât $\sin(t)$, $\cos(t)$, cât și altele care vor fi prezentate în continuare) se consideră scalate, astfel încât valorile acestora se regăsesc doar în intervalul $[-1; 1]$.

Fiecare set de N eșantioane a fost adus la intrarea sistemului din figura 3.9. Pentru fiecare din cele 3 valori ale lui k_0 (6, 7 și 9) s-au calculat coeficienții $c(k)$, șirurile $y_r(k)$ și $y_i(k)$. Algoritmul de calcul al coeficienților $c(k)$, al semnalului reconstruit $y_r(k)$ și al semnalului interpolat cu $m=2$ $y_i(k)$ a fost implementat în *Matlab* și se regăsește în *Anexa 1*. Rezultatele obținute sunt prezentate parțial în *Anexa 1*.

În tabelul 3.1 sunt redată câteva rezultate semnificative. Sunt prezentate valorile primilor 3 și a ultimilor 2 coeficienți B-spline ai șirului pentru fiecare caz în parte.

Tabelul 3.1. Coeficienți $c(k)$ pentru diverse valori k_0

$y(k)$	M	k_0	$c(0)$	$c(1)$	$c(2)$	$c(M-1)$	$c(M)$
\sin ($2\pi k/M$)	12	6	-0,302225	0,604353	0,884809	-0,604338	0,302169
		7	-0,302139	0,604330	0,884815	-0,604338	0,302169
		9	-0,302167	0,604338	0,884813	-0,604338	0,302169
	120	6	-0,030182	0,060447	0,102409	-0,060459	0,030229
		7	-0,030244	0,060463	0,102404	-0,060459	0,030229
		9	-0,030231	0,060460	0,102405	-0,060459	0,030229
\cos ($2\pi k/M$)	12	6	1,046618	0,906542	0,523363	0,906508	1,046745
		7	1,046767	0,906502	0,523374	0,906508	1,046745
		9	1,046744	0,906508	0,523372	0,906508	1,046745
	120	6	1,000584	0,999051	0,994985	0,999085	1,000457
		7	1,000423	0,999094	0,994974	0,999085	1,000457
		9	1,000454	0,999086	0,994976	0,999085	1,000457

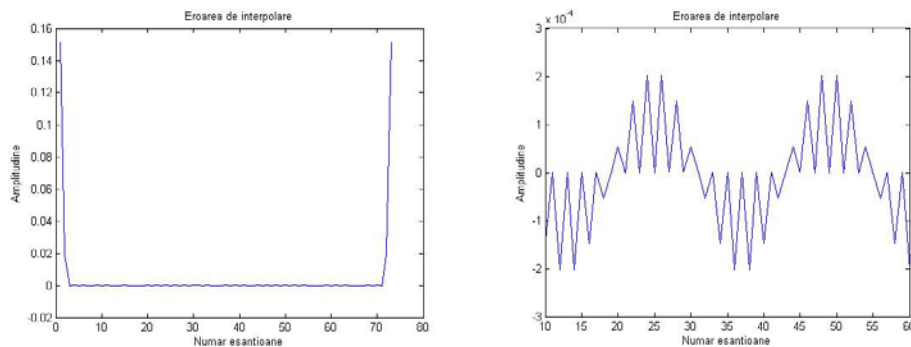
Analizând rezultatele obținute la modificarea valorii lui k_0 , se pot face următoarele observații:

- Pentru același semnal de intrare există diferențe între valorile primilor coeficienți.
- Numărul de coeficienți care se modifică depinde de pasul de eșantionare.
- Diferențele dintre valorile coeficienților devin neglijabile la un moment dat, după care șirurile rămân identice la schimbarea valorii lui k_0 .
- Ultimele valori corespunzătoare fiecărui șir sunt identice.
- Valorile coeficienților urmăresc variația eșantioanelor de intrare și sunt apropiate de valorile acestora.

Calculul primilor coeficienți depinde în mod direct de valoarea parametrului k_0 . De aici apar diferențele semnificative de la începutul șirurilor. Procesul recursiv are ca efect reducerea diferențelor pe măsură ce se înaintează în șir.

Pentru aceleași semnale de intrare s-au comparat și erorile de interpolare pentru cazul în care factorul de interpolare este $m=2$. Câteva fișiere cu date reprezentative se regăsesc în *Anexa 1*. Se observă că valorile acestor erori nu depășesc un anumit prag, cu excepția celor de la capetele șirului. Acestea vor fi denumite în continuare „erori la capete”. O analiză a acestor erori va fi prezentată după ce vor fi discutate și rezultatele pentru alte tipuri de semnale de intrare.

În figura 3.10 sunt prezentate erorile de interpolare în cazul semnalului $y(k)=\cos(2\pi k/M)$, cu $M=12$, $k=0, 1, \dots, N$ și $N=36$. În acest exemplu s-a ales $k_0=7$. În figura 3.10.a) este redat întregul șir de valori obținute. Se observă că la capete erorile ating valori de ordinul 10^{-1} . În figura 3.10.b), din șir au fost îndepărtate erorile la capete și se vede că erorile de interpolare au valori de maxim $2 \cdot 10^{-4}$.



a) pentru toate eșantioanele prelucrate

b) fără erorile la capete

Fig.3.10. Eroarea de interpolare pentru $\cos(2\pi k/12)$, $k_0=7$.

Numărul eșantioanelor afectate de erori semnificative de la începutul șirului crește odată cu scăderea lui k_0 . S-ar putea spune că o valoare cât mai mare a lui k_0 ar duce la rezultate mai bune. Aceste erori, de la începutul șirului, se datorează și faptului că relația de inițializare (3.66) este o particularizare a lui (3.64), unde $k_0 \rightarrow \infty$. Alegerea lui k_0 mai mare duce la mărirea numărului de termeni în formula (3.66), deci crește volumul de calcule. Acesta poate fi privit ca o optimizare, însă, în multe cazuri, rezultatele obținute nu pot justifica timpul de calcul suplimentar.

Pentru semnalul sinus s-au calculat erorile de interpolare pentru mai multe valori ale factorului M (numărul de eșantioane pe perioadă), de exemplu: 5, 6, 8, 10, 12, ..., 240, în fiecare caz luând $k_0=7$. Numărul de eșantioane afectate de erorile la capete tinde să ajungă la jumătate din M . Cu cât k_0 devine mai mic în comparație cu M , cu atât mai mult crește numărul de eșantioane afectate de erorile la capete.

Algoritmul a fost aplicat și pentru cazul în care eșantioanele de intrare corespund unui semnal constant egal cu valoarea 1 (o dreaptă). S-a considerat un număr de 51 de eșantioane ($N=51$). Astfel, s-a ales:

$$y(k)=1, \text{ pentru } k=0, 1, 2, \dots, 50$$

În tabelul 3.2. sunt prezentate valorile coeficienților în câteva puncte k semnificative pentru cazul în care $k_0=7$. Pe ultima coloană sunt date valorile obținute în urma interpolării semnalului de intrare cu un factor $m=2$.

Tabelul 3.2. Semnal $y(k)=1, k_0=7$

k	$c(k)$	$y_i(k/m)$
0	0,9996	0,8333
		0,9791
1	1	1
		1
2	0,9999	1
		0,9999
3	1	1
		1
4	0,9999	1
...
30	1	1
		1
31	1	1
...
49	1	1
		0,9791
50	1	0,8333

Se observă că primele valori pentru coeficienți sunt diferite de 1, dar converg rapid spre 1, ajungând să fie egale cu valorile semnalului de intrare. În punctele de interpolare semnalul ia valori foarte apropiate de 1. Erorile de interpolare sunt mici, devenind neglijabile odată cu creșterea numărului de valori calculate [91]. Excepție fac eșantioanele de la începutul și sfârșitul șirului, apărând și aici erori la capete.

Se pune în evidență încă o dată faptul că algoritmul este convergent datorită proprietăților funcțiilor spline polinomiale [100, 112]. Însă, unele mici oscilații apărute în șirul coeficienților duc la apariția de oscilații și în semnalul interpolat. Acesta poate fi un inconvenient, mai ales dacă avem de prelucrat un număr mic de eșantioane.

În practică, inițializarea algoritmului recursiv se face în $k=0$ și cu un număr finit de eșantioane k_0 . Presupunem că semnalul inițial este extins prin oglindire în ambele părți, cu un număr suficient de mare de eșantioane și apoi interpolat.

Atunci, în zona de mijloc a semnalului de la ieșire vom avea rezultate neinfluențate de erorile la capete. Această zonă este cea în care au fost definite valorile inițiale și pentru care rezultatele sunt de interes. În acest caz, erorile de capete nu mai prezintă nici o importanță [91].

Pentru semnalul $y(k)=1$, formula de inițializare la stânga (3.64) poate fi scrisă astfel:

$$c^+(0) = \sum_{k=0}^{+\infty} y(k)z_1^k = \sum_{k=0}^{+\infty} z_1^k = \frac{1}{1-z_1} \quad (3.70)$$

Acum se pot evalua coeficienții și semnalul interpolat pentru cazul ideal în care parametrul k_0 tinde la ∞ (corespunzător unui semnal de intrare nemărginit). În tabelul 3.3. sunt prezentate câteva valori pentru coeficienții și semnalul interpolat cu factor $m=2$.

Tabelul 3.3. Semnal $y(k)=1, k_0=+\infty$

k	$c(k)$	$y_i(k/m)$
0	1	0,8333
		0,9791
1	1	1
		1
2	1	1
		1
3	1	1
		1
4	1	1
...
30	1	1
		1
31	1	1
...
49	1	1
		0,9791
50	1	0,8333

În această situație coeficienții sunt egali cu datele de intrare, iar valorile semnalului interpolat sunt identice cu cele ale semnalului inițial (rezultat așteptat în cazul ideal). Pentru semnalul interpolat apar erori la capete și în acest caz.

Pe baza rezultatelor de mai sus s-a stabilit valoarea $k_0=7$ pentru simulările următoare.

În figura 3.11 sunt prezentate atât eșantioanele de intrare cât și coeficienții calculați pentru cazul $y(k)=\cos(2\pi k/12)$ unde $k=0, 1, \dots, 36$ (o secvență de 3 perioade din $\cos(t)$, cu 12 eșantioane pe perioadă).

Din rezultatele obținute se poate vedea că valorile coeficienților urmăresc variația semnalului de la intrare și sunt apropiate de valorile acestuia [91]. Acest lucru este valabil pentru toate semnalele pe care s-a testat algoritmul. Coeficienții sunt egali cu eșantioanele în cazul în care se utilizează funcții spline cardinale în procesul de determinare a șirului $c(k)$ [100, 112]. Dezavantajul acestui tip de funcții

este că nu au suport compact, precum funcțiile B-spline polinomiale. Astfel se pierde avantajul de a putea calcula orice valoare interpolată utilizând maxim $(n+1)$ funcții bază.

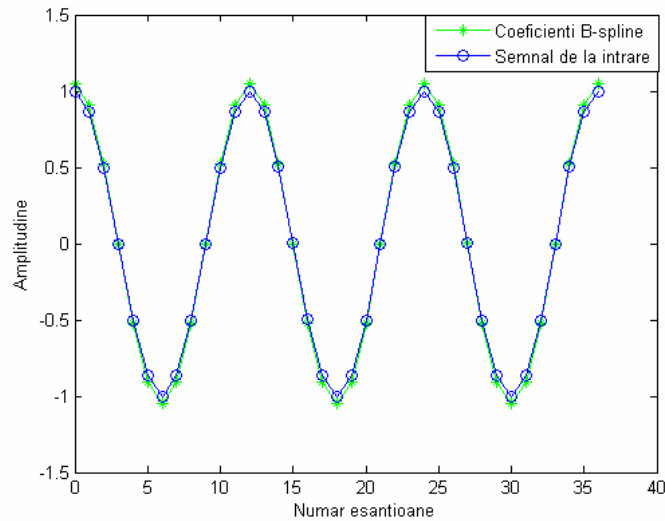


Fig.3.11. Eșantioanele de intrare și coeficienții determinați cu algoritmul Unser.

Pentru semnalele analogice $\sin(t)$ și $\cos(t)$ am luat șiruri de eșantioane corespunzătoare mai multor frecvențe de eșantionare. Astfel, avem cazuri în care diferă numărul de eșantioane pe perioadă (diverse valori pentru factorul M). Am analizat și situațiile în care la intrare avem eșantioane care corespund unei perioade, respectiv a trei și cinci perioade din semnal.

Fie $y(k)=\sin(2\pi k/M)$ cu $k=0, 1, \dots, N-1$. Se prezintă în continuare situațiile în care $M=12, N=37$, respectiv $M=120, N=361$. Acestea sunt cazurile în care secvențele de intrare au 12 eșantioane pe perioadă, respectiv 120, și conțin fiecare câte trei perioade din semnal. Câteva dintre valorile coeficienților $c(k)$ sunt comparate în tabelul 3.4.

Tabelul 3.4. Coeficienții pentru $y(k)=\sin(2\pi k/M)$, $k_0=7$

α	$\sin(\alpha)$	M	Prima perioadă		A doua perioadă		A treia perioadă	
			k	$c(k)$	k	$c(k)$	k	$c(k)$
0	0	12	0	-0,302139	$(M+0)$	0	$(2M+0)$	0
		120	0	-0,030244	$(M+0)$	0	$(2M+0)$	0
$\pi/6$	0,5	12	1	0,604330	$(M+1)$	0,523372	$(2M+1)$	0,523372
		120	10	0,500228	$(M+10)$	0,500228	$(2M+10)$	0,500228
$\pi/3$	0,866025	12	2	0,884815	$(M+2)$	0,906508	$(2M+2)$	0,906509
		120	20	0,866421	$(M+20)$	0,866421	$(2M+20)$	0,866421

Acestea au fost obținute în aceleași puncte α de pe caracteristica semnalului de intrare. În tabel sunt prezentate și valorile funcției sinus în aceleași puncte.

În tabelul 3.5 sunt prezentate rezultatele pentru semnalele $y(k)=\cos(2\pi k/M)$, unde $k=0, 1, \dots, N-1$, pentru aceleași valori $M=12, N=37$, respectiv $M=120, N=361$.

Tabelul 3.5. Coeficienți pentru $y(k)=\cos(2\pi k/M)$, $k_0=7$

α	$\cos(\alpha)$	M	Prima perioadă		A doua perioadă		A treia perioadă	
			k	$c(k)$	k	$c(k)$	k	$c(k)$
0	1	12	0	1,046767	(M+0)	1,046745	(2M+0)	1,046745
		120	0	1,000423	(M+0)	1,000457	(2M+0)	1,000457
$\pi/6$	0,866025	12	1	0,906502	(M+1)	0,906508	(2M+1)	0,906508
		120	10	0,866421	(M+10)	0,866421	(2M+10)	0,866421
$\pi/3$	0,5	12	2	0,523374	(M+2)	0,523372	(2M+2)	0,523372
		120	20	0,500228	(M+20)	0,500228	(2M+20)	0,500228

Valorile coeficienților diferă pentru șiruri de eșantioane obținute din același semnal analogic la frecvențe de eșantionare diferite. Valorile $y(k)$ și $c(k)$ sunt apropiate atunci când semnalele de intrare au un număr mai mare de eșantioane pe perioadă ($M=120$), diferențele fiind de ordinul 10^{-4} . Aceste diferențe se măresc odată cu micșorarea frecvenței de eșantionare. Pentru un pas de eșantionare de 10 ori mai mare ($M=12$), diferențele ajung la valori de ordinul 10^{-2} , chiar 10^{-1} în cazul semnalului sinusoidal [91].

La începutul șirului de coeficienți, diferențele dintre aceștia și valorile datelor de intrare sunt mai mari decât în rest. Acest fapt se datorează condițiilor inițiale impuse pentru determinarea lui $c^+(0)$. Pentru inițializare se recurge la prelungirea prin oglindire a semnalului de intrare. Dacă datele de intrare corespund funcției cosinus (semnal continuu, par), în urma prelungirii se obține tot un semnal continuu. Pentru sinus (care este funcție impară), în urma prelungirii apar discontinuități în noul semnal. Acest tip de prelungire nu este avantajoasă în cazul semnalelor impare deoarece, prin oglindire, pentru semnalul rezultat apar discontinuități în punctele față de care s-a făcut oglindirea.

Pentru un semnal compus din mai multe perioade se obține un șir de coeficienți care prezintă o anumită periodicitate. Coeficienții din a doua perioadă sunt diferiți de cei din prima până la un punct, dar sunt egali cu cei din perioadele următoare. Valorile corespunzătoare fiecărei perioade sunt aproximativ egale, excepție făcând primele și ultimele din șir (acolo unde se face inițializarea lui $c^+(0)$ și $c^-(N-1)$). Din tabelele 3.4 și 3.5 se poate observa diferența mare dintre valorile pentru $c(0)$ și $c(M)$ (corespunzătoare primelor două perioade). Coeficienții $c(M)$ și $c(2M)$ (ce corespund perioadelor a doua și a treia), au valori egale. În cazul semnalelor periodice cu M eșantioane pe perioadă, pentru coeficienți, se poate scrie:

$$c(M+i) = c(2M+i) = \dots = c((j-1)M+i) \text{ pentru } i=0,1,\dots, M-1 \quad (3.71)$$

$$c(0) \approx c(M) \text{ și } c(1) \approx c(M+1)$$

Pentru aceleași date de intrare s-au analizat și valorile interpolate cu un factor $m=2$. Erorile de interpolare sunt de ordinul 10^{-8} maximum, pentru $M=120$ și 10^{-4} , pentru $M=12$. Excepție fac un număr de eșantioane de la capetele șirurilor,

unde erorile sunt considerabil mai mari. Primele valori interpolate au erori de ordinul 10^{-1} . În figura 3.12 sunt prezentate erorile de interpolare obținute în cazul semnalelor $\cos(2\pi k/M)$ (3.12.a) și $\sin(2\pi k/M)$ (3.12.b) pentru $M=12$.

În *Matlab* există funcții predefinite [66, 128] care realizează interpolarea unui șir de date. Aceleași semnale de mai sus au fost interpolate utilizând funcția *interp1()*, precizând *spline* ca metodă de interpolare. Rezultatele obținute pentru erorile de interpolare sunt prezentate în figura 3.13. Și în aceste cazuri apar erori mai mari la capete. Pentru restul șirului, erorile de interpolare sunt mai mari decât în cazul interpolării cu algoritmul Unser.

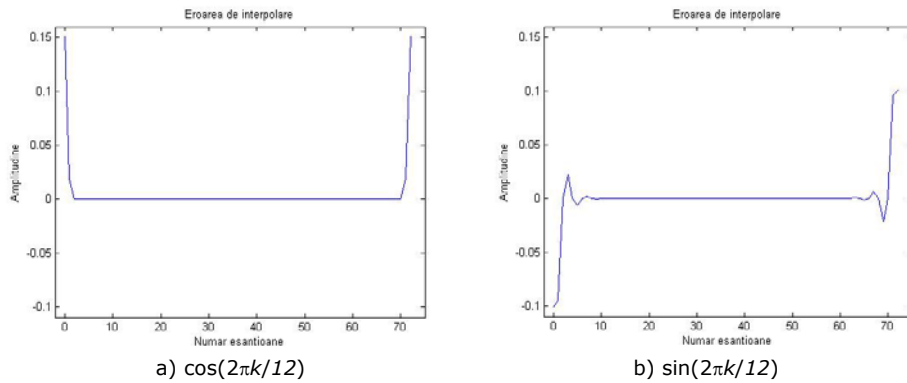


Fig.3.12. Erori la interpolarea cu algoritmul Unser.

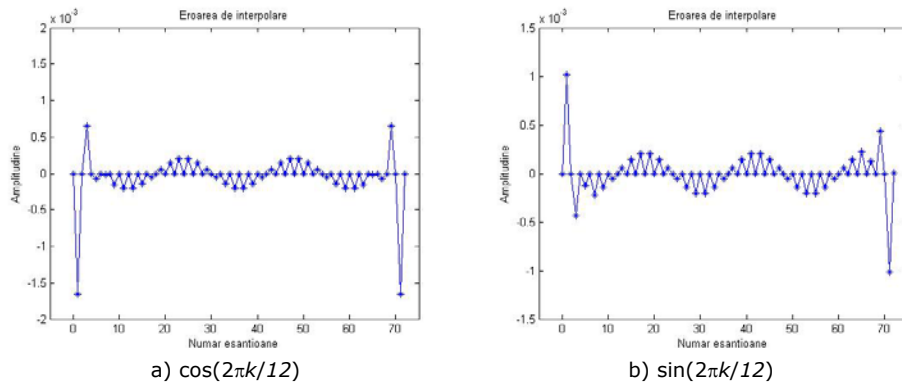


Fig.3.13. Erori la interpolarea cu funcția predefinită din Matlab.

Aceste erori de interpolare, denumite „erori la capete”, au fost observate în toate cazurile studiate. Apariția lor are la bază 2 cauze:

- Condițiile inițiale pentru determinarea coeficienților B-spline sunt date de un număr finit de eșantioane.
- Pentru calcularea fiecărui eșantion din semnalul interpolat se utilizează valori anterioare și posterioare ale coeficienților. La capetele intervalului, unele dintre aceste valori sunt considerate 0 (zero). De exemplu, în punctul $k=0$ nu există $c(-1)$ sau $c(-2)$ pentru

a calcula valoarea $y_i(0)$ a semnalului interpolat. Pentru acești coeficienți se consideră valoarea zero.

Până acum au fost discutate doar cazuri în care eșantioanele de intrare provin din semnale descrise prin funcții continue și cu derivatele continue. Același algoritm a fost aplicat și unor semnale care prezintă discontinuități: semnal triunghiular și semnal treaptă. S-a studiat și cazul interpolării unui semnal electrocardiogramă (ECG).

Câteva rezultate sunt prezentate în continuare. În figura 3.14 sunt redată un semnal treaptă interpolat cu un factor $m=2$ (în 3.14.a) și eroarea de interpolare (în 3.14.b). Primele 20 de eșantioane ale semnalului de la intrare au valoarea „-1”, după care semnalul sare la valoarea „1” pentru următoarele 20 de eșantioane. La mijlocul semnalului apare o discontinuitate. În jurul acesteia, la interpolare apar erori semnificative care afectează un număr mic de valori (3 la stânga și 3 la dreapta).

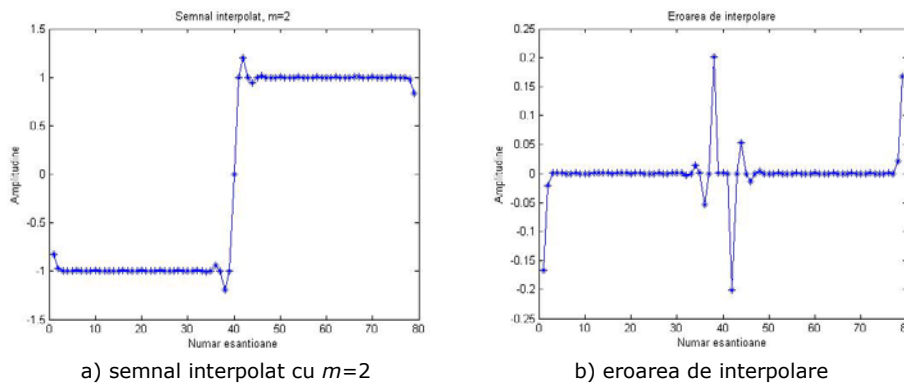


Fig.3.14. Rezultate pentru semnal treaptă.

Cazul unui semnal triunghiular cu 16 eșantioane pe perioadă este redat în figura 3.15. Și aici se observă valori mai mari pentru erorile de interpolare din jurul discontinuităților.

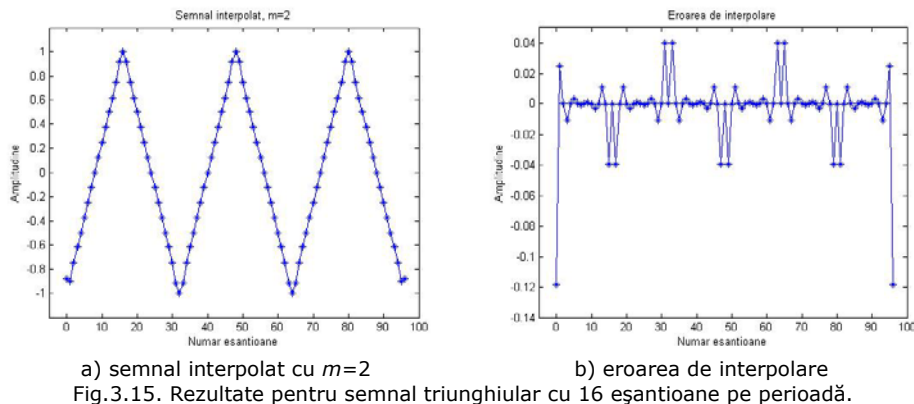
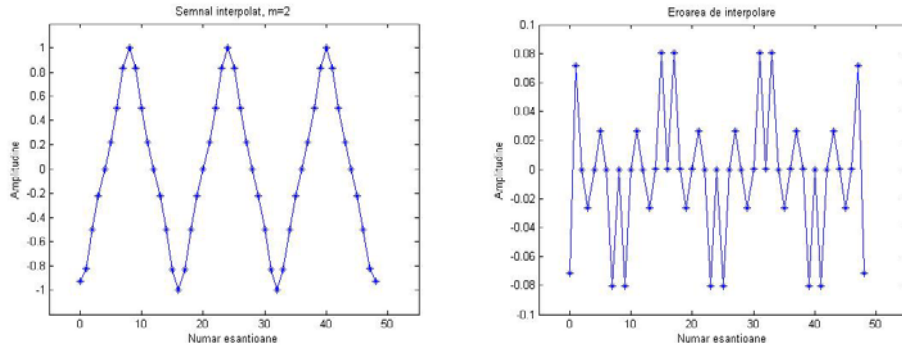


Fig.3.15. Rezultate pentru semnal triunghiular cu 16 eșantioane pe perioadă.

Pentru o frecvență de eșantionare de 2 ori mai mică (triunghi cu 8 eșantioane pe perioadă), rezultatele sunt prezentate în figura 3.16. Erorile de interpolare din vecinătatea punctelor de discontinuitate cresc, însă cele de la capete scad. Erorile la capete sunt mai mici deoarece s-a considerat $k_0=7 \cong M$. Aceasta poate fi considerată valoare mare în comparație cu numărul de eșantioane pe perioadă.

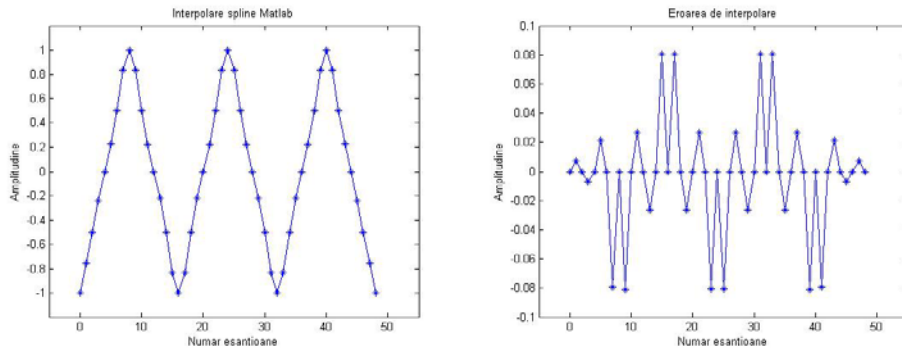
a) semnal interpolat cu $m=2$

b) eroarea de interpolare

Fig.3.16. Rezultate pentru semnal triunghiular cu 8 eșantioane pe perioadă.

Observațiile anterioare referitoare la coeficienți și erorile de interpolare sunt valabile și pentru semnalele cu discontinuități. Apar erori de interpolare suplimentare în zonele unde sunt punctele de discontinuitate deoarece semnalele sunt approximate prin funcții spline cubice (3.39).

Același semnal a fost interpolat utilizând funcția *interp1()* predefinită în *Matlab*, folosind metoda de interpolare *spline* (figura 3.17). Exceptând erorile la capete, erorile din vecinătatea punctelor de discontinuitate au valori aproximativ egale cu cele obținute prin interpolare cu algoritmul Unser.

a) semnal interpolat cu $m=2$

b) eroarea de interpolare

Fig.3.17. Semnal triunghiular interpolat spline cu funcția predefinită în Matlab.

Același lucru se întâmplă și pentru semnalul treaptă la interpolarea cu funcția *interp1()* din *Matlab*.

Pentru toate cazurile studiate, în noduri, erorile de interpolare au valori nesemnificative, deci funcția de interpolare ia valorile semnalului de intrare (îndeplinește condiția (3.39)).

Algoritm Unser a fost utilizat și pentru reconstrucția unui semnal sinus cu 120 de eșantioane pe perioadă care are suprapus un zgomot. Semnalul este reconstruit cu erori neglijabile.

S-a utilizat pentru studiu și un semnal electrocardiogramă (ECG), obținut la o frecvență de eșantionare de 200 Hz [74], având aproximativ 160 de eșantioane pe perioadă, nescalat. Semnalul reconstruit este prezentat în figura 3.18. Erorile de reconstrucție sunt neglijabile. Reamintim că orice valoare mai mică de 10^{-8} a fost considerată zero și că în *Matlab* s-a lucrat cu date de tip *double*.

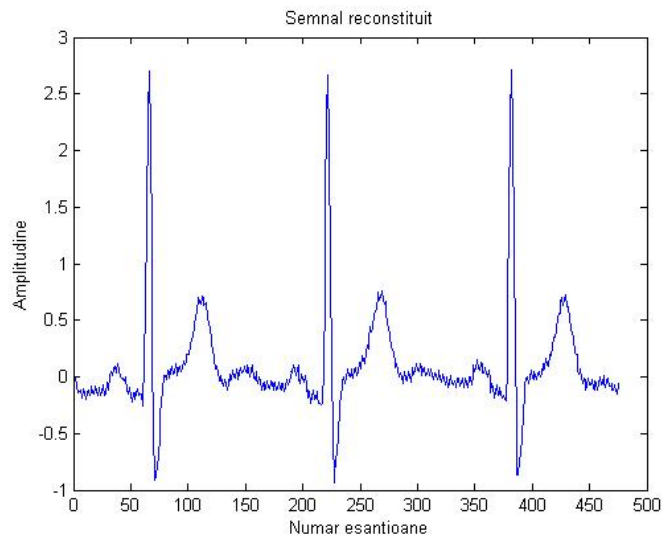
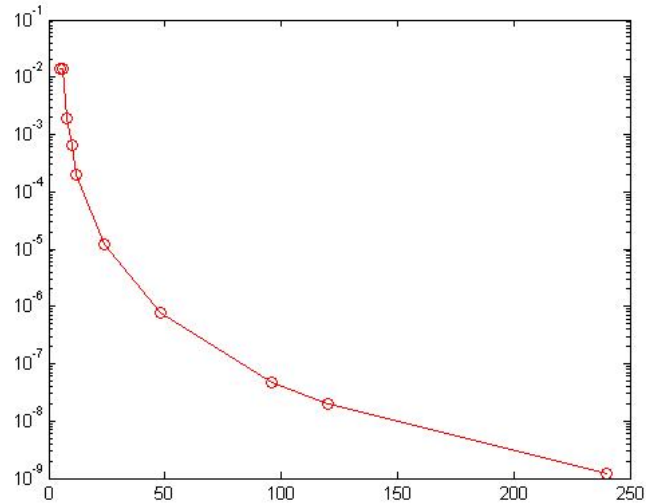


Fig.3.18. Semnal ECG reconstruit cu algoritmul Unser.

După cum s-a observat, eroarea de interpolare scade odată cu creșterea frecvenței cu care a fost eșantionat semnalul de intrare (când eșantioanele sunt mai dese). S-a studiat modul în care variază valoarea maximă a erorii de interpolare (exceptând erorile la capete), la creșterea frecvenței de eșantionare. Pentru semnalul $\sin(2\pi k/M)$ s-au calculat erorile de interpolare pentru mai multe valori ale factorului M (5, 6, 8, 10, 12, ..., 240). În figura 3.19 este prezentată variația erorii maxime de interpolare cu factor $m=2$ în funcție de numărul de eșantioane pe perioadă (raportul frecvență de eșantionare f_e /frecvență semnal f_s) pentru acest semnal. Valorile scad logaritmice.

Fig.3.19. Variația erorii maxime de interpolare în funcție de f_e / f_s .

3.8. Concluzii

Funcțiile spline sunt un instrument eficient în realizarea unor aplicații de interpolare de bună calitate. Acest lucru se datorează proprietăților funcțiilor spline, care sunt polinoame de gradul n pe subintervale adiacente, care se unesc în noduri, funcția și și primele $n-1$ derivate ale sale fiind continue.

În ultimele 2 decenii, funcțiile spline au fost utilizate tot mai des în aplicații de prelucrare numerică a imaginilor. Au fost elaborați numeroși algoritmi de interpolare ce folosesc mai multe tipuri de funcții spline (B-spline, spline polinomiale, spline cardinale) sau combinații ale acestora. Toți algoritmi au fost realizați utilizând conceptul de interpolare generalizată și se bazează pe algoritmul care folosește transformata B-spline directă pentru calcularea coeficienților și transformata B-spline inversă pentru determinarea eșantioanelor semnalului interpolat. Cei mai des întâlniți sunt algoritmi care folosesc funcții de gradul 3.

Acești algoritmi sunt integrați în aplicații specifice prelucrării imaginilor, precum redimensionarea sau aplicarea unor transformări geometrice, și conduc la obținerea unor rezultate foarte bune cu costuri de implementare mici.

Algoritmul rapid de interpolare spline cubică (algoritmul Unser) a fost aplicat mai multor seturi de eșantioane provenite de la semnale periodice (sinus, cosinus, triunghi) sau neperiodice (treaptă), semnale continue sau cu puncte de discontinuitate. Pentru unele dintre ele s-au folosit mai multe șiruri corespunzătoare unor situații în care diferă frecvența de eșantionare (de exemplu, $M=12$ și $M=120$ pentru sinus și respectiv, $M=8$ și $M=16$, pentru triunghi). Din analizarea coeficienților și a erorilor de interpolare s-au desprins câteva concluzii, sintetizate în continuare.

Valorile coeficienților depind de frecvența cu care este eșantionat semnalul de intrare.

Valorile coeficienților urmăresc variația semnalului și sunt apropiate de valorile eșantioanelor acestuia. Cu cât se crește frecvența de eșantionare, cu atât coeficienții sunt mai apropiați de valorile semnalului.

Coeficienții obținuți pentru una sau mai multe perioade ale unui semnal sunt aceeași cu excepția primilor și ultimilor coeficienți din șir. Excepțiile se datorează condițiilor inițiale impuse la calcularea coeficienților. Acestea duc la apariția așa numitelor „erori la capete”. Apariția acestor erori nu este precizată nicăieri în lucrările studiate. Însă, în aceste lucrări, exemplele sunt prezentate pentru prelucrarea unor imagini. În general, imaginile sunt reprezentate printr-un volum mare de date, ceea ce poate duce la ignorarea erorilor de capete, ele fiind ne semnificative în raport cu multitudinea de eșantioane prelucrate.

Se poate spune că în noduri, interpolarea este exactă deoarece erorile de interpolare în aceste puncte au valori foarte mici. Mărimea erorilor de interpolare din punctele dintre noduri depinde de frecvența de eșantionare a semnalului de intrare (cât de dese sunt nodurile). Cu cât frecvența de eșantionare este mai mare, cu atât mai mici sunt aceste erori.

4. NOI ALGORITMI DE DETERMINARE A COEFICIENȚILOR B-SPLINE

4.1. Introducere

În capitolul anterior au fost prezentate mai multe metode de interpolare cu funcții spline care au la bază algoritmi dezvoltați de M. Unser și colaboratorii. Prelucrarea semnalelor se face în contextul de interpolare generalizată care presupune parcurgerea a 2 pași: prefiltrare și interpolare (sau sinteză). Majoritatea studiilor analizează algoritmi Unser prin diverse exemple și propun noi metode pentru implementarea celui de-al doilea pas, cel de sinteză. Însă, partea de prefiltrare este realizată prin metoda propusă de Unser și colaboratorii. Astfel, din eșantioanele de intrare, coeficienții B-spline sunt obținuți la ieșirea filtrului B-spline indirect (filtru IIR). Mai apoi, acești coeficienți sunt aduși la intrarea unor noi sisteme propuse pentru interpolare sau aproximare.

Algoritmul nu poate fi utilizat pentru prelucrarea semnalelor în timp real. În una dintre lucrările amintite [123] se aduce în discuție acest fapt și se propun variante de modificare ale filtrului B-spline invers astfel încât să se elimine acest inconvenient. Filtrul IIR este înlocuit cu filtre cu răspuns finit la impuls (FIR) obținute prin trunchierea răspunsului în frecvență al filtrului inițial.

Inconvenientul utilizării filtrului B-spline indirect este dat de faptul că presupune utilizarea încă de la început a întregului șir de eșantioane din semnalul de intrare. Coeficienții sunt calculați printr-un algoritm compus din 2 procese recursive: unul cauzal și unul anticauzal.

Procesul de determinare a coeficienților B-spline presupune și stabilirea unor condiții inițiale pe baza prelungirii semnalului de intrare. Pentru funcții care nu sunt periodice, sau pentru funcții impare, acest tip de oglindire duce la introducerea unor erori suplimentare.

În continuare se caută noi metode de calculare a coeficienților B-spline și de determinare a condițiilor inițiale care să nu necesite prelungirea semnalului și să poată fi utilizate pentru prelucrarea numerică a semnalelor în timp real. Se pornește de la algoritmul rapid de interpolare cu funcții B-spline cubice prezentat în subcapitolul 3.7. Din procesul descris de algoritmul Unser se păstrează partea a doua, cea de interpolare. Pentru sistemul ce realizează prefiltrarea, se vor căuta noi funcții de transfer.

În figurile 4.1 și 4.2 sunt redată procesul de reconstrucție, respectiv interpolare cu un factor m ale unui semnal $\{y(k)\}$. Pasul de prefiltrare va fi implementat printr-un filtru nou, cu funcția de transfer $H_{pr}(z)$, iar partea de reconstrucție și interpolare sa face cu filtre B-spline indirecte.

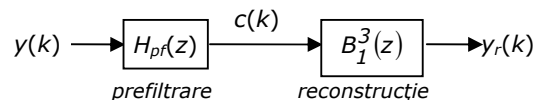
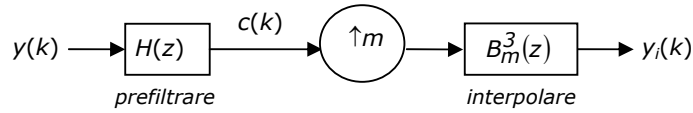


Fig. 4.1. Reconstrucția semnalului.

Fig. 4.2. Interpolarea semnalului cu un factor $m=2$.

Metoda clasică de interpolare cu funcții spline cubice presupune utilizarea și a valorilor derivatelor funcției în noduri [60, 65]. În studii recente din prelucrarea semnalelor și a imaginilor se utilizează diferențele finite [35, 62], diferențele divizate [63] și integrarea numerică [49] a funcțiilor B-spline pentru realizarea unor filtre folosite în prelucrarea semnalelor. Pornind de la aceste observații, se vor analiza relațiile dintre coeficienți, valorile funcției și ale derivatelor sale de ordinul 1 și 2 în noduri.

Pe baza acestor relații se dezvoltă mai mulți algoritmi de interpolare. Fiecare algoritm în parte va fi implementat în *Matlab* și testat pe o serie de semnale reprezentative, bine cunoscute. Dintre acestea amintim: semnal sinusoidal, cosinus, dreaptă (semnale continue), triunghiular, semnal treaptă (semnale ce prezintă discontinuități). Câteva rezultate considerate semnificative vor fi prezentate, comparate și discutate.

Deoarece se lucrează cu semnale discrete, trebuie găsite metode de derivare numerică. Vor fi luate în considerare 3 cazuri care ne vor permite să determinăm valorile derivatelor funcției în noduri.

4.2. Derivare numerică

În literatura de specialitate sunt întâlnite mai multe modalități de definire și evaluare a procedurii de derivare numerică. Vor fi prezentate și utilizate 3 dintre acestea:

1. metoda clasică de calcul a diferențelor finite;
2. metoda de derivare numerică descrisă de O. Stănășilă;
3. evaluarea diferenței finite centrale a unui polinom care trece prin 5 puncte.

4.2.1. Diferențe finite

Fie $f(u)$ o funcție reală definită pe o mulțime de puncte echidistante $(u, u+h, u+2h, u+3h, \dots, u+jh)$, unde $h>0$. Se definește diferența finită de ordinul 1 a funcției $f(u)$ în punctul u [27, 45, 93]:

$$\Delta f(u) = \Delta f_u = f(u+h) - f(u) \quad (4.1)$$

Diferența finită de ordinul al doilea este:

$$\Delta^2 f(u) = \Delta f(u+h) - \Delta f(u) = f(u+2h) - 2f(u+h) + f(u) \quad (4.2)$$

Acestea se mai numesc și diferențe finite la dreapta, sau progresive. Se pot defini și diferențe finite la stânga (regresive) [45]:

$$\nabla f(u) = f(u) - f(u - h) \quad (4.3)$$

$$\nabla^2 f(u) = f(u) - 2f(u - h) + f(u - 2h)$$

Gh. Micula definește diferențele divizate pentru o funcție $f(u)$, definită pe o mulțime de puncte distincte (u_0, u_1, \dots, u_N) [60]:

$$(Df)(u_r) = \frac{f(u_{r+1}) - f(u_r)}{u_{r+1} - u_r}, 0 < r < N \quad (4.4)$$

Diferența divizată de ordinul k :

$$(D^k f)(u_r) = \frac{(D^{k-1} f)(u_{r+1}) - (D^{k-1} f)(u_r)}{u_{r+k} - u_r} \quad (4.5)$$

În cazul în care punctele u_r sunt echidistante este vorba de diferențe finite și definițiile sunt echivalente cu (4.1) și (4.2).

În continuare vor fi utilizate diferențele finite, deoarece se lucrează doar cu eșantioane prelevate în puncte echidistante și de spațiere unitară. Se vor folosi definițiile pentru diferențe finite la dreapta (progresive).

4.2.2. Derivare numerică prin metoda Stănășilă

Pentru procesul de derivare numerică, O. Stănășilă propune o formulare puțin diferită [87]. Fie $f \in C^2[a, b]$ și u, h alese astfel încât $a < u - h < u < u + h < b$. Pentru o astfel de funcție continuă pe un interval și cu derivatele continue, se pot aproxima:

$$\text{- derivata la stânga } f'(u) \cong \frac{f(u) - f(u - h)}{h}$$

$$\text{- derivata la dreapta } f'(u) \cong \frac{f(u + h) - f(u)}{h}$$

Atunci, derivata centrată de ordinul 1 este:

$$f'(u) \cong \frac{f(u + h) - f(u - h)}{2h} \quad (4.6)$$

și derivata centrată de ordinul 2:

$$f''(u) \cong \frac{f(u + h) - 2f(u) + f(u - h)}{h^2} \quad (4.7)$$

Cum am mai spus, funcțiile considerate au noduri echidistante, cu spațiere unitară. Astfel, relațiile de mai sus devin:

$$f'(u) \cong \frac{f(u+1) - f(u-1)}{2} \quad (4.8)$$

$$f''(u) \cong f(u+1) - 2f(u) + f(u-1) \quad (4.9)$$

Derivatele astfel calculate sunt de fapt diferențele finite centrale ale unui polinom ce trece prin 3 puncte.

Se consideră următorul polinom:

$$f(u) = f(u_{k-1}) + a(u - u_{k-1}) + b(u - u_{k-1})^2 \quad (4.10)$$

Acesta trece prin 3 puncte u_{k-1} , u_k , u_{k+1} , puncte pe care le considerăm egal distanțate, cu spațiere unitară: $u_{k+1} - u_k = 1$.

Pentru $u = u_{k-1}$ se notează $f(u_{k-1})$ cu $f(k-1)$.

$$u = u_k \Rightarrow f(k) = f(k-1) + a + b \quad (4.11)$$

$$u = u_{k+1} \Rightarrow f(k+1) = f(k-1) + 2a + 4b \quad (4.12)$$

Din (4.11) și (4.12) se obține:

$$4f(k) - f(k+1) = 3f(k-1) + 2a$$

$$\Rightarrow a = (4f(k) - f(k+1) - 3f(k-1))/2$$

\Rightarrow

$$\Rightarrow b = f(k) - f(k-1) - a \Rightarrow b = (f(k+1) - 2f(k) + f(k-1))/2$$

Se derivează (4.10) și se obține:

$$f'(u) = a + 2b(u - u_{k-1})$$

$$\Rightarrow f'(k) = a + 2b$$

$$\Rightarrow f'(k) = (4f(k) - f(k+1) - 3f(k-1) + 2f(k+1) - 4f(k) + 2f(k-1))/2$$

$$\Rightarrow f'(k) = [f(k+1) - f(k-1)]/2$$

Se determină derivata de ordinul 2:

$$f''(k) = 2b$$

$$\Rightarrow f''(k) = f(k+1) - 2f(k) + f(k-1)$$

Relațiile obținute pentru polinomul ce trece prin 3 puncte sunt chiar cele date de formulele (4.8) și (4.9).

4.2.3. Diferența finită centrală a unui polinom ce trece prin 5 puncte

Micula a demonstrat că pentru condiții mai tari de continuitate se îmbunătățesc proprietățile de convergență ale funcției spline de interpolare [60]. Se consideră $f \in C^4[a, b]$ o funcție polinomială continuă și cu derivatele până la ordinul 4 continue. Funcția poate fi descrisă prin polinomul:

$$f(u) = a + bu + du^2 + eu^3 + gu^4 \quad (4.13)$$

Această funcție este polinomială pe porțiuni, așa că poate fi analizată pe intervale scurte. Se evaluează valorile funcției și ale derivatelor sale de ordinul 1 și 2 în intervalul $[0; 4]$.

Parametrii polinomului sunt:

$$\begin{cases} a = f(0) \\ b = (-25f(0) + 48f(1) - 36f(2) + 16f(3) - 3f(4))/12 \\ d = (35f(0) - 104f(1) + 114f(2) - 56f(3) + 11f(4))/24 \\ e = (-5f(0) + 18f(1) - 24f(2) + 14f(3) - 3f(4))/12 \\ g = (f(0) - 4f(1) + 6f(2) - 4f(3) + f(4))/24 \end{cases}$$

Derivata de ordinul 1 a polinomului este:

$$\begin{aligned} f'(u) &= b + 2du + 3eu^2 + 4gu^3 \\ \Rightarrow f'(1) &= \frac{-3f(0) - 10f(1) + 18f(2) + f(4)}{12} \end{aligned} \quad (4.14)$$

Se calculează și derivata a doua:

$$\begin{aligned} f''(u) &= 2d + 6eu + 12gu^2 \\ \Rightarrow f''(2) &= \frac{-(f(0) + f(4)) + 16(f(1) + f(3)) - 30f(2)}{12} \end{aligned} \quad (4.15)$$

Determinarea valorilor pentru $f'(1)$ și $f''(2)$ interesează pentru calcularea valorilor inițiale în subcapitolul 4.4 [90, 91].

În mod analog se poate evalua polinomul pe un interval oarecare de 5 puncte centrat în punctul k : $[k-2, k-1, k, k+1, k+2]$. Pentru diferențele finite centrale de ordinul 1 și 2 se obțin formulele [53, 90]:

$$f'(k) = \frac{f(k-2) - 8f(k-1) + 8f(k+1) - f(k+2)}{12} \quad (4.16)$$

$$f''(k) = \frac{-(f(k-2) + f(k+2)) + 16(f(k-1) + f(k+1)) - 30f(k)}{12} \quad (4.17)$$

Au fost prezentate 3 metode ce permit calcularea valorilor derivatelor de ordinul 1 și 2 ale funcției în raport cu valorile funcției în noduri. Deoarece funcția $f(u)$ ia valorile semnalului de intrare în noduri, derivatele se pot calcula astfel doar pe baza eșantioanelor din șirul de intrare $\{y(k)\}$.

4.3. Relațiile dintre coeficienți, funcție și derivatele sale

Se pornește de la presupunerea că semnalul de intrare este aproximat printr-o funcție spline cubică $f(x)$. Aceasta este o funcție polinomială de gradul 3 pe porțiuni. Atât funcția, cât și derivatele sale de ordinul 1 și 2, sunt continue în noduri. Nodurile acestei funcții sunt reprezentate chiar de punctele k în care sunt date valorile eșantioanelor de intrare $\{y(k)\}$, cu $k=0,1, \dots, N-1$.

Funcția poate fi caracterizată prin coeficienții B-spline astfel:

$$f(x) = \sum_{l \in Z} c(l) \beta^3(x-l) \Big|_{x=k} = y(k) \quad (4.18)$$

Dat fiind faptul că se lucrează cu semnale în timp discret, se va utiliza funcția B-spline discretă $b^3(k)$ dată de relația (3.70). Pentru funcții spline cubice, coeficienții sunt obținuți prin filtrare, operație prezentată în figura (3.6) și descrisă de ecuația (3.45). În continuare se caută determinarea relațiilor între coeficienți, valorile funcției și ale derivatelor sale de ordinul 1 și 2. Noul șir de coeficienți se va nota cu $c_s(k)$.

În fiecare nod k se poate scrie relația între funcția spline cubică și coeficienții săi B-spline [91]:

$$6f(k) = 4c_s(k) + c_s(k-1) + c_s(k+1) \quad (4.19)$$

Datorită proprietăților funcțiilor B-spline la derivare (3.30), pentru derivatele de ordinul întâi și doi se pot scrie relațiile:

$$f'(k) = (b^{3'}) * c_s(k) \quad (4.20)$$

$$f''(k) = (b^{3''}) * c_s(k) \quad (4.21)$$

Valorile derivatelor funcției B-spline discrete se determină din relațiile (3.34) și (3.35). Relațiile între derivatele funcției $f(k)$ și coeficienți sunt:

$$f'(k) = 0c_s(k) - \frac{1}{2}c_s(k-1) + \frac{1}{2}c_s(k+1)$$

$$\Rightarrow 2f'(k) = c_s(k+1) - c_s(k-1) \quad (4.22)$$

$$\Rightarrow c_s(k+1) = 2f'(k) + c_s(k-1) \quad (4.23)$$

Pentru a stabili o nouă procedură de calcul a coeficienților pe baza relației (4.23) este nevoie și de precizarea unor condiții inițiale. Înainte de a vedea cum se pot determina primele valori ale șirului de coeficienți, se evaluează și derivata de ordinul 2 a funcției B-spline cubică. Se poate scrie:

$$f''(k) = -2c_S(k) + c_S(k-1) + c_S(k+1) \quad (4.24)$$

Din relațiile (4.24) și (4.19) se obține:

$$c_S(k) = f(k) - \frac{f''(k)}{6} \quad (4.25)$$

Pentru stabilirea primelor valori ale coeficienților, inițializarea șirului nu se poate face în punctul $k=0$ deoarece nu avem informații privind valorile funcției de intrare înainte de acest punct sau caracteristici ale acestei funcții. Se evaluează relațiile (4.22), (4.24) și (4.19) în punctul $k=2$:

$$\begin{aligned} 2f'(2) &= c_S(3) - c_S(1) \\ f''(2) &= -2c_S(2) + c_S(1) + c_S(3) \Rightarrow c_S(1) + c_S(3) = f''(2) + 2c_S(2) \\ 6f(2) &= 4c_S(2) + c_S(1) + c_S(3) = 4c_S(2) + f''(2) + 2c_S(2) = 6c_S(2) + f''(2) \\ \Rightarrow c_S(2) &= f(2) - \frac{f''(2)}{6} \end{aligned} \quad (4.26)$$

În mod similar, pentru $k=1$ se poate scrie:

$$\begin{aligned} 2f'(1) &= c_S(2) - c_S(0) \\ \Rightarrow c_S(0) &= c_S(2) - 2f'(1) \end{aligned} \quad (4.27)$$

$$\begin{aligned} 6f(1) &= 4c_S(1) + c_S(0) + c_S(2) \\ \Rightarrow c_S(1) &= \frac{6f(1) - c_S(0) - c_S(2)}{4} \end{aligned} \quad (4.28)$$

Am arătat că se pot calcula primii trei coeficienți făcând inițializarea în punctul 2. Coeficienții $c_S(2)$, $c_S(0)$ și $c_S(1)$, se calculează pe baza relațiilor (4.26), (4.27) și (4.28) utilizând valorile funcției și ale derivatelor sale în punctele respective [91]. Valorile derivatelor în aceste puncte se vor determina cu una dintre metodele descrise în subcapitolul 4.2.

Pentru exemplificare s-au determinat primii 3 coeficienți pentru un semnal $y(k) = \sin(2\pi k/M)$ unde $M=12$, apoi $M=120$. În formulele (4.26) și (4.27) s-au utilizat derivatele unui polinom ce trece prin 5 puncte. Coeficienții au fost comparați cu valorile obținute la ieșirea filtrului B-spline direct propus de M. Unser în 2 cazuri: $k_0=7$ și $k_0 \rightarrow \infty$ [91]. Pentru $k_0 \rightarrow \infty$ s-a calculat $c^+(0)$ din formula (3.64) pentru

semnalul obținut prin oglindire la ambele capete cu un număr de termeni egal cu o perioadă din semnal. Acest tip de oglindire duce la apariția de discontinuități pentru semnalele impare, așa cum este sinus. Rezultatele sunt prezentate în tabelul 4.1.

Tabelul 4.1. Valorile primilor 3 coeficienți pentru $y(k)=\sin(2\pi k/M)$

M	k	$c(k)$		$c_s(k)$
12	0	$k_0=7$	$-3,0213 \cdot 10^{-1}$	$-3,5163 \cdot 10^{-3}$
		$k_0 \rightarrow \infty$	0	
	1	$k_0=7$	$6,0433 \cdot 10^{-1}$	$5,2448 \cdot 10^{-1}$
		$k_0 \rightarrow \infty$	$5,2337 \cdot 10^{-1}$	
	2	$k_0=7$	$8,8481 \cdot 10^{-1}$	$9,0556 \cdot 10^{-1}$
		$k_0 \rightarrow \infty$	$9,0650 \cdot 10^{-1}$	
120	0	$k_0=7$	$-3,0244 \cdot 10^{-2}$	0
		$k_0 \rightarrow \infty$	0	
	1	$k_0=7$	$6,0463 \cdot 10^{-2}$	$5,2359 \cdot 10^{-2}$
		$k_0 \rightarrow \infty$	$5,2359 \cdot 10^{-2}$	
	2	$k_0=7$	$1,0240 \cdot 10^{-1}$	$1,0457 \cdot 10^{-1}$
		$k_0 \rightarrow \infty$	$1,0457 \cdot 10^{-1}$	

După cum se poate vedea, noile valori sunt mult mai apropiate de cele calculate pentru cazul ideal în care $k_0 \rightarrow \infty$. Cu noua modalitate de determinare a coeficienților inițiali se elimină inconvenientele datorate prelungirii semnalului prin oglindire.

Anterior s-a descris o modalitate de determinare a condițiilor inițiale pentru calcularea coeficienților. În continuare se vor prezenta mai multe metode de calcul al șirului de coeficienți, utilizând aceste prime valori.

4.4. Algoritmul zero (neconvergent)

După determinarea valorilor inițiale ale coeficienților $c_s(0)$, $c_s(1)$ și $c_s(2)$ trebuie stabilită modalitatea de calcul pentru ceilalți coeficienți. Pornim de la reprezentarea filtrului B-spline direct (3.57). M. Unser propune implementarea acestui filtru prin cascada a 2 filtre [100]: unul cauzal și cel de-al doilea anticauzal.

Autoarea acestei teze propune următoarea abordare: nu se descompune sistemul în 2 filtre, ci este reprezentat printr-unul singur, a cărui funcție de transfer este:

$$H_0(z) = \frac{6}{z + 4 + z^{-1}} = \frac{6z}{z^2 + 4z + 1} \quad (4.29)$$

Coeficienții determinați cu noul algoritm vor fi notați cu $c_0(k)$. În acest caz se poate scrie:

$$6y(k) = 4c_0(k) + c_0(k-1) + c_0(k+1) \quad (4.30)$$

De aici se determină:

$$c_0(k+1) = 6y(k) - 4c_0(k) - c_0(k-1) \quad (4.31)$$

Pentru orice semnal dat prin eșantioanele $\{y(k)\}$, cu $k=0, 1, \dots, N-1$, algoritmul de interpolare, denumit în continuare *algoritmul zero*, presupune parcurgerea următorilor pași:

- se determină valorile $c_0(2)$, $c_0(0)$ și $c_0(1)$ din formulele (4.26), (4.27) și (4.28), în care derivatele sunt approximate printr-una din metodele prezentate în subcapitolul 4.3;
- pentru $k=2, 3, \dots, N-1$, se calculează coeficienții $c_0(k)$ cu relația (4.31);
- pentru reconstrucția semnalului $y_r(k)$ se aplică filtrul B-spline indirect $B_1^3(z)$ (conform schemei din figura 4.1);
- pentru interpolarea semnalului cu un factor m se realizează mai întâi supraeșantionarea șirului de coeficienți $c_{0m}(l)$ conform relației (3.48), unde $l=0, 1, \dots, (Nm-1)$;
- semnalul interpolat $y_i(k)$ este obținut la ieșirea filtrului B-spline indirect $B_m^3(z)$.

Procesul de interpolare este redat schematic în figura 4.2, unde operația de prefiltrare este realizată cu ajutorul filtrului care are funcția de transfer $H_0(z)$ (4.29).

De exemplu, având valorile pentru primii 3 coeficienți: $c_0(0)$, $c_0(1)$ și $c_0(2)$, putem calcula în continuare elementele șirului $c_0(k)$ [89]:

$$c_0(3) = 6y(2) - 4c_0(2) - c_0(1)$$

$$\begin{aligned} c_0(4) &= 6y(3) - 4c_0(3) - c_0(2) = 6y(3) - 4(6y(2) - 4c_0(2) - c_0(1)) - c_0(2) = \\ &= 6y(3) - 24y(2) + 15c_0(2) + 4c_0(1) \end{aligned}$$

$$\begin{aligned} c_0(5) &= 6y(4) - 4c_0(4) - c_0(3) = 6y(4) - 4(6y(3) - 24y(2) + 15c_0(2) + \\ &+ 4c_0(1)) - 6y(2) - 4c_0(2) - c_0(1) = 6y(4) - 24y(3) + 90y(2) - \\ &- 56c_0(2) - 15c_0(1) \end{aligned}$$

Teoretic, dacă se continuă în acest mod, se observă că orice coeficient poate fi calculat pe baza eșantioanelor semnalului de intrare și a coeficienților $c_0(1)$ și $c_0(2)$ [89]. Practic, fiecare coeficient $c_0(k)$ cu $k > 2$ se determină pe baza celor 2 coeficienți anteriori $c_0(k-1)$ și $c_0(k-2)$, și a eșantionului anterior de la intrare $y(k-1)$. Astfel, erorile de determinare a fiecărui coeficient se propagă în șir, influențând valorile următoare.

Presupunem că determinarea coeficienților $c_0(1)$ și $c_0(2)$ se face cu erorile absolute $e(1)$ și $e(2)$. La adunare sau scădere, eroarea absolută maximă a rezultatului e dată de suma erorilor absolute maxime ale termenilor [94]. La determinarea coeficientului următor $c_0(3)$ se poate scrie:

$$c_0(3) \pm e(3) = 6y(2) - 4[c_0(2) \pm e(2)] - [c_0(1) \pm e(1)]$$

$$\Rightarrow e(3) \approx \pm[4e(2) + e(1)]$$

Calculând mai departe, se obține:

$$e(4) \approx \pm[4e(3) + e(2)]$$

Se poate spune că pentru orice coeficient $c_s(k)$ avem:

$$e(k) \approx \pm[4e(k-1) + e(k-2)] \quad (4.32)$$

După cum se poate observa, la determinarea unui nou coeficient, eroarea absolută poate să crească de aproximativ 4 ori față de eroarea coeficientului anterior. Astfel, după un anumit număr de iterații, valorile coeficienților pot să crească foarte mult, fiind însoțite de erori considerabile.

Algoritmul a fost implementat în *Matlab* și testat pe mai multe tipuri de semnale (sinus, cosinus, dreaptă). Pentru un șir de eșantioane de intrare $\{y(k)\}$, cu $k=0, 1, \dots, N-1$, s-a determinat șirul coeficienților $\{c_s(k)\}$, apoi s-a reconstruit semnalul $\{y_r(k)\}$. Semnalul reconstruit a fost comparat cu cel de la intrare, fiind calculată eroarea de reconstrucție. Programul, împreună cu câteva rezultate, se găsesc în *Anexa 2*.

Ca exemplu se iau $y(k)=\sin(2\pi k/M)$, unde $M=120$, $N=361$, și $k=0, 1, \dots, N-1$. S-a observat că pentru primele 20-30 puncte coeficienții calculați cu noua metodă au valori apropiate de cele ale coeficienților calculați cu algoritmul lui M. Unser. După aceea, valorile cresc foarte mult, ducând la creșterea erorii de reconstrucție a semnalului. În figura 4.3 sunt prezentate partea de început a semnalului reconstruit (4.3.a) și o secvență din eroarea de reconstrucție (4.3.b)).

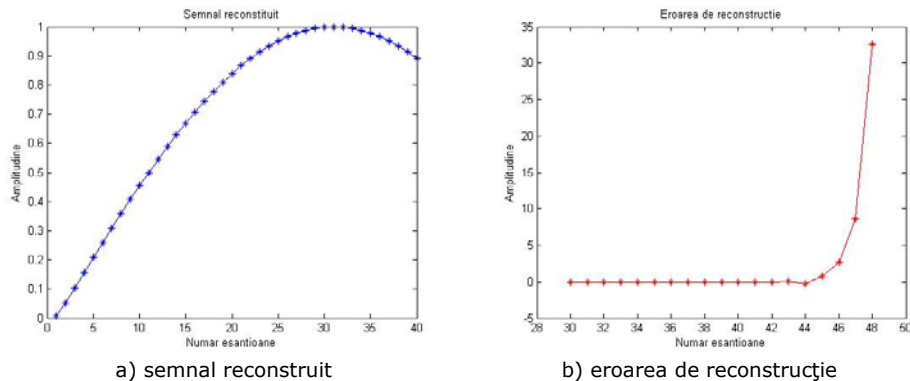


Fig. 4.3. Rezultate pentru reconstrucția semnalului sinusoidal cu *algoritmul zero*.

Rezultate similare s-au obținut și pentru semnalul $y(k)=\cos(2\pi k/M)$, cu aceleași valori pentru $M=120$ și $N=361$. Apoi s-au folosit aceleași semnale, dar cu eșantioane corespunzătoare unei perioade de eșantionare de 10 ori mai mare ($M=12$). Erorile sunt neglijabile pentru primele aproximativ 10 eșantioane, apoi cresc considerabil cu fiecare iterație [89].

Studiind rezultatele, s-au formulat următoarele observații:

- la începutul șirului, pentru un anumit număr de puncte, valorile coeficienților sunt apropiate de cele calculate cu algoritmul Unser;

- erorile cresc foarte mult apoi devin din ce în ce mai mari cu fiecare iterație;
- erorile cresc mai repede dacă perioada de eșantionare a semnalului este mai mare.

Relația de calcul a coeficienților poate fi folosită sub această formă dacă, după un anumit număr de iterații, se face reinițializarea șirului.

Algoritmul a fost aplicat și unui semnal care nu prezintă variații, semnal constant (eșantioane corespunzătoare unei drepte). Rezultatele nu sunt afectate major de propagarea erorilor, așa cum se întâmplă pentru semnale care prezintă variații (precum sinus și cosinus).

Algoritmul, implementat în această formă, este divergent. Acest lucru poate fi demonstrat și din analiza proprietăților sistemului folosit pentru prefiltrare.

Șirul eșantioanelor $\{y(k)\}$ este adus la intrarea unui filtru numeric cu funcția de transfer $H_0(z)$ dată de (4.29), obținând la ieșire șirul coeficienților. $H_0(z)$ este un filtru cu răspuns infinit la impuls, ce poate fi scris și sub forma:

$$H_0(z) = \frac{6z}{z^2 + 4z + 1} = \frac{6(z - z_0)}{(z - z_{p1})(z - z_{p2})} \quad (4.33)$$

Elementele z_{p1} și z_{p2} reprezintă polii sistemului. Valorile acestora trebuie să fie în interiorul cercului unitate pentru ca sistemul cauzal să fie stabil [64, 86]:

$$|z_{pi}| < 1 \quad \text{pentru } i=1;2.$$

În cazul analizat: $z_{p1} \approx -0,27$ și $z_{p2} \approx -3,73$, deci sistemul este instabil. Pentru rezolvarea acestei probleme, M. Unser realizează descompunerea sistemului în 2 filtre: unul cauzal și unul anticauzal [100, 108, 112].

Concluzii:

- Operațiile de interpolare se fac de obicei pe seturi de date de lungime mare. Algoritmul zero nu poate fi aplicat în aceste cazuri.
- Tehnica poate fi utilizată cu succes pentru șiruri scurte, de maximum 10-15 eșantioane, în funcție și de frecvența de eșantionare.
- Se poate folosi ca metodă adițională la alți algoritmi pentru a îmbunătăți rezultatele.

4.5. Algoritmi care utilizează derivata 1

4.5.1. Considerații generale

Metoda clasică de interpolare cu funcții spline utilizează și derivatele semnalului în punctele de interpolare [60]. Se va folosi derivarea numerică și în stabilirea unor noi algoritmi pentru determinarea coeficienților B-spline. Interpolarea devine de tip Hermite prin faptul că se impun de la început valori ale derivatelor funcției în noduri [60, 63].

Plecând de la proprietățile funcției B-spline cubică și ale derivatelor sale, în subcapitolul 4.3 s-a determinat o relație (4.23) între coeficienți și valorile derivatei de ordinul 1. În orice punct k se poate determina valoarea coeficientului pe baza

coeficientului calculat în punctul $k-2$ și a valorii derivatei de ordinul 1 aproximată în punctul $k-1$:

$$c_s(k) = 2f'(k-1) + c_s(k-2) \quad (4.34)$$

Pentru inițializarea șirului de coeficienți, valorile $c_s(0)$, $c_s(1)$ și $c_s(2)$ vor fi calculate pe baza formulelor (4.26), (4.27) și (4.28) din subcapitolul 4.2.

Mai departe se vor prezenta 3 algoritmi originali în care, pentru determinarea valorilor derivatelor în noduri, se utilizează fiecare din metodele de derivare numerică prezentate în subcapitolul 4.2.

4.5.2. Algoritmul 1A

Pentru determinarea valorilor $f'(u)$ se utilizează definiția clasică a diferenței finite [45, 93], prezentată în subcapitolul 4.2.1. Funcția $f(u)$ aproximează semnalul de intrare și în orice punct k : $f(k)=y(k)$. Coeficienții determinați în acest caz vor fi notați cu $c_{1A}(k)$. În aceste condiții, relația (4.34) devine:

$$c_{1A}(k) = 2[y(k) - y(k-1)] + c_{1A}(k-2) \quad (4.35)$$

Aceasta mai poate fi scrisă și sub forma:

$$\begin{aligned} c_{1A}(k+1) - c_{1A}(k-1) &= 2[y(k+1) - y(k)] \\ \Rightarrow H_{1A}(z) &= \frac{2(z-1)}{z-z^{-1}} \end{aligned} \quad (4.36)$$

Condițiile inițiale se calculează utilizând aceleași formule pentru diferențele finite:

$$c_{1A}(2) = f(2) - \frac{f''(2)}{6} = y(2) - \frac{y(4) - 2y(3) + y(2)}{6} \quad (4.37)$$

$$c_{1A}(0) = c_{1A}(2) - 2f'(1) = c_{1A}(2) - 2[y(2) - y(1)] \quad (4.38)$$

$$c_{1A}(1) = \frac{6y(1) - c_{1A}(0) - c_{1A}(2)}{4} \quad (4.39)$$

Algoritmul 1A presupune parcurgerea următorilor pași:

- din eșantioanele semnalului de intrare $\{y(k)\}$, cu $k=0, 1, \dots, N-1$, se determină $c_{1A}(2)$, $c_{1A}(0)$ și $c_{1A}(1)$ cu formulele (4.37), (4.38) și (4.39);
- pentru $k>2$ se calculează fiecare coeficient $c_{1A}(k)$ cu relația (4.35);
- pentru reconstrucția semnalului $\{y_r(k)\}$, șirului de coeficienți $\{c_{1A}(k)\}$ i se aplică filtrul B-spline indirect $B_1^3(z)$;

- pentru interpolarea semnalului $\{y_i(k)\}$ cu un factor m se face supraeșantionarea șirului de coeficienți $c_{1Am}(i)$ (3.48), care apoi se aduce la intrarea filtrului B-spline indirect $B_m^3(z)$.

Pentru partea de prefiltrare, sistemul are funcția de transfer dată de (4.36) și reprezintă un filtru cu răspuns infinit la impuls (IIR). Polii sistemului se regăsesc pe cercul unitate, fapt ce poate duce la apariția de oscilații [64, 86].

4.5.3. Algoritmul 1D

Încă de la început s-a considerat că eșantioanele $\{y(k)\}$ pentru care se face interpolarea au fost obținute prin eșantionarea uniformă a unui semnal. Astfel, datele de intrare sunt echidistante și cu spațiere unitară. În acest caz, pentru derivarea numerică se pot utiliza și definițiile (4.6) și (4.7) propuse de O. Stănășilă [87], atât pentru formula recursivă de calcul a coeficienților, cât și pentru determinarea valorilor inițiale ale șirului. Coeficienții determinați în acest mod vor fi notați cu $c_{1D}(k)$.

Algoritmul 1D permite calcularea coeficienților $\{c_{1D}(k)\}$ și a semnalelor reconstruit $\{y_r(k)\}$, respectiv interpolat $\{y_i(k)\}$ prin parcurgerea următorilor pași:

- determinarea valorilor primilor 3 coeficienți:

$$c_{1D}(2) = f(2) - \frac{f'(2)}{6} = y(2) - \frac{y(3) - 2y(2) + y(1)}{6} \quad (4.40)$$

$$c_{1D}(0) = c_{1D}(2) - 2f'(1) = c_{1D}(2) - y(2) + y(0) \quad (4.41)$$

$$c_{1D}(1) = \frac{6y(1) - c_{1D}(0) - c_{1D}(2)}{4} \quad (4.42)$$

- fiecare coeficient $c_{1D}(k)$, pentru $k > 2$ se calculează cu relația:

$$c_{1D}(k) = y(k) - y(k-2) + c_{1D}(k-2) \quad (4.43)$$

- pentru reconstrucția semnalului, șirului de coeficienți $\{c_{1D}(k)\}$ i se aplică filtrul B-spline indirect $B_1^3(z)$;
- pentru interpolarea semnalului cu un factor m se face supraeșantionarea șirului de coeficienți $c_{1Dm}(i)$, care apoi se aduce la intrarea filtrului B-spline indirect $B_m^3(z)$.

Relația (4.43) mai poate fi scrisă și sub forma:

$$c_{1D}(k+1) - c_{1D}(k-1) = y(k+1) - y(k-1) \quad (4.44)$$

Pe baza relației (4.44) se poate spune că diferența între oricare 2 coeficienți $c_{1D}(k+h)$ și $c_{1D}(k)$ depinde doar de valorile eșantioanelor în punctele $k+h$ și k [90]. Această diferență nu depinde de forma funcției între cele 2 puncte. De aici rezultă funcția de transfer a filtrului la ieșirea căruia obținem coeficienții:

$$H_{1D}(z) = \frac{z - z^{-1}}{z - z^{-1}} \quad (4.45)$$

Acesta reprezintă de asemenea un filtru cu răspuns infinit la impuls (IIR), cu poli pe cercul unitate.

4.5.4. Algoritmul 1P

Pentru determinarea valorilor derivatelor în noduri se pot utiliza formulele deduse în subcapitolul 4.2.3., dacă pentru funcția de interpolare se impun condiții mai tari de continuitate $f \in C^4$ [60].

De această dată coeficienții vor fi notați cu $c_{1P}(k)$.

Algoritmul 1P devine:

- determinarea valorilor primilor 3 coeficienți:

$$\begin{aligned} c_{1P}(2) &= y(2) - \frac{-(y(0) + y(4)) + 16(y(1) + y(3)) - 30y(2)}{72} = \\ &= \frac{(y(0) + y(4)) - 16(y(1) + y(3)) + 54y(2)}{72} \end{aligned} \quad (4.46)$$

$$c_{1P}(0) = c_{1P}(2) - \frac{-3y(0) - 10y(1) + 18y(2) + y(4)}{12} \quad (4.47)$$

$$c_{1P}(1) = \frac{6y(1) - c_{1C}(0) - c_{1C}(2)}{4} \quad (4.48)$$

- restul de coeficienți $c_{1P}(k)$, de la $k=2$ până la $k=N-1$, se calculează cu relația:

$$c_{1P}(k) = \frac{y(k-3) - 8y(k-2) + 8y(k) - y(k+1)}{6} + c_{1P}(k-2) \quad (4.49)$$

- pentru reconstrucția semnalului, șirului de coeficienți $\{c_{1P}(k)\}$ i se aplică filtrul B-spline indirect $B_1^3(z)$;
- pentru interpolarea semnalului cu un factor m se face suprașantionarea șirului de coeficienți $c_{1Pm}(l)$, care apoi se aduce la intrarea filtrului B-spline indirect $B_m^3(z)$.

Relația (4.49) mai poate fi scrisă și sub forma [90]:

$$c_{1P}(k+1) - c_{1P}(k-1) = [y(k-2) - 8y(k-1) + 8y(k+1) - y(k+2)]/6 \quad (4.50)$$

De aici rezultă funcția de transfer a sistemului ce realizează prefiltrarea ca fiind cea din relația (4.51). Sistemul reprezintă de asemenea un filtru cu răspuns infinit la impuls, care are poli pe cercul unitate.

$$H_{1P}(z) = \frac{(z^{-2} - z^2) - 8(z^{-1} + z^1)}{6(z - z^{-1})} \quad (4.51)$$

În continuare se va demonstra convergența acestei metode de calcul al coeficienților. Se consideră un număr finit de iterații succesive [90]. Se pot scrie următoarele relații:

$$c_{1P}(3) - c_{1P}(1) = [y(0) - 8y(1) + 8y(3) - y(4)]/6$$

$$c_{1P}(5) - c_{1P}(3) = [y(2) - 8y(3) + 8y(5) - y(6)]/6$$

$$c_{1P}(7) - c_{1P}(5) = [y(4) - 8y(5) + 8y(7) - y(8)]/6$$

$$\dots$$

$$c_{1C}(k) - c_{1C}(k-2) = [y(k-3) - 8y(k-2) + 8y(k) - y(k+1)]/6$$

Dacă se adună relațiile din șirul de mai sus, se observă că toți termenii intermediari se reduc:

$$\Rightarrow c_{1P}(k) - c_{1P}(1) = [8y(k) - y(k-1) - y(k+1) + 8y(1) + y(0) + y(2)]/6$$

Au fost luați în considerare doar coeficienții de indice impar. În general, pentru orice valoare a lui k număr impar, ecuația poate fi reformulată astfel:

$$c_{1P}(k) - c_{1P}(1) = \{y(k) - [y(k+1) - 2y(k) + y(k-1)]/6\} - \{y(1) - [y(2) - 2y(1) + y(0)]/6\} \quad (4.52)$$

Orice diferență $c_{1P}(k) - c_{1P}(1)$, pentru k impar, nu depinde de valori intermediare, ci doar de eșantioanele $y(k)$, $y(1)$ și cele din vecinătatea lor. Valorile acestor coeficienți nu sunt influențate de eșantioane intermediare. Aceasta înseamnă că funcția poate fi arbitrară între punctele $(k-1)$ și 2 .

Același raționament se poate face și pentru coeficienții pari, dacă ne raportăm la $c_{1P}(2)$ în loc de $c_{1P}(1)$. Rezultatul este similar. În acest caz, metoda poate fi generalizată și utilizată atât pentru funcții continue, cât și pentru semnale cu discontinuități [90].

Se observă că expresia în paranteze drepte din relația (4.52) reprezintă valorile derivatelor numerice de ordinul 2 în punctele k și respectiv 1 calculate după definiția lui O. Stănășilă [87].

4.5.5. Rezultate experimentale comparate

Cei 3 algoritmi prezentați mai sus au fost utilizați pe rând pentru a realiza operația de prefiltrare din procesul de interpolare generalizată, reconstrucția semnalului (figura 4.1) și interpolarea cu un factor $m=2$ (figura 4.2). Au fost implementați prin programe în *Matlab*. Secvențele de program prin care se determină coeficienții și câteva rezultate semnificative se regăsesc în Anexa 3.

În continuare vor fi prezentate câteva exemple care duc la stabilirea unor concluzii. Valorile din șirul de intrare $\{y(k)\}$, cu $k=0, 1, \dots, N-1$ au fost obținute prin eșantionarea semnalelor $\sin(2\pi f_s t)$ și $\cos(2\pi f_s t)$ cu o frecvență de eșantionare f_e astfel încât $f_e = M f_s$ (unde f_s este frecvența semnalelor).

Prima dată s-a luat cazul unor semnale sinus și cosinus cu $M=12$ eșantioane pe perioadă și s-au calculat coeficienții cu *algoritmul 1A*. Majoritatea valorilor interpolate s-au obținut cu erori de ordinul 10^{-1} . Pentru aceleași semnale s-au determinat coeficienții utilizând *algoritmii 1D și 1P*, apoi s-a efectuat interpolarea cu $m=2$. Erorile de interpolare sunt de ordinul 10^{-2} , respectiv 10^{-3} [90].

Dacă mărim frecvența de eșantionare (de exemplu $M=120$), diferențele sunt semnificative între erorile de interpolare date de cele 3 metode. Erorile sunt de ordinul 10^{-3} la utilizarea filtrului $H_{1A}(z)$, 10^{-4} pentru $H_{1D}(z)$ și 10^{-7} dacă prefiltrarea se face cu $H_{1P}(z)$.

În tabelul 4.2. sunt prezentate valori ale erorilor de interpolare în câteva puncte α de pe forma de undă pentru semnalul $y(k)=\cos(2\pi k/M)$, cu $M=12$, respectiv 120.

Tabelul 4.2. Erori de interpolare pentru $y(k)=\cos(2\pi k/M)$, prefiltrare cu $H_{1A}(z)$, $H_{1D}(z)$, și $H_{1P}(z)$

α	M	$H_{1A}(z)$	$H_{1D}(z)$	$H_{1P}(z)$
$\pi/3$	12	$-5,50 \cdot 10^{-2}$	$-8,17 \cdot 10^{-3}$	$2,49 \cdot 10^{-4}$
	120	$-6,83 \cdot 10^{-4}$	$-2,26 \cdot 10^{-4}$	$5 \cdot 10^{-8}$
$\pi/2$	12	$-3,86 \cdot 10^{-2}$	$-3,86 \cdot 10^{-2}$	$-9,97 \cdot 10^{-4}$
	120	$-9,12 \cdot 10^{-4}$	$-4,55 \cdot 10^{-4}$	$-1,5 \cdot 10^{-7}$
π	12	$-1,22 \cdot 10^{-1}$	$-6,63 \cdot 10^{-2}$	$-2,7 \cdot 10^{-3}$
	120	$-1,36 \cdot 10^{-3}$	$-9,12 \cdot 10^{-4}$	$-4 \cdot 10^{-7}$

Erorile de interpolare obținute pentru cel de-al doilea filtru $H_{1D}(z)$ pot fi considerate acceptabile pentru o serie de aplicații. Algoritmul este simplu și necesită efectuarea unui număr relativ mic de operații. Rezultate mai bune se obțin în cazul în care se utilizează diferența finită centrală a unui polinom ce trece prin 5 puncte $H_{1P}(z)$. Dezavantajul este că în această situație crește numărul de operații efectuate [90]. Scăderea erorilor este posibilă prin mărirea volumului de calcule realizate.

Și în cazul acestor noi algoritmi apar erori la capete datorate atât modului în care se determină valorile coeficienților, cât și metodei de determinare a eșantioanelor interpolate la capete.

Noii algoritmi au fost testați și pe semnale care prezintă discontinuități. Astfel, s-au adus la intrare eșantioanele unui semnal triunghiular, apoi ale unui semnal treaptă unitate.

În figura 4.4 sunt prezentate semnalul triunghiular cu 16 eșantioane pe perioadă a), respectiv semnalul treaptă b), pe care sunt evidențiate punctele în care s-au prelevat eșantioanele de intrare. Pentru fiecare semnal s-au determinat coeficienții cu ajutorul filtrului $H_{1D}(z)$, respectiv cu filtrul B-spline direct $[B_1^3(z)]^{-1}$

folosit de M. Unser, apoi s-au calculat eșantioanele semnalelor interpolate cu factor $m=2$. Erorile de interpolare sunt redată în figura 4.5. Nu se iau în discuție erorile la capete, care apar în toate cazurile. Erori mari apar în punctele de discontinuitate și în punctele vecine acestora [52]. În toate celelalte puncte erorile de interpolare sunt

ne semnificative. Se observă că în cazul utilizării *algoritmului 1D*, erorile sunt mai mari decât cele date de algoritmul Unser. Dar, acestea afectează un număr mai mic de eșantioane din vecinătatea punctelor de discontinuitate.

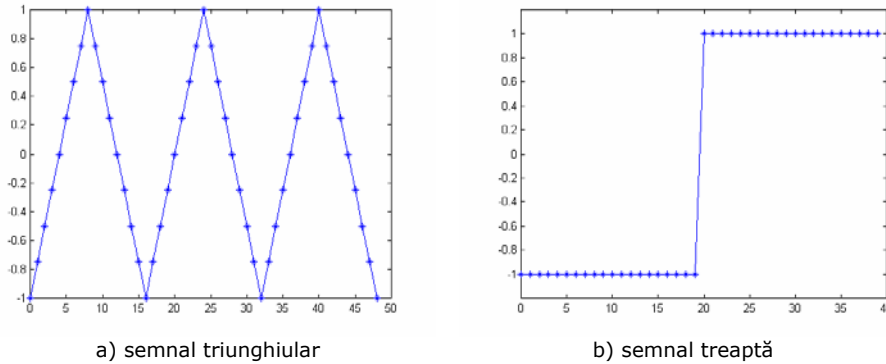
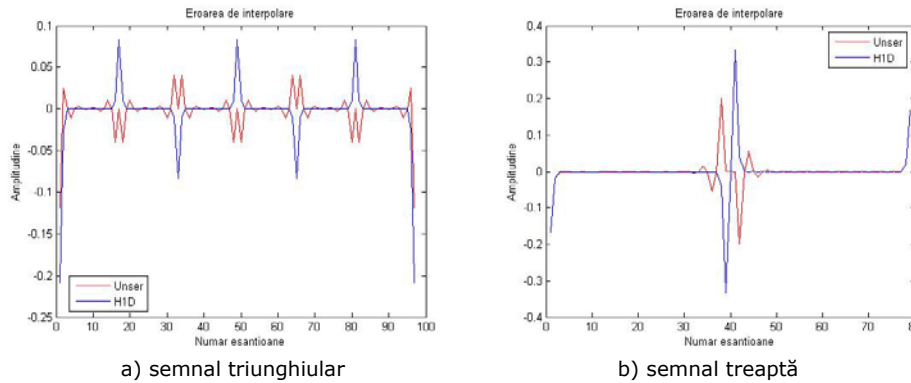


Fig. 4.4. Eșantioanele semnalelor cu discontinuități.

Fig. 4.5. Erorile de interpolare la prefiltrarea cu $H_{1D}(z)$, respectiv cu filtrul B-spline direct.

De exemplu, pentru semnalul treaptă, eroarea absolută maximă (în modul) este $3,33 \cdot 10^{-1}$. Aceasta apare între cele 2 puncte unde semnalul sare de la valoarea -1 la 1. Pentru încă 2 puncte învecinate, erorile (în modul) sunt egale cu $4,16 \cdot 10^{-2}$. La semnalul triunghiular, eroarea absolută maximă este de $8,33 \cdot 10^{-2}$ în punctele de discontinuitate și $1,04 \cdot 10^{-2}$ în vecinătate [52]. În celelalte puncte, erorile de interpolare sunt neglijabile. Toate semnalele pentru care s-au făcut simulări sunt scalate astfel încât valorile lor să se regăsească în intervalul $[-1; 1]$.

Pentru algoritmul Unser, erori apar în mai multe puncte din vecinătatea punctelor de discontinuitate. Oscilațiile care apar în șirul coeficienților determină oscilații semnificative în semnalele interpolate [46, 80].

Valorile erorilor de interpolare scad o dată cu creșterea frecvenței de eșantionare a semnalelor de intrare și în aceste cazuri. De asemenea, coeficienții urmăresc variația semnalului și au valori apropiate de acesta, la fel ca și în cazul algoritmului Unser.

4.6. Algoritmi care utilizează derivata a doua

4.6.1. Considerații generale

S-a arătat în subcapitolul 4.3 care sunt legăturile între coeficienții B-spline și valorile derivatelor de ordinul 1, respectiv ordinul 2 ale funcției B-spline cubică. În orice nod k , coeficientul se poate calcula pe baza valorii funcției în acel punct și a valorii derivatei de ordinul 2 a funcției în același punct:

$$c_S(k) = f(k) - \frac{f''(k)}{6} \quad (4.25)$$

Coeficienții se determină independent, fără a avea nevoie de valori ale altor coeficienți calculați anterior. Astfel, relația de calcul a acestora nu mai este recursivă și permite determinarea locală a fiecăruia. Valorile coeficienților nu sunt influențate de erori de calcul al altor coeficienți, ci doar de erorile de determinare a valorilor derivatei a doua în punctele respective.

În acest caz nu mai este nevoie de inițializarea șirului de coeficienți la fel ca la algoritmi ce utilizează derivata întâi. Totuși, la capete, apar probleme datorate modului în care se calculează valoarea derivatei în aceste puncte. De aceea, acolo unde este necesar, coeficienții vor fi calculați utilizând derivate necentrate. De asemenea, în aceste cazuri se pot utiliza și formulele (4.6), (4.7) și (4.8), ca în cazul algoritmilor prezentați în subcapitolul 4.5. Diferențele între cele 2 cazuri sunt minore și erorile de determinare a coeficienților la capete nu se propagă în restul șirului datorită faptului că fiecare dintre ceilalți coeficienți se calculează independent.

Se observă că în relația (4.25) apare factorul $[f''(k)/6]$, termen ce se regăsește și în soluția matriceală propusă de Gh. Micula pentru determinarea funcției de interpolare spline cubică [60].

Și în această relație, pentru determinarea valorilor derivatei a doua în noduri, se pot utiliza fiecare dintre cele 3 metode de derivare numerică descrise în subcapitolul 4.2. Astfel, se dezvoltă 3 algoritmi de interpolare pentru care diferă doar modul de calcul al coeficienților: *algoritmul 2A*, *algoritmul 2D* și *algoritmul 2P*. Fiecare algoritm în parte presupune:

- determinarea coeficienților $\{c(k)\}$ prin operația de prefiltrare a eșantioanelor semnalului de intrare $\{y(k)\}$, cu $k=0, 1, \dots, N-1$. Funcția de transfer $H_p(z)$ diferă pentru cei 3 algoritmi;
- reconstrucția semnalului $\{y_r(k)\}$ cu ajutorul filtrului B-spline indirect $B_1^3(z)$;
- pentru interpolarea semnalului $\{y_i(k)\}$ cu un factor m se face supraeșantionarea șirului de coeficienți $c_m(i)$ (3.48), care apoi se aduce la intrarea filtrului B-spline indirect $B_m^3(z)$.

În continuare se prezintă modalitatea de determinare a coeficienților pentru fiecare din cei 3 algoritmi.

4.6.2. Algoritmul 2A

Se știe că în noduri (punctele k), funcția $f(k)$ ia valorile eșantioanelor semnalului de intrare $y(k)$. Se utilizează diferențele finite de ordinul 2 pentru a

calcula valorile $f''(k)$ [45, 93]. Noii coeficienți vor fi notați: $c_{2A}(k)$. Relația (4.25) devine:

$$c_{2A}(k) = y(k) - \frac{[y(k+2) - 2y(k+1) + y(k)]/2}{6}$$

$$\Rightarrow c_{2A}(k) = \frac{11y(k) - y(k+2) + 2y(k+1)}{12} \quad (4.53)$$

Funcția de transfer a prefiltrului este [53, 54]:

$$H_{2A}(z) = \frac{11 - (z^2 - 2z^1)}{12} \quad (4.54)$$

Aceasta este funcția de transfer a unui filtru cu răspuns finit la impuls (FIR). Filtrele FIR digitale au avantajul că sunt nerecursive, stabile și foarte simplu de implementat [64, 86].

Aproape toți coeficienții, în afară de ultimii 2, pot fi calculați cu relația (4.53). Pentru ultimii 2 nu avem valorile $y(k+1)$ și $y(k+2)$ ale semnalului de intrare. De aceea, ei vor fi determinați folosind diferențe finite la stânga (regresive).

4.6.3. Algoritmul 2D

În acest caz, folosim definiția (4.7) propusă de O. Stănășilă [87] pentru calculul derivatei de ordinul 2. Notăm coeficienții cu: $c_{2D}(k)$. În fiecare nod se poate scrie:

$$c_{2D}(k) = y(k) - \frac{y(k+1) - 2y(k) + y(k-1)}{6}$$

$$\Rightarrow c_{2D}(k) = \frac{8y(k) - y(k+1) - y(k-1)}{6} \quad (4.55)$$

Cu formula (4.55) nu se pot determina prima și ultima valoare din șirul de coeficienți. Acestea se calculează cu ajutorul derivatelor necentrate de ordinul 2. Astfel:

$$c_{2D}(0) = y(0) - \frac{y(0) - 2y(1) + y(2)}{6}$$

$$c_{2D}(N-1) = y(N-1) - \frac{y(N-3) - 2y(N-2) + y(N-1)}{6}$$

Funcția de transfer a sistemului utilizat pentru prefiltrare este [53, 54]:

$$H_{2D}(z) = \frac{8 - (z + z^{-1})}{6} \quad (4.56)$$

În acest caz funcția descrie un filtru FIR simetric.

4.6.4. Algoritmul 2P

Valorile derivatelor se determină cu ajutorul relației (4.17), care definește diferența finită centrală de ordinul 2 a unui polinom ce trece prin 5 puncte. Pentru coeficienți folosim notația: $c_{2P}(k)$. Relația (4.25) devine:

$$c_{2P}(k) = y(k) - \frac{[-(y(k-2) + y(k+2)) + 16(y(k-1) + y(k+1)) - 30y(k)]/12}{6}$$

$$\Rightarrow c_{2P}(k) = \frac{102y(k) - 16[y(k-1) + y(k+1)] + [y(k-2) + y(k+2)]}{72} \quad (4.57)$$

Primii și ultimii 2 coeficienți din șir se determină cu ajutorul derivatelor de ordinul 2 necentrate.

Funcția de transfer a sistemului de prefiltrare este [53, 54]:

$$H_{2P}(z) = \frac{102 - 16(z + z^{-1}) + (z^2 + z^{-2})}{72} \quad (4.58)$$

Și în acest caz filtrul este cu răspuns finit la impuls, simetric.

Utilizarea filtrelor cu răspuns finit la impuls reprezintă principalul avantaj al acestor 3 algoritmi. Aceste filtre sunt nerecursive, stabile. Fiecare coeficient se calculează doar pe baza valorilor semnalului de intrare, fără a fi utilizați coeficienți determinați anteriori. Astfel se evită propagarea erorilor la calculul coeficienților. Orice oscilație apărută în semnalul de intrare la un moment dat nu se propagă decât pentru un anumit număr finit de termeni (3 sau 5, în funcție de metoda de determinare a valorilor derivatei). Pentru *algoritmul 2D* și *algoritmul 2P*, filtrele sunt simetrice, ceea ce înseamnă că sunt cu fază liniară. Proprietatea de fază liniară presupune că toate componentele spectrale ale semnalului de intrare sunt întârziate la fel. Proprietatea de simetrie permite și reducerea numărului de operații necesare implementării acestor filtre [64, 86].

4.6.5. Rezultate experimentale comparate

Și algoritmi de interpolare care utilizează derivata a doua pentru calculul coeficienților au fost implementați prin programe în *Matlab*. Ca și valori de intrare $\{y(k)\}$, cu $k=0, 1, \dots, N-1$, au fost utilizate de asemenea eșantioanele semnalelor $\sin(2\pi k/M)$ și $\cos(2\pi k/M)$, cu $M=12$, respectiv 120 și N ales astfel încât să corespundă la 3 perioade din semnal. În acest fel se pot face comparații între diverșii algoritmi prezentați. Secvențele de program prin care se determină coeficienții și unele rezultate semnificative sunt redată în *Anexa 4*. Câteva rezultate au fost sintetizate și vor fi prezentate în continuare.

Coeficienții urmăresc variația semnalului de intrare și au valori apropiate de acesta, ca și în celelalte cazuri studiate. La fel ca în celelalte cazuri, erorile la capete sunt mai mari decât erorile pentru restul valorilor interpolate.

Pentru $y(k)=\cos(2\pi k/M)$, cu $M=12$ și $k=0, 1, \dots, 36$ (eșantioane ce corespund la 3 perioade din semnal), s-a realizat interpolarea cu un factor de interpolare $m=2$ utilizând *algoritmul 2A*. Erorile de interpolare sunt prezentate în figura 4.6. Excluzând valorile de la capete, erorile sunt de maxim $2,8 \cdot 10^{-2}$.

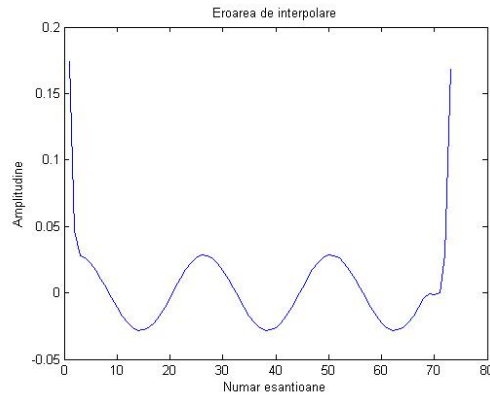


Fig. 4.6. Erori pentru $\cos(2\pi k/12)$ la interpolarea cu *algoritmul 1A*.

Interesează în mod special rezultatele obținute în cazurile în care sunt utilizate $H_{2D}(z)$ și $H_{2P}(z)$, deoarece acestea sunt filtre cu răspuns finit la impuls simetrice. În tabelele 4.3, respectiv 4.4, sunt prezentate rezultatele pentru semnalul sinusoidal, în cazul în care s-a folosit filtrul $H_{2D}(z)$, respectiv $H_{2P}(z)$ [53].

Tabelul 4.3. Rezultate pentru $y(k)=\sin(2\pi k/M)$, prefiltrare cu $H_{2D}(z)$.

α	M	c_{2B}	e_{in}
$\pi/3$	12	0,9047	$3,08 \cdot 10^{-3}$
	120	0,8664	$1,8 \cdot 10^{-7}$
$\pi/2$	12	1,0446	$1,99 \cdot 10^{-3}$
	120	1,0004	$2 \cdot 10^{-7}$
π	12	0	0
	120	0	0

Tabelul 4.4. Rezultate pentru $y(k)=\sin(2\pi k/M)$, prefiltrare cu $H_{2P}(z)$.

α	M	c_{2C}	e_{in}
$\pi/3$	12	0,9055	$6,25 \cdot 10^{-4}$
	120	0,8664	$9 \cdot 10^{-8}$
$\pi/2$	12	1,0456	$1,04 \cdot 10^{-3}$
	120	1,0004	$1 \cdot 10^{-7}$
π	12	0	0
	120	0	0

În fiecare caz sunt reproduse valorile coeficienților și ale erorilor de interpolare obținute în câteva puncte α distincte de pe forma de undă, unde $\alpha=2\pi k/M$. Se observă că erorile de interpolare au valori mai mici în cazul în care s-a folosit derivata centrată a unui polinom ce trece prin 5 puncte. Dar diferențele nu sunt mari, de ordinul 10^{-3} , nici chiar pentru semnalele eșantionate cu o frecvență mai mică (pentru $M=12$). Pentru semnalele cu mai multe eșantioane pe perioadă ($M=120$) erorile de interpolare sunt neglijabile.

Câteva valori obținute pentru semnalul cosinus sunt redată în tabelele 4.5 (prefiltrare cu $H_{2D}(z)$) și respectiv 4.6 (pentru $H_{2P}(z)$). Erorile de interpolare sunt de același ordin ca și pentru semnalul sinus.

Tabelul 4.5. Rezultate pentru $y(k)=\cos(2\pi k/M)$, prefiltrare cu $H_{2D}(z)$.

α	M	C_{2B}	e_{in}
$\pi/3$	12	0,5223	$-3,64 \cdot 10^{-4}$
	120	0,5002	$1 \cdot 10^{-7}$
$\pi/2$	12	0	0
	120	0	0
π	12	-1,0446	$-1,99 \cdot 10^{-3}$
	120	-1,0004	$-2 \cdot 10^{-7}$

În cazul acestor semnale s-ar putea spune că pentru condiții mai tari de continuitate pentru funcția care aproximează semnalul de intrare nu se obțin rezultate mai bune la interpolare. Aceasta se datorează și faptului că funcțiile \sin și \cos sunt continue și cu derivatele continue. Pentru algoritmi implementați am presupus că orice funcție de intrare este aproximată printr-o funcție spline cubică.

Tabelul 4.6. Rezultate pentru $y(k)=\cos(2\pi k/M)$, prefiltrare cu $H_{2P}(z)$.

α	M	C_{2C}	e_{in}
$\pi/3$	12	0,5228	$4,57 \cdot 10^{-4}$
	120	0,5002	$5 \cdot 10^{-8}$
$\pi/2$	12	0	0
	120	0	0
π	12	-1,0456	$-1,04 \cdot 10^{-3}$
	120	-1,0004	$-1 \cdot 10^{-7}$

Comparăm aceste rezultate cu cele din tabelul 4.2, obținute cu algoritmul ce utilizează valorile derivatei întâi. Erorile de interpolare sunt în aceeași plajă ca și în cazul folosirii filtrului $H_{1P}(z)$.

În figura 4.7 sunt prezentate comparativ erorile obținute la interpolarea cu un factor $m=2$ a semnalului $\cos(2\pi k/12)$ pentru cazurile în care interpolarea s-a făcut cu *algoritmul 1P* (roșu), *algoritmul 2D* (verde) și respectiv *algoritmul Unser* (albastru). Nu au fost reprezentate erorile la capete. Se observă că erorile obținute la interpolarea cu *algoritmul 1P* sunt cam de același ordin de mărime cu cele obținute cu *algoritmul 2D*, dar mai mari decât cele date de *algoritmul Unser*. *Algoritmul 2D*, față de *1P*, are avantajul că fiecare coeficient este calculat

independent de ceilalți și la determinarea acestuia se utilizează un număr mai mic de termeni. De aici rezultă mai puține operații de efectuat la implementarea algoritmului pe un sistem numeric de prelucrare.

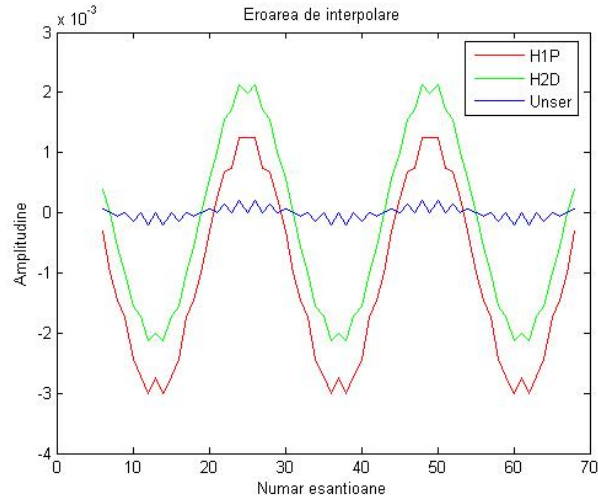


Fig. 4.7. Erori pentru $\cos(2\pi k/12)$ la interpolarea cu algoritmi 1P, 2D și Unser.

Se compară erorile de interpolare obținute la prelucrarea aceluiași semnal $\cos(2\pi k/12)$ cu algoritmi 2P, 2D și Unser. Rezultatele (fără erorile la capete) sunt redată în figura 4.8.

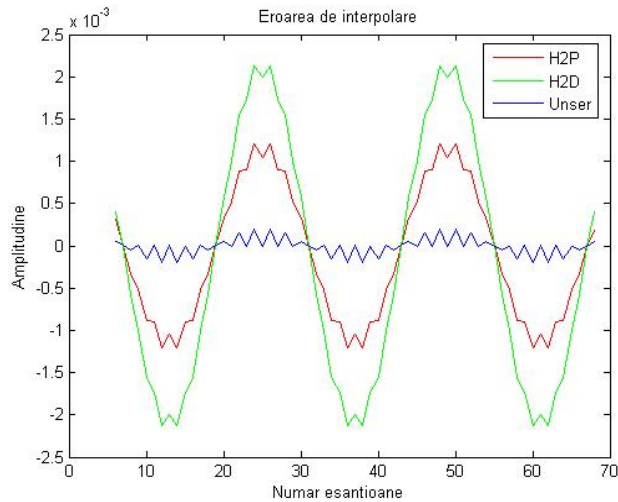


Fig. 4.8. Erori pentru $\cos(2\pi k/12)$ la interpolarea cu algoritmi 2P, 2D și Unser.

Se observă că pentru cei 2 algoritmi ce utilizează valorile derivatei a doua la calcularea coeficienților erorile maxime sunt de ordinul 10^{-3} , diferind ca valoare. În acest caz, algoritmul 2P nu oferă rezultate cu mult mai bune la interpolare.

La creșterea de 10 ori a numărului de eșantioane pe perioadă (corespunzător creșterii de 10 ori a frecvenței la care a fost eșantionat semnalul de intrare), pentru toți algoritmi discutați, la interpolare s-au obținut erori care pot fi considerate zero. Acest fapt reiese și din figura 4.9 în care sunt prezentate erorile de interpolare cu factorul $m=2$ a semnalului $\cos(2\pi k/120)$ pentru 3 dintre acești algoritmi.

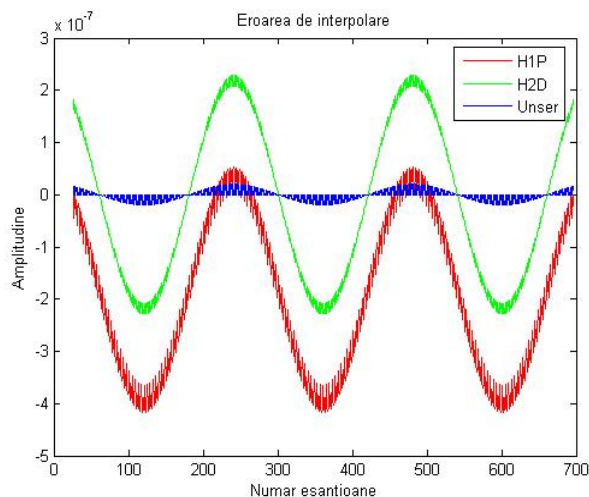


Fig. 4.9. Erori pentru $\cos(2\pi k/120)$ la interpolarea cu algoritmi 1P, 2D și Unser.

Pentru toate exemplele studiate, în noduri, algoritmul Unser realizează interpolarea exactă $f(k)=y(k)$. Algoritmii propuși în acest capitol oferă o aproximare a semnalului de intrare. Aproximarea este cu atât mai bună cu cât crește frecvența la care au fost eșantionate semnalele de intrare.

Vom prezenta în continuare și câteva rezultate obținute la interpolarea unor semnale de intrare care prezintă discontinuități. Sunt luate eșantioane din semnalele triunghi și treaptă (figura 4.4), la fel ca și pentru algoritmi prezentați în subcapitolul 4.5. Și aici se vede cum coeficienții urmăresc forma semnalului și au valori apropiate de acesta, iar erorile de interpolare descresc odată cu creșterea frecvenței de eșantionare [54].

Doar un număr mic de valori din jurul punctelor de discontinuitate este influențat de erori semnificative și în cazul utilizării acestor algoritmi. Astfel, prin faptul că nu se propagă erori de calcul în șirul coeficienților, se minimizează sursele de erori pentru șirul de date interpolate. Pentru semnalul triunghiular cu $M=16$ eșantioane pe perioadă, valorile maxime ale erorilor de interpolare sunt: $2,95 \cdot 10^{-2}$ la utilizarea filtrului $H_{2D}(z)$ și respectiv $3,26 \cdot 10^{-2}$ pentru $H_{2P}(z)$ [54]. La utilizarea filtrului B-spline direct din algoritmul rapid de interpolare cu funcții B-spline cubice (algoritmul Unser), valoarea maximă, în modul, a erorilor este $3,96 \cdot 10^{-2}$. Și în aceste cazuri am ignorat valorile erorilor la capete, care au ca principală cauză modul în care se calculează eșantioanele semnalului interpolat.

În figura 4.10 sunt prezentate erorile pentru semnalul triunghiular amintit la interpolarea cu *algoritmul 2D*, respectiv cu *algoritmul Unser*.

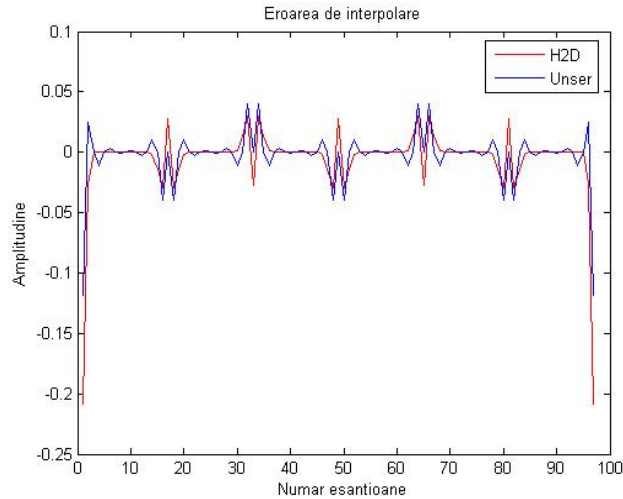


Fig. 4.10. Erori pentru semnal triunghiular la interpolarea cu *algoritmi 2D* și *Unser*.

Se observă că în ambele cazuri erorile de interpolare au valori apropiate dar, în vecinătatea discontinuităților un număr mai mic de puncte sunt afectate de erori semnificative la interpolarea cu *algoritmul 2D*.

Pentru semnalul treaptă, erorile din jurul punctelor de discontinuitate sunt de maxim $1,66 \cdot 10^{-1}$ la folosirea primului filtru și respectiv $1,35 \cdot 10^{-1}$ pentru celălalt, față de $3,33 \cdot 10^{-1}$ în cazul filtrului B-spline direct. În figura 4.11. sunt prezentate erorile de interpolare în cazul utilizării *algoritmilor 2D* și respectiv *Unser*.

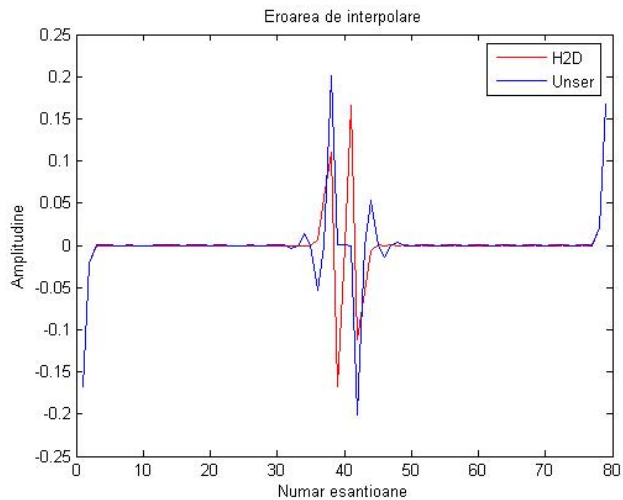


Fig. 4.11. Erori pentru semnal treaptă la interpolarea cu *algoritmi 2D* și *Unser*.

Și pentru acest exemplu erorile afectează mai puține eșantioane din jurul punctelor de discontinuitate la interpolarea cu *algoritmul 2D*, față de interpolarea cu algoritmul Unser. Valoarea maximă a erorilor de interpolare este chiar mai mică la prefiltrarea cu $H_{2D}(z)$. Pentru semnalele care prezintă puncte de discontinuitate se poate spune că *algoritmul 2D* oferă rezultate mai bune la interpolare decât algoritmul rapid de interpolare cu funcții B-spline cubice (algoritmul Unser).

La interpolarea cu *algoritmul 2P* a celor 2 semnale discontinue aduse în discuție, erorile sunt aproximativ la fel ca la prelucrarea cu *algoritmul 2D*. Și din studiul acestor exemple se poate spune că pentru condiții mai stricte de continuitate pentru funcția care aproximează semnalul de intrare, nu se obțin rezultate cu mult mai bune [54].

Reamintim faptul că în programele *Matlab* variabilele au fost declarate de tip *double*, deci s-a lucrat cu precizie extinsă, iar valorile mai mici de 10^{-8} sunt considerate nule.

Pentru algoritmul *2D* s-a analizat variația cu frecvența de eșantionare a erorii maxime de interpolare pentru $m=2$. La intrarea sistemului s-au adus pe rând eșantioanele corespunzătoare semnalului $\sin(2\pi k/M)$ pentru mai multe valori ale factorului M (5, 6, 8, 10, 12, ..., 240). În figura 4.12 este prezentată eroarea maximă de interpolare în funcție de numărul de eșantioane pe perioadă (raportul frecvență de eșantionare f_e /frecvență semnal f_s) [56]. Și de această dată s-au ignorat erorile la capete.

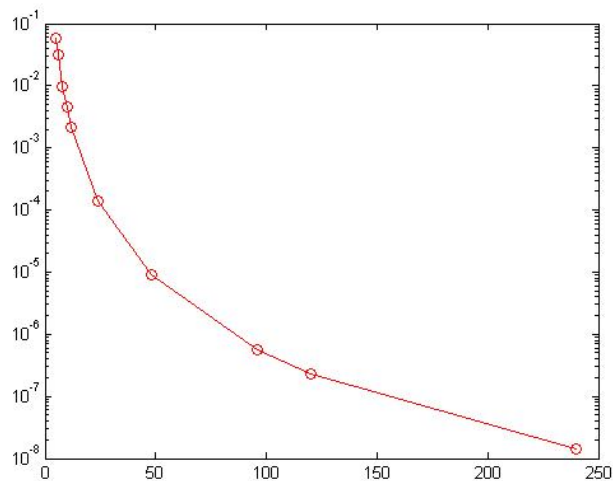


Fig. 4.12. Variația cu M a erorii maxime de interpolare pentru *algoritmul 2D*.

Se observă că valorile erorilor scad logaritmice, la fel ca pentru algoritmul Unser (figura 3.19.). Cu cât crește frecvența de eșantionare la care s-au obținut datele de intrare, cu atât valorile coeficienților sunt mai apropiate de valorile semnalului și aproximarea mai bună.

4.7. Concluzii

În acest capitol s-au prezentat noi algoritmi de interpolare spline cubică dezvoltăți de autoarea acestei teze. Punctul de plecare îl reprezintă *algoritmul rapid de interpolare spline cubică* realizat de M. Unser și colaboratorii [100, 108, 112]. Noutatea este dată de modalitățile de determinare a coeficienților B-spline în procesul de prefiltrare. Din *algoritmul rapid de interpolare spline cubică* se păstrează partea a doua, cea de interpolare, respectiv de reconstrucție a semnalului. Pentru primul pas (prefiltrarea) se înlocuiește filtrul B-spline direct cu noi filtre. În cazul noilor algoritmi, eșantioanele semnalului sunt aduse la intrarea unor sisteme ale căror funcții de transfer au fost determinate cu ajutorul valorilor derivatelor întâi și a doua ale funcției spline cubice de aproximare în noduri. Interpolarea, respectiv reconstrucția semnalului se fac prin filtrare numerică, utilizând filtrele B-spline indirecte.

La determinarea funcției spline cubice de interpolare prin metoda matriceală se folosesc și valorile derivatelor funcției în noduri. Plecând de la această observație, s-au analizat proprietățile funcțiilor spline cubice, ale derivatelor acestora de ordinul 1 și 2 și relațiile dintre acestea și coeficienții B-spline. De aici s-au dezvoltat noile metode de determinare a coeficienților prin filtrare numerică. Procesul se poate realiza prin intermediul a 3 filtre IIR (descrise în subcapitolul 4.5) sau a 3 filtre FIR (subcapitolul 4.6), dintre care 2 sunt simetrice. Filtrele FIR au avantajul că sunt nerecursive, stabile și foarte simplu de implementat în programele de prelucrare numerică a datelor. Se descriu prin operații simple de adunare și înmulțire care pot fi realizate ușor și eficient cu un procesor numeric de semnal.

În cazul clasic, *algoritmul rapid de interpolare spline cubică*, pentru calcularea coeficienților este necesar ca întregul șir de date de intrare să fie cunoscut încă de la început. Acest fapt nu permite utilizarea algoritmului în aplicații de prelucrare a semnalelor în timp real. În schimb, noii algoritmi dezvoltăți pot fi utilizați în aplicații de prelucrare numerică în timp real. În orice moment, este nevoie doar de câteva valori din semnalul de la intrare pentru a calcula coeficientul corespunzător și respectiv eșantionul curent de la ieșire. De exemplu, pentru algoritmi descriși în subcapitolul 4.6, în orice nod k , pentru determinarea coeficientului $c(k)$ sunt necesare doar un număr mic de eșantioane de intrare din jurul acestui punct (3 sau 5). Acești algoritmi permit determinarea locală a coeficienților. Nici o altă metodă din cele întâlnite în literatura de specialitate nu permite acest lucru. Prin faptul că fiecare coeficient poate fi calculat independent de valorile altora se evită propagarea erorilor de determinare a coeficienților.

Filtrele FIR simetrice folosite în *algoritmii 2D și 2P* au în plus proprietatea de fază liniară (toate componentele spectrale ale semnalului de intrare sunt întârziate la fel) și pot fi implementate pe sisteme cu procesoare de semnal printr-un număr redus de operații.

Noile modalități de determinare a coeficienților nu necesită prelungirea semnalelor de intrare. Astfel, sunt reduse erorile la capete datorate inițializării șirului de coeficienți. Rămân însă cele ce provin din modalitatea de calcul a valorilor interpolate pe baza coeficienților.

Algoritmii au fost implementați în programe în *Matlab* și utilizați pentru interpolarea câtorva tipuri de semnale des întâlnite în aplicații. Din analiza rezultatelor s-au putut formula câteva concluzii.

În cazul *algoritmilor 1P și 2P*, pentru date de intrare provenite din eșantionarea semnalelor sinus și cosinus, erorile de interpolare nu sunt cu mult mai mici față de cele obținute cu *algoritmii 1D și respectiv 2D*, însă, pentru realizarea

primilor doi algoritmi este necesară creșterea numărului de operații față de implementarea celorlaltor doi. Diferențele mici între rezultate pot să nu justifice timpul de calcul suplimentar și eventualele întârzieri.

La intrarea sistemului s-au adus șiruri de date obținute prin eșantionarea la frecvențe diferite a aceluiași semnal. Coeficienții determinați tind tot mai mult spre valorile semnalului odată cu creșterea frecvenței de eșantionare (creșterea numărului de eșantioane pe perioadă). Cu cât frecvența de eșantionare este mai mare, cu atât mai apropiate sunt aceste valori. În consecință, erorile de interpolare scad odată cu creșterea numărului de eșantioane pe perioadă.

Pentru semnalele triunghiular și treaptă (semnale care prezintă discontinuități), la interpolarea cu noii algoritmi se observă că, față de interpolarea cu *algoritmul rapid de interpolare spline cubică*, un număr mai mic de eșantioane din vecinătatea punctelor de discontinuitate sunt influențate de erori mai mari decât erorile pentru restul eșantioanelor. Pentru aceste semnale, interpolarea cu *algoritmul 2D* oferă rezultate mai bune decât interpolarea cu *algoritmul Unser*.

Noii algoritmi pot fi utilizați pentru orice tip de semnal. În viitor se vor analiza și rezultatele interpolării altor tipuri de semnale cu acești algoritmi.

Și în cazurile prezentate în acest capitol, la capetele semnalelor interpolate sau reconstruite apar erori ce au valori mult mai mari decât pentru restul eșantioanelor din șir (denumite *erori la capete*). O metodă de reducere a acestor erori va fi prezentată în capitolul următor, împreună cu câteva modalități de îmbunătățire a algoritmilor de interpolare prezentați.

5. ÎMBUNĂTĂȚIREA ALGORITMILOR DE INTERPOLARE SPLINE CUBICĂ CE UTILIZEAZĂ VALORILE DERIVATELOR FUNCȚIEI ÎN NODURI

5.1. Introducere

În continuare se vor prezenta câteva modalități de îmbunătățire a algoritmilor de interpolare descriși în capitolul 4. Se urmărește reducerea erorilor de interpolare a semnalelor prin completarea metodelor de determinare a coeficienților B-spline și micșorarea erorilor la capete.

După cum s-a arătat anterior, pentru toți algoritmi implementați s-a observat apariția unor erori la capete cu valori mai mari decât erorile pentru restul șirului de eșantioane. În cazul *algoritmului rapid de interpolare spline cubică*, aceste erori afectează un număr mare de eșantioane. Acesta variază în funcție de numărul de eșantioane pe perioadă (M) al semnalului de intrare. Cu cât semnalul este eșantionat la o frecvență mai mare, cu atât mai multe eșantioane sunt afectate de erorile la capete. În cazul noilor algoritmi dezvoltați problema a fost parțial soluționată prin modul de calcul al coeficienților la capetele șirului, fiind afectate un număr mult mai mic de eșantioane. Însă, a rămas, ca sursă a acestor erori, modalitatea de determinare a eșantioanelor interpolate din valorile coeficienților. Metoda aleasă pentru rezolvarea acestei probleme este de a prelungi șirul de coeficienți la ambele capete.

Pentru determinarea coeficienților B-spline noii algoritmi folosesc și valorile derivatelor funcției spline în noduri, valori ce sunt calculate pe baza eșantioanelor de intrare prin filtrare numerică. Pentru determinarea acestor valori se poate folosi și derivarea analogică a semnalului de intrare. Astfel, semnalul inițial și semnalul derivat, sunt eșantionate fiecare în parte și apoi sunt aduse la intrarea sistemului de prelucrare. Astfel, cele 2 șiruri de eșantioane pot fi folosite direct pentru determinarea coeficienților B-spline. Însă, pentru implementarea acestei metode trebuie avute în vedere alte probleme, legate de dimensionarea și realizarea circuitului de derivare și de achiziția a două semnale simultan.

În toate exemplele prezentate anterior s-au determinat coeficienții B-spline, apoi s-au calculat eșantioanele semnalelor reconstruite sau interpolate cu un factor de interpolare $m=2$. Vor fi prezentate în continuare și 2 modalități prin care se poate face interpolarea semnalelor cu un factor $m>2$ și vor fi analizate câteva rezultate experimentale.

5.2. Utilizarea relației din *algoritmul zero*

5.2.1. Relația de calcul din *algoritmul zero*

Pentru metodele care folosesc valorile derivatei întâi în noduri la determinarea coeficienților se pot identifica 2 surse principale care duc la apariția erorilor de interpolare. Una dintre ele este modalitatea de calcul a valorilor derivatei

întâi în noduri. Cealaltă este dată de faptul că fiecare coeficient este calculat pe baza valorilor funcției și a valorilor unor coeficienți determinați anterior. Astfel, erorile de determinare a oricărui coeficient se pot propaga în tot șirul. S-au căutat unele metode de a micșora influența acestor erori. Aceste metode trebuie să fie cât mai simple și ușor de implementat. De asemenea, trebuie ca ele să presupună introducerea unui număr mic de operații suplimentare.

Algoritmul zero (analizat în subcapitolul 4.4.) prezintă o variantă de calcul a coeficienților care poate oferi rezultate bune dacă este folosită pentru un șir cu număr mic de eșantioane de intrare. Relația (4.31) poate fi reformulată astfel:

$$c_0(k) = \frac{6y(k) - c_0(k-1) - c_0(k+1)}{4} \quad (5.1)$$

Această formulă va fi folosită adițional la algoritmi de determinare a coeficienților care utilizează valorile derivatei întâi în noduri. Vor fi prezentate în continuare 2 variante dezvoltate pentru îmbunătățirea metodelor de determinare a coeficienților B-spline.

5.2.2. Calculul intercalat al coeficienților

Pentru fiecare dintre cei 3 algoritmi descriși în subcapitolul 4.5 se calculează coeficientul curent $c_i(k)$ în funcție de valorile câtorva eșantioane de intrare și a coeficientului întârziat cu 2 tace $c_i(k-2)$. În acest fel se determină valorile coeficienților din 2 în 2 puncte. După stabilirea primelor 3 valori (condițiile inițiale), se poate spune că se calculează independent 2 șiruri de coeficienți: cei de indice par și cei de indice impar.

Pornind de la această observație, se stabilește următoarea metodă (denumită metoda de calcul intercalat al coeficienților):

- un șir de coeficienți se calculează cu formula cu derivata întâi corespunzătoare;
- celălalt șir se calculează cu formula de la *algoritmul zero*.

Se aplică acest principiu pentru algoritmul care utilizează determinarea valorilor derivatelor în noduri prin formulele lui O. Stănășilă (*algoritmul 1D*). Astfel, *algoritmul 1D intercalat* presupune parcurgerea următorilor pași [50]:

- se calculează coeficienții inițiali la fel ca în cazul *algoritmului 1D*:

$$c_{1Di}(2) = y(2) - [y(3) - 2y(2) + y(1)]/6$$

$$c_{1Di}(0) = c_{1Di}(2) - y(2) + y(0)$$

- fiecare coeficient de indice par se determină la fel ca în cazul *algoritmului 1D*:

$$c_{1Di}(k) = y(k) - y(k-2) + c_{1Di}(k-2) \quad (5.2)$$

- fiecare coeficient de indice impar se calculează pe baza formulei de la *algoritmul zero* (5.1):

$$c_{1Di}(k-1) = [6y(k-1) - c_{1Di}(k-2) - c_{1Di}(k)]/4, \quad k=2, 4, 6, \dots \quad (5.3)$$

- se supraeșantionează șirul de coeficienți și se calculează eșantioanele semnalului interpolat.

În același mod se poate proceda și pentru *algoritmii 1A și 1P*. Este posibil ca pentru coeficienții de indice impar să se reducă erorile de determinare. Însă, toți coeficienții de indice par sunt însoțiți de aceleași erori de calcul ca și cei determinați cu algoritmi descriși în subcapitolul 4.5, deoarece sunt calculați prin aceleași iterații, pe baza aceluiași valori.

O îmbunătățire a modului de determinare a coeficienților duce la rezultate mai bune și pentru semnalul interpolat. Însă, această metodă poate să nu ofere rezultate mai bune pentru toți termenii implicați. Nu poate fi considerată o variantă viabilă de îmbunătățire a algoritmilor vizați.

5.2.3. Introducerea unui pas suplimentar

După cum s-a văzut în paragraful anterior, folosirea formulei din *algoritmul zero* poate aduce unele îmbunătățiri. Aceasta poate fi introdusă ca pas suplimentar la calculul coeficienților cu algoritmi descriși în subcapitolul 4.5. Vom lua în continuare același caz, cel al *algoritmului 1D*. Noul algoritm, *algoritmul 1D cu pas suplimentar*, va fi:

- se calculează coeficienții inițiali la fel ca pentru *algoritmul 1D*;
- pentru $k > 2$, fiecare coeficient $c_{1D}(k)$ se determină la fel ca în cazul algoritmului *1D*:

$$c_{1D}(k) = y(k) - y(k-2) + c_{1D}(k-2)$$

- pe baza acestora se calculează un set suplimentar de coeficienți:

$$c_{1Ds}(k-1) = [6y(k-1) - c_{1D}(k-2) - c_{1D}(k)]/4 \quad (5.4)$$

- eșantioanele interpolate se calculează din setul suplimentar de coeficienți $c_{1Ds}(k)$.

Pasul suplimentar este echivalent cu introducerea a unui filtru suplimentar în etapa de prefiltrare. Procesul de interpolare este redat schematic în figura 5.1.

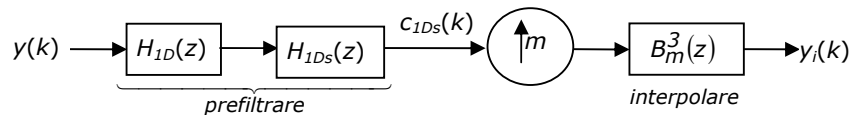


Fig.5.1. Algoritmul 1D cu pas suplimentar.

Prin această metodă, pentru noii coeficienți se pot diminua erorile de determinare. Fiind diminuate oscilațiile din șirul de coeficienți, atunci și erorile de interpolare vor fi mai mici.

Acest pas adăugat la modalitatea de determinare a coeficienților se poate introduce și pentru algoritmi care utilizează valorile derivatei a doua în noduri (descriși în subcapitolul 4.6).

Dar, un pas suplimentar înseamnă introducerea în plus a unor operații de adunare și înmulțire, deci creșterea volumului și a timpului de calcul. Acesta este un

aspect important dacă se dorește implementarea algoritmului pe un sistem cu procesor numeric de semnal. Pentru aplicațiile în timp real, apariția unui filtru în plus înseamnă introducerea de întârzieri suplimentare pentru semnalul de la ieșirea sistemului.

5.2.4. Rezultate experimentale

Algoritmii intercalați și cei cu pas suplimentar au fost implementați în Matlab și testați pentru aceleași semnale folosite și în cazurile anterioare. Secvențele de program corespunzătoare pentru calcularea coeficienților și o parte dintre rezultatele interpolării unor semnale sunt prezentate în *Anexa 5*.

Drept exemplu, pentru $\{y(k)\}$, cu $k=0, 1, \dots, N-1$, au fost utilizate tot eșantioanele semnalelor $\sin(2\pi k/M)$ și $\cos(2\pi k/M)$, cu $M=12$, respectiv 120 și N ales astfel încât: $N=3M$. S-a realizat reconstrucția semnalului pentru cazul în care coeficienții sunt determinați prin calcul intercalat (*algoritmul 1D intercalat*). Erorile de interpolare obținute au fost comparate cu cele determinate cu *algoritmul 1D*. Pentru punctele în care coeficienții s-au determinat cu formula (5.2), erorile sunt de ordinul 10^{-2} (pentru $M=12$) și 10^{-4} ($M=120$), același ordin de mărime ca și în cazul *algoritmului 1D*. În celelalte puncte, în care coeficienții s-au calculat intercalat (cu formula (5.3)), erorile de interpolare sunt neglijabile.

La interpolarea cu factor $m=2$, erorile de interpolare au același ordin de mărime (10^{-2} pentru $M=12$) și în punctele intermediare, valorile fiind aproximativ de 2 ori mai mici decât în cazul algoritmului 1D. Excepție fac doar nodurile în care coeficienții s-au calculat intercalat, unde valorile erorilor sunt neglijabile [50].

O îmbunătățire semnificativă se obține doar în unele puncte, ceea ce duce la concluzia că această metodă poate să nu fi eficientă.

Pentru aceleași semnale s-a realizat interpolarea și cu algoritmii în care determinarea coeficienților se face utilizând valorile derivatei întâi în noduri, la care s-a adăugat pasul suplimentar.

În tabelul 5.1 sunt prezentate erorile de interpolare în câteva puncte α de pe forma de undă pentru semnalul $y(k)=\sin(\alpha)$, cu $\alpha=2\pi k/M$, unde $k=0, 1, \dots, N-1$, pentru 2 cazuri: coeficienții calculați cu *algoritmul 1D*, respectiv *algoritmul 1D cu pas suplimentar* [50]. Se observă că în cel de-al doilea caz erorile de interpolare se reduc față de primul caz. Același algoritm a fost aplicat și semnalului $\cos(2\pi k/M)$, rezultatele fiind similare.

Tabelul 5.1. Erori de interpolare pentru $y(k)=\sin(\alpha)$: comparație 1D – 1D cu pas suplimentar.

α	M	<i>algitm 1D</i>	<i>1D cu pas suplimentar</i>
0	12	$3,05 \cdot 10^{-2}$	$1,11 \cdot 10^{-2}$
	120	$3,58 \cdot 10^{-5}$	$1,19 \cdot 10^{-5}$
$\pi/3$	12	$8,17 \cdot 10^{-3}$	$5,58 \cdot 10^{-3}$
	120	$3,59 \cdot 10^{-4}$	$1,85 \cdot 10^{-4}$
$\pi/2$	12	$2,23 \cdot 10^{-2}$	$4,08 \cdot 10^{-3}$
	120	$4,20 \cdot 10^{-4}$	$2,16 \cdot 10^{-4}$

Metodele de intercalare și adăugare a unui pas suplimentar la etapa de prefiltrare pot fi aplicate și pentru *algoritmul 1P*. În figura 5.2 sunt comparate erorile de interpolare a semnalului $y(k)=\cos(2\pi k/12)$ la prelucrarea cu *algoritmii 1P*,

1P intercalat și *1P cu pas suplimentar*. La folosirea celui de-al doilea algoritmul, erorile scad foarte mult doar în unele noduri, la fel ca și în cazul *algoritmului 1D intercalat*. Pentru interpolarea cu algoritmi cu pas suplimentar, erorile sunt diminuate în aceeași proporție pentru toate eșantioanele și sunt inversate.

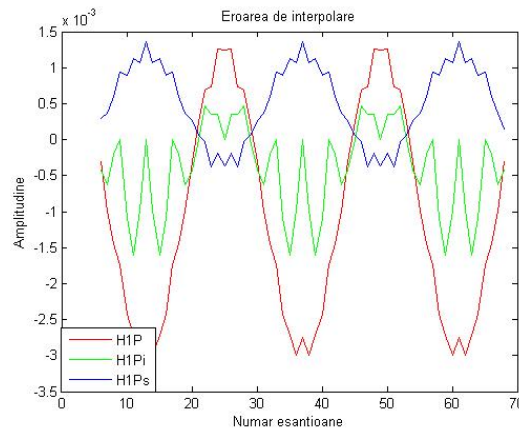
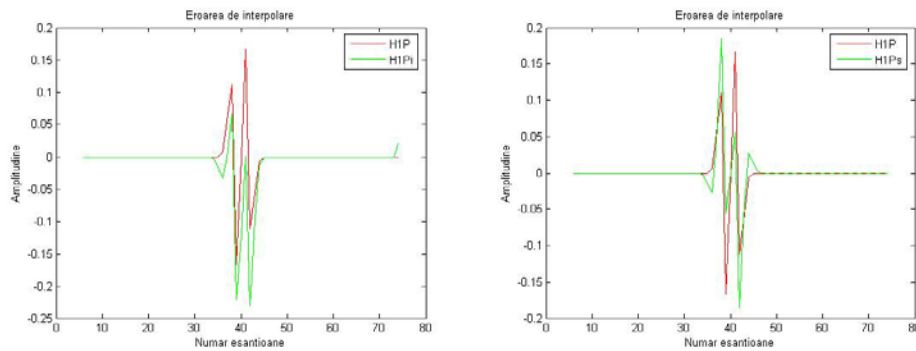


Fig. 5.2. Erori pentru $\cos(2\pi k/12)$ la interpolarea cu algoritmi *1P*, *1Pi* și *1Ps*.

Aceiași algoritmi au fost utilizați și pentru interpolarea semnalului treaptă ce a mai fost folosit și în unele exemple anterioare. Din figura 5.3 se poate observa că pentru unele dintre eșantioanele din vecinătatea punctelor de discontinuitate erorile de interpolare sunt mai mari în cazul *algoritmilor 1P intercalat* (figura 5.3.a) și respectiv *1P cu pas suplimentar* (figura 5.3.b)), față de prelucrarea cu algoritmul inițial *1P*.



a) comparație *1P* cu *1P intercalat*

b) comparație *1P* cu *1P cu pas suplimentar*

Fig. 5.3. Erori la interpolarea semnalului treaptă cu algoritmi *1P*, *1Pi* și *1Ps*.

Și pentru *algoritmul 2D* s-a introdus pasul suplimentar la calcularea coeficienților (denumit *algoritmul 2D cu pas suplimentar*). Semnalele sinus și cosinus cu $M=12$ eșantioane/periodă au fost interpolate cu acesta. Se observă o reducere a valorilor erorilor de interpolare la utilizarea *algoritmului 2D cu pas suplimentar* față de *algoritmul 2D*. În figura 5.4 se compară erorile obținute pentru

semnalul $y(k)=\cos(2\pi k/12)$ în trei cazuri: interpolare cu *algoritmul 2D*, *algoritmul 2D cu pas suplimentar* și *algoritmul 2P*. Pentru acest exemplu, introducerea pasului suplimentar la 2D are ca efect obținerea unor erori apropiate de cele obținute la interpolarea cu *algoritmul 2P* (valori apropiate, dar de semn contrar).

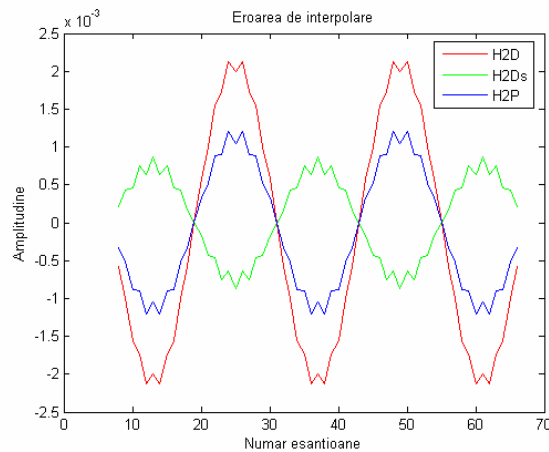


Fig.5.4. Compararea erorilor la interpolarea semnalului cosinus cu *algoritmii 2D, 2Ds și 2P*.

Aplicând algoritmul 2Ds pentru semnalul $y(k)=\sin(2\pi k/12)$, rezultatele sunt similare. Însă, pentru semnalul treaptă nu apar îmbunătățiri. Din contră, sunt puncte în care erorile de interpolare sunt mai mari decât la utilizarea algoritmului inițial.

Pentru semnalele ce au un număr mult mai mare de eșantioane pe perioadă ($M=120$ pentru sinus și cosinus) nu s-a făcut interpolarea cu *algoritmul 2D cu pas suplimentar*, deoarece la interpolarea cu *algoritmul 2D* erorile sunt deja foarte mici, de ordinul 10^{-7} .

Pe baza exemplurilor studiate se poate spune că aceste metode de îmbunătățire a algoritmilor de interpolare spline cubică oferă rezultate superioare doar pentru șiruri de eșantioane provenite din semnale continue. Pentru algoritmii intercalați, doar în unele noduri erorile de interpolare scad foarte mult. Pentru restul punctelor, erorile scad aproximativ la jumătate. Pentru semnalele cu discontinuități, erorile de interpolare sunt mai mari în unele puncte din vecinătatea discontinuităților atunci când se calculează coeficienții cu noile metode.

În toate cazurile prezentate nu s-au luat în discuție erorile la capete, erori care au valori mult mai mari pentru punctele extreme ale șirului de date decât pentru restul.

5.3. Prelungirea șirului de coeficienți

Pentru toate exemplele prezentate până acum, semnalul de la ieșire prezintă erori de interpolare mult mai mari la începutul și sfârșitul șirului față de cele din rest. Acestea apar indiferent care este metoda utilizată pentru determinarea coeficienților. Au fost denumite *erori la capete*. S-a arătat că aceste erori sunt datorate modului în care sunt stabilite condițiile inițiale pentru calcularea

coeficienților, dar și modului în care se obțin eșantioanele interpolate din acești coeficienți. Parțial, influența acestor erori a fost diminuată prin modul de determinare a coeficienților la capetele șirului de date, mod care nu mai implică prelungirea semnalului prin oglindire.

La reconstrucție și interpolare, pentru determinarea fiecărui eșantion de la ieșire avem nevoie de valorile coeficienților în punctul respectiv, la stânga și la dreapta acestui punct. Pentru eșantioanele de la capetele șirului, o parte din acești coeficienți nu există. De obicei, acest fapt este ignorat și valorile acestor coeficienți sunt considerate zero. Aceasta duce la apariția unor erori de interpolare considerabil mai mari în aceste puncte decât în restul șirului. Dacă se prelucrează un volum mare de date, aceste erori pot să nu prezinte importanță însă, dacă se lucrează cu șiruri care au un număr mic de eșantioane, erorile la capete pot avea însemnătate.

În toate cazurile se aduc la intrarea sistemului eșantioanele $y(k)$ și se calculează șirul de coeficienți $c(k)$, cu $k=0, 1, 2, \dots, N-1$. De exemplu, pentru a reconstrui semnalul de intrare, se face convoluția între șirul coeficienților $c(k)$ și $b_1^3(k)$, dat de relația (3.70). Fiecare eșantion al semnalului reconstituit $y_r(k)$ se calculează utilizând valorile coeficienților $c(k-1)$, $c(k)$ și $c(k+1)$. Astfel, pentru primul eșantion al semnalului reconstituit $y_r(0)$ este nevoie de încă un coeficient la stânga șirului: $c(-1)$, iar pentru ultimul eșantion $y_r(N-1)$ este necesar încă un coeficient la dreapta: $c(N)$ [51].

Dacă se dorește interpolarea semnalului cu un factor $m=2$, șirul de coeficienți $c(k)$ este supraeșantionat conform relației (3.48), obținând un nou șir $c_2(k)$. Apoi se face convoluția noului șir cu $b_2^3(k)$, dat de relația (3.72). Înseamnă că, pentru a calcula valorile semnalului interpolat, în fiecare punct este nevoie de 7 coeficienți: cel din punctul curent, 3 anteriori și 3 ulteriori. Dintre cei 3 coeficienți: unul este calculat, iar ceilalți 2 sunt obținuți prin supraeșantionare.

Astfel, pentru a reduce erorile la capete se poate prelungi șirul de coeficienți la capete. Practic, mai sunt necesare valorile coeficienților $c(-1)$ și $c(N)$.

Pentru a determina aceste valori vom porni de la relația (4.31) utilizată în algoritmul zero [51]. În punctul $k=0$ se poate scrie:

$$c(-1) = 6y(0) - 4c(0) - c(1) \quad (5.5)$$

Aceeași relație, scrisă pentru $k=N-1$, permite determinarea valorii coeficientului necesar la dreapta șirului:

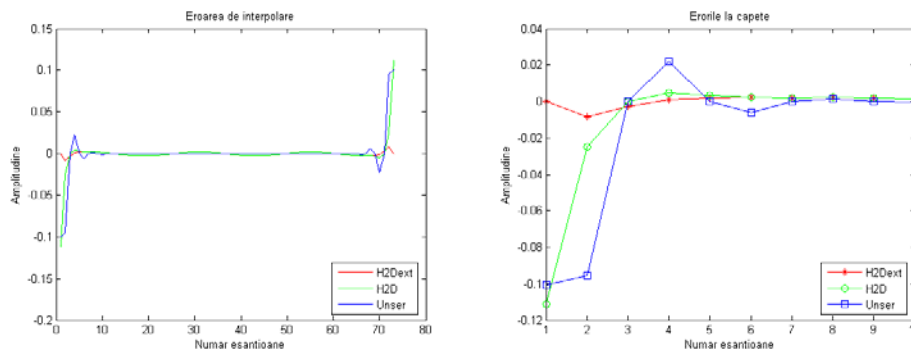
$$c(N) = 6y(N-1) - 4c(N-1) - c(N-2) \quad (5.6)$$

Pentru oricare dintre algoritmii descriși în capitolul anterior se pot aplica relațiile (5.5) și (5.6) pentru a extinde șirul coeficienților la dreapta și la stânga și a reduce erorile de interpolare la capete.

Se vor prezenta în continuare câteva rezultate obținute la interpolarea cu *algoritmul 2D* pentru care s-a făcut extinderea șirului coeficienților la ambele capete (denumit *algoritmul 2D extins*, notat și *2Dext*). S-a calculat semnalul interpolat cu factor $m=2$ pentru cazul în care la intrare se aduc eșantioanele $y(k) = \sin(2\pi k/M)$, unde $k=0, 1, \dots, N-1$, pentru $M=120$ și $N=361$. La prelucrarea cu algoritmul inițial, erorile la capete au valori de ordinul 10^{-3} , iar pentru restul eșantioanelor din șir erorile sunt de aproximativ 10^{-7} . Prin extinderea șirului de coeficienți în ambele părți cu câte un termen, erorile la capete scad la valori de până la 10^{-5} . Tot pentru

semnalul sinusoidal, dar cu $M=12$ eşantioane/periodă, aceste erori scad de la 10^{-1} până la valori de 10^{-3} , acelaşi ordin de mărime ca şi pentru restul eşantioanelor.

În figura 5.5 se compară erorile la capete obţinute la interpolarea acestui semnal folosind *algoritmul 2D*, *algoritmul 2D extins* şi respectiv *algoritmul rapid de interpolare spline cubică (Unser)*. În cazul interpolării cu *algoritmul Unser*, mai multe eşantioane de la capete sunt afectate de erori mai mari decât erorile pentru celelalte eşantioane, comparativ cu interpolarea prin *algoritmul 2D*. Este evident că la prelucrarea cu *algoritmul 2D extins* erorile la capete scad considerabil.



a) erorile pentru tot şirul

b) detaliu la stânga şirului

Fig.5.5. Erori la capete la interpolarea $\sin(2\pi k/12)$ cu algoritmi *2Dext*, *2D* şi *Unser*.

În cazul interpolării semnalului $\cos(2\pi k/M)$ cu *algoritmul 2D extins* rezultatele sunt similare. Pentru $M=120$ se poate spune că rezultatele sunt chiar mai bune deoarece erorile la capete scad la valori de 10^{-7} , valori de acelaşi ordin fiind obţinute şi pentru restul eşantioanelor interpolate.

La interpolarea cu *algoritmul 2D extins* a semnalelor triunghiular şi treaptă (redate în figura 4.4) erorile la capete devin neglijabile.

Extinderea şirului de coeficienţi la ambele capete duce la scăderea semnificativă a erorilor la capete. Procesul presupune introducerea unui număr mic de operaţii suplimentare deoarece necesită calcularea doar a două elemente în plus (câte un coeficient în fiecare parte).

5.4. Abordarea analogică a procesului de derivare

În capitolul 4 au fost prezentaţi noi algoritmi de interpolare spline cubică în care se utilizează şi valorile derivatelor semnalului de intrare. S-au implementat mai multe metode de derivare numerică a funcţiilor şi au fost realizate programe în *Matlab* pentru interpolarea semnalelor de intrare. Aceste programe pot fi rescrise şi integrate în programe pentru sisteme cu procesoare numerice de prelucrare a semnalelor. Pentru multe aplicaţii, semnalele sunt achiziţionate prin intermediul unor senzori şi traductoare, filtrate, eşantionate şi convertite din semnale analogice în semnale numerice. Semnalele sunt apoi prelucrate de sistemul numeric. Există aplicaţii în care se cunosc valorile funcţiei, şi valorile derivatelor sale de ordinul 1 sau 2 (de exemplu: viteza sau acceleraţia).

Pentru algoritmi prezentaţi se presupune că se cunosc doar valorile funcţiei în anumite puncte echidistante. Valorile derivatelor se determină prin metode

numerice. Însă, derivarea semnalelor se poate realiza și prin circuite analogice, înainte de eșantionare. Semnalul poate fi derivat analogic o dată sau de două ori, după caz. Apoi se face eșantionarea ambelor semnale (inițial și derivat). Astfel, la intrarea sistemului de prelucrare se vor aduce valorile semnalului și ale derivatelor sale. Având aceste valori se pot determina coeficienții B-spline și se poate face interpolarea semnalelor. În figura 5.6 este prezentată schema de principiu a unui circuit de derivare care utilizează amplificatoare operaționale.

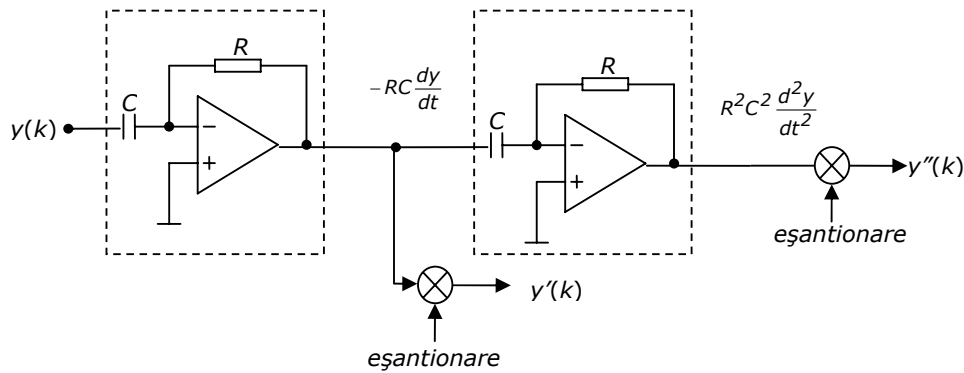


Fig.5.6. Circuit de derivare.

Procesul de derivare analogică a semnalelor prezintă și el o serie de probleme care trebuie atent analizate.

Valorile componentelor rezistive R și capacitive C se pot alege astfel încât să fie satisfăcută relația (5.7), unde T_e reprezintă perioada de eșantionare a semnalelor. În acest caz se pot calcula direct valorile coeficienților pentru algoritmi ce utilizează derivata a doua, deoarece în formula de calcul apare termenul $y''(k)/6$. (formula (4.25)).

$$R^2C^2 = \frac{1}{6}T_e^2 \quad (5.7)$$

Valorile componentelor trebuie alese cu grijă. La modificarea frecvenței de eșantionare a sistemului de achiziție trebuie modificate și valorile elementelor R și C din schema de derivare. Dacă sunt prea mici, atunci elementele parazite din circuit vor avea pondere mai mare și semnalul va fi distorsionat. De asemenea, orice zgomot apărut la intrarea circuitului este puternic accentuat de procesul de derivare. Acest proces accentuează zgomotele de înaltă frecvență, fapt pentru care nu se prea utilizează în practică.

Eșantioanele semnalului și eșantioanele derivatei trebuie prelevate la aceleași momente de timp, deoarece algoritmi folosesc valorile funcției și ale derivatei sale în noduri, adică în aceleași puncte k . De aceea, amplificatoarele operaționale folosite trebuie să fie de viteză mare pentru a evita apariția unor defazaje semnificative între semnal și derivata acestuia.

Dacă se folosesc semnalul și una dintre derivate, atunci la intrarea sistemului numeric de prelucrare trebuie făcută achiziția a două semnale în loc de unul.

Eșantionarea derivativă este folosită în situații în care se cunosc semnalul și derivata, sau derivatele sale [119, 120]. Semnalul poate fi reconstruit dacă el și cele $(n-1)$ derivate ale sale cunoscute au fost fiecare eșantionate la o frecvență de n ori mai mică decât frecvența cu care ar fi fost eșantionat semnalul. Astfel, pentru eșantionare și conversie pot fi utilizate și dispozitive care lucrează la frecvențe de eșantionare mai reduse. Acest tip de eșantionare poate fi folosită și în cazul funcțiilor spline, dacă avem semnalul și derivatele sale analogice.

5.5. Algoritmi de interpolare pentru $m > 2$

În toate exemplele prezentate până acum, algoritmi au fost utilizați pentru reconstrucția semnalelor și pentru interpolarea acestora cu un factor $m=2$. Se vor analiza în continuare câteva situații în care se face interpolarea semnalului cu un factor $m > 2$. Se iau în considerare cazurile în care m este par și respectiv, are valori de forma $m=2^r$.

Toți algoritmi de interpolare implementați și folosiți în exemple din această lucrare urmează aceeași pași (descriși în figura 5.7):

- semnalul $y(k)$ e adus la intrarea sistemului de prefiltrare cu funcția de transfer $H_{pf}(z)$ (specifică fiecărui algoritm) și se obține șirul de coeficienți $c(k)$;
- șirul de coeficienți este supraeșantionat cu factorul $m=2$;
- din noii coeficienți se obține semnalul interpolat prin filtrarea cu filtrul B-spline indirect $B_2^3(z)$.

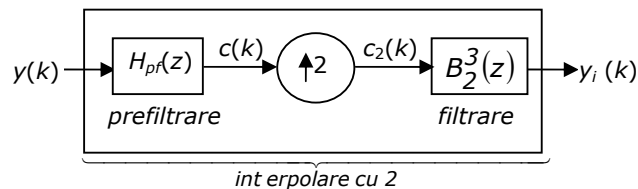


Fig.5.7. Sistem de interpolare cu $m=2$.

Funcția de transfer a filtrului B-spline indirect $B_2^3(z)$ a fost prezentată în capitolul 3 (relația (3.71)). Pentru valori $m > 2$, șirul de coeficienți este supraeșantionat cu factorul m și adus la intrarea filtrului $B_m^3(z)$. Funcția de transfer a oricărui filtru $B_m^n(z)$ este dată de relația [108, 111]:

$$B_m^n(z) = \frac{1}{m^n} B_1^n(z) \left(B_m^0(z) \right)^{(n+1)} \quad (5.8)$$

unde:
$$B_m^0(z) = \sum_{k=-\lfloor m/n \rfloor}^{\lfloor (m-1)/2 \rfloor} z^k \quad (5.9)$$

În cazul funcțiilor spline cubice ($n=3$) folosite în algoritmi de interpolare spline cubică prezentați, $B_1^3(z)$ este filtrul B-spline indirect cu care s-a realizat reconstrucția semnalelor. Funcția de transfer a acestuia a fost prezentată în capitolul 3 (relația (3.69)).

Pe baza formulelor (5.8) și (5.9), pentru $m=4$, am determinat forma explicită a funcției de transfer a filtrului $B_4^3(z)$:

$$B_4^3(z) = \left[128 + 235(z + z^{-1}) + 184(z^2 + z^{-2}) + 121(z^3 + z^{-3}) + 64(z^4 + z^{-4}) + 27(z^5 + z^{-5}) + 8(z^6 + z^{-6}) + (z^7 + z^{-7}) \right] / 384 \quad (5.10)$$

Acesteia îi corespunde șirul $b_4^3(k)$, dat de [55]:

$$b_4^3(k) = \{1/384, 1/48, 27/384, 1/6, 121/384, 23/48, 235/384, 2/3, 235/384, 23/48, 121/384, 1/6, 27/384, 1/48, 1/384\} \quad (5.11)$$

Relația (5.10) este complicată, iar pentru valori și mai mari ale factorului m funcția de transfer a filtrului B-spline indirect devine și mai complicată. Aceasta implică mulți termeni și poate fi dificil de implementat.

Pentru orice valori m și n funcția de transfer este dată de formula (5.8), care se obține prin înmulțirea mai multor termeni. Acești termeni reprezintă funcțiile de transfer ale unor filtre de ordin inferior. Una dintre proprietățile filtrelor permite ca orice filtru de ordin superior să poată fi implementat prin legarea în cascadă a unor filtre de ordin mai mic. Funcția de transfer a filtrului de ordin superior reprezintă produsul dintre funcțiile de transfer ale filtrelor conectate în cascadă [39, 64, 86].

Astfel, orice filtru $B_4^3(z)$ se poate implementa prin conectarea în cascadă a 4 filtre $B_4^0(z)$ și a unui filtru $B_1^3(z)$. Pentru un semnal $y(k)$ se poate face interpolarea spline cubică cu un factor $m>2$ urmând pașii prezentați în figura 5.8. $H_{pr}(z)$ este funcția de transfer a sistemului care realizează operația de prefiltrare și poate fi oricare dintre cele corespunzătoare algoritmilor de interpolare spline cubică prezentați.

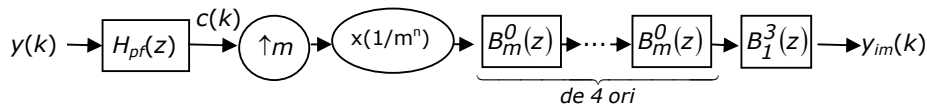


Fig. 5.8. Interpolare prin conectarea în cascadă a mai multor filtre.

Dacă factorul de interpolare are valori de forma $m=2^r$, pentru realizarea interpolării spline cubice se poate adopta și o altă soluție. Sistemul de interpolare cu 2 a semnalului (prezentat în figura 5.7) deja implementat poate fi folosit recursiv, de r ori, de fiecare dată având la intrare semnalul de la ieșirea sistemului anterior [55]. Soluția este redată în figura 5.9.

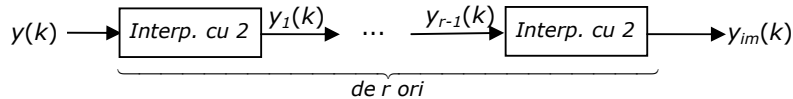


Fig. 5.9. Interpolare recursivă pentru $m=2^r$.

Ultima metodă prezentată (metoda recursivă) este eficientă din punct de vedere al implementării într-un limbaj de programare. Se scrie o secvență (subrutină) de program ce implementează algoritmul de interpolare cu 2. Subrutina este apoi apelată de r ori, de fiecare dată folosind ca variabilă de intrare șirul obținut după rularea anterioară. Însă, această metodă presupune ca la fiecare iterație să se prelucreze întregul șir de date.

Cele trei variante de interpolare descrise sunt echivalente.

Metoda recursivă a fost implementată pentru interpolarea cu factorul $m=8$ a semnalului $y(k)=\cos(\alpha)$ unde $\alpha=(2\pi k/12)$ în 2 cazuri: prefiltrarea se face cu $H_{2D}(z)$, respectiv cu $H_{2P}(z)$ [55]. Astfel, *algoritmul 2D extins* (pentru factor de interpolare 2) a fost aplicat șirului de eșantioane de intrare $\{y(k)\}$, obținând $\{y_1(k)\}$. Acest șir a fost din nou adus la intrarea sistemului de interpolare cu 2, obținând $\{y_2(k)\}$. Acțiunea a fost repetată având la intrare $\{y_2(k)\}$. Rezultatul final îl reprezintă eșantioanele semnalului interpolat cu factorul $m=8$. S-au analizat și comparat rezultatele fiecărei iterații. Erorile ce însoțesc procesul de interpolare sunt aproximativ aceleași, indiferent de iterație. În tabelul 5.2 sunt prezentate valorile semnalelor de ieșire y_i și ale erorilor de interpolare ein în câteva puncte α de pe forma de undă.

Tabelul 5.2. Interpolare recursivă pentru $y(k)=\cos(\alpha)$, prefiltrare cu $H_{2D}(z)$.

α	m	y_i	ein
$\pi/3$	1	0,5003	$-3,64 \cdot 10^{-4}$
	2	0,5003	$-3,64 \cdot 10^{-4}$
	4	0,5004	$-4,05 \cdot 10^{-4}$
	8	0,5004	$-4,04 \cdot 10^{-4}$
$\pi/2$	1	0	0
	2	0	0
	4	$1,89 \cdot 10^{-5}$	$-1,89 \cdot 10^{-5}$
	8	$2,13 \cdot 10^{-5}$	$-2,13 \cdot 10^{-5}$
π	1	-0,9980	$-1,99 \cdot 10^{-3}$
	2	-0,9980	$-1,99 \cdot 10^{-3}$
	4	-0,9978	$-2,16 \cdot 10^{-3}$
	8	-0,9978	$-2,18 \cdot 10^{-3}$

Sunt redată rezultatele reconstrucției semnalului și ale interpolării după fiecare iterație. Se pot observa diferențe nesemnificative între valorile obținute în iterații diferite [55].

Pentru același șir de eșantioane de intrare s-a realizat interpolarea cu $m=8$ în aceeași manieră, folosind de această dată pentru prefiltrare sistemul cu funcția de transfer $H_{2p}(z)$. Valorile interpolate și erorile de interpolare pentru aceleași puncte α sunt redată în tabelul 5.3 [55]. Rezultatele sunt similare și în acest caz.

Tabelul 5.3. Interpolare recursivă pentru $y(k)=\cos(\alpha)$, prefiltrare cu $H_{2p}(z)$.

α	m	y_i	ein
$\pi/3$	1	0,4995	$4,57 \cdot 10^{-4}$
	2	0,4995	$4,57 \cdot 10^{-4}$
	4	0,4994	$5,55 \cdot 10^{-4}$
	8	0,4994	$5,67 \cdot 10^{-4}$
$\pi/2$	1	0	0
	2	0	0
	4	0	0
	8	0	0
π	1	-0,9989	$-1,04 \cdot 10^{-3}$
	2	-0,9989	$-1,04 \cdot 10^{-3}$
	4	-0,9988	$-1,14 \cdot 10^{-3}$
	8	-0,9988	$-1,15 \cdot 10^{-3}$

Aceeași metodă a fost aplicată și pentru un semnal triunghiular. În cazul acesta apare efectul de netezire a semnalului la interpolarea cu factor de valoare mare.

Semnalele au fost prelucrate și cu *algoritmul 2D extins* în care interpolarea cu factor $m=4$ se face folosind un singur filtru, respectiv filtrul B-spline indirect care are funcția de transfer dată de relația (5.10). Rezultatele au fost comparate cu cele obținute anterior. Valorile erorilor de interpolare sunt foarte apropiate. De exemplu, pentru semnalul $y(k)=\cos(2\pi k/12)$, diferențele sunt mai mici de 10^{-3} (ordinul de mărime pentru erorile de interpolare). Și pentru alte semnale studiate se păstrează proporția. Aceste rezultate confirmă faptul că metodele sunt echivalente.

Pentru interpolarea cu un factor $m>2$ poate fi folosită oricare dintre cele trei metode prezentate. Pentru valori mari ale factorului de interpolare apar întârzieri semnificative între semnalul de ieșire și cel de intrare. Acest aspect este relevant dacă se face implementarea algoritmului pe un sistem cu procesor numeric de semnal și se dorește prelucrarea în timp real a semnalului.

5.6. Concluzii

Metodele prezentate în acest capitol pot să ducă la îmbunătățirea noilor algoritmi de interpolare spline cubică. Calcularea intercalată a coeficienților în cadrul algoritmilor ce folosesc valoarea derivatei întâi a funcției de aproximare în noduri nu oferă rezultate net mai bune pentru toți termenii. În schimb, introducerea unui pas

suplimentar la procesul de prefiltrare are ca efect reducerea în aceeași proporție a erorilor pentru toate eșantioanele semnalului interpolat. Însă, această scădere este destul de mică. În exemplele prezentate erorile scad aproximativ la jumătate. Acest lucru este valabil doar pentru semnale continue.

În cazul șirurilor de date obținute prin eșantionarea unor semnale cu discontinuități, aceste metode au efect contrar, crescând valorile erorilor în unele puncte de discontinuitate și în vecinătatea acestora.

Introducerea unui pas suplimentar înseamnă efectuarea unor operații în plus, ceea ce duce la timp de prelucrare mai mare, utilizarea mai multor locații de memorie și adăugarea unor întârzieri pentru semnalul de ieșire. Pentru unele aplicații, aceste costuri suplimentare pot să nu se justifice având în vedere câștigul mic.

În schimb, pentru toate cazurile studiate, prelungirea șirului de coeficienți cu câte un element la fiecare capăt duce la reducerea semnificativă a erorilor la capete. Acestea ajung să aibă valori apropiate de cele obținute pentru celelalte elemente din șir.

În cazurile în care, pentru semnalul de intrare se cunosc și derivata întâi sau a doua (de exemplu viteza sau accelerația), valorile acestora se pot utiliza direct pentru determinarea coeficienților și interpolarea semnalului. Noii algoritmi permit calcularea digitală a derivatelor în noduri pe baza eșantioanelor semnalului. Se poate face și derivarea analogică a semnalului, pentru ca apoi să se eșantioneze atât semnalul, cât și derivata acestuia. Dar, această variantă are neajunsuri legate de dimensionarea schemei, alegerea componentelor, sincronizarea procesului de eșantionare și de posibilitatea de amplificare a zgomotului.

Interpolarea cu un factor m de valoare mai mare ca 2 poate pune probleme în determinarea și mai ales implementarea funcției de transfer a filtrului B-spline indirect. Am determinat forma explicită a funcției de transfer pentru $B_4^3(z)$, care este destul de complicată. Au fost prezentate două variante alternative la folosirea acestui filtru. Prima variantă presupune conectarea în cascadă a mai multor filtre de ordin mai mic pentru a realiza aceeași funcție. A doua este mai avantajoasă din punctul de vedere al scrierii și implementării programului dar, poate fi folosită doar pentru cazurile în care factorul de interpolare este de forma $m=2^r$. Aceasta necesită implementarea algoritmului de interpolare cu 2 și aplicarea acestuia de r ori, de fiecare dată semnalul de ieșire fiind semnal de intrare pentru următoarea iterație. Variantele prezentate sunt echivalente, fapt demonstrat și prin rezultatele experimentale obținute.

6. IMPLEMENTAREA ALGORITMULUI 2D PE UN SISTEM CU PROCESOR NUMERIC DE SEMNAL (DSP)

6.1. Introducere

Procesoarele numerice de semnal (în engleză: *Digital Signal Processor* – DSP) sunt circuite integrate a căror structură internă este proiectată și optimizată să execute într-un timp cât mai scurt operații specifice algoritmilor de prelucrare numerică.

Anii '70 reprezintă un început pentru tehnologia de fabricație și aria de utilizare a microprocesoarelor și a procesoarelor de semnal [125], însă primul mare succes de piață îl are firma *Texas Instruments* în anul 1983 cu procesorul *TMS32010* [125]. Alături de *Texas Instruments*, firme ca *Motorola*, *NEC*, *Analog Devices* continuă să îmbunătățească performanțele procesoarelor numerice de semnal și să permită utilizarea lor în domenii din ce în ce mai diverse.

În ultimii ani, aria de folosire a acestora s-a extins la foarte multe aplicații, în sectoare de activitate tot mai diverse. Se poate spune că procesoarele numerice de semnal au un caracter interdisciplinar deoarece nanotehnologia, electronica și programarea intervin în domenii diverse precum matematica și medicina. Sistemele care sunt actualmente pe piață sunt din ce în ce mai orientate pe aplicații. Pe lângă structura de bază, ele prezintă concepte specifice tratării unui anumit tip de probleme. Astfel, se poate vorbi de sisteme cu procesor numeric de semnal dedicate telecomunicațiilor, procesării semnalelor audio sau prelucrării imaginilor. În continuare, se vor prezenta câteva domenii și aplicații în care se folosesc microprocesoare și procesoare numerice de semnal.

Foarte des procesoarele numerice de semnal sunt întâlnite în transferul și prelucrarea informațiilor din telecomunicații (conversații telefonice, semnal de televiziune, transfer de fișiere și date diverse). Transmiterea, compresia și prelucrarea numerică a datelor sunt avantajoase din punct de vedere al cantității mari de informații ce se vehiculează și a costului redus al componentelor. Reprezentarea, prelucrarea și stocarea numerică a oricărui semnal audio este importantă în primul rând pentru a preveni degradarea care este deseori asociată cu manipularea și stocarea analogică a semnalelor. Generarea semnalului vocal și recunoașterea vocală sunt utilizate pentru comunicarea între om și sisteme electronice [86].

Posibilitățile de a implementa rapid unele metode de filtrare și de a genera ușor impulsuri de diferite forme și frecvențe duc la utilizarea procesoarelor în aplicații de eco-locăție (radar, sonar), precum: detectarea unor obiecte, determinarea distanței, vitezei sau a altor caracteristici ale acestora. DSP-urile au fost folosite încă de la început în domeniul reflexiei seismologice pentru detecția unor zăcăminte terestre.

Domeniul prelucrării imaginilor a fost revoluționat de utilizarea procesoarelor numerice de semnal, mai ales în ceea ce privește aplicațiile medicale. Prelucrarea imaginilor reprezintă un subiect distinct pentru prelucrarea numerică și utilizarea

procesoarelor numerice, deoarece acestea sunt semnale cu parametri variabili în spațiu și conțin o cantitate mare de informații. Datele obținute prin tehnici care utilizează rezonanța magnetică pentru investigarea corpului uman (*MRI-Magnetic Resonance Imaging*) sunt redade de obicei prin imagini. Acestea necesită o serie de prelucrări pentru care există procesoare dedicate.

Pentru imagini preluate de aparatele digitale în condiții extreme (de exemplu: de la sateliți, sonde spațiale), procesoarele numerice de semnal pot îmbunătăți calitatea acestora în ceea ce privește luminozitatea, contrastul, reducerea zgomotului, focalizarea [86].

În ultimele 2 decenii, volumul aplicațiilor în care sunt utilizate procesoare de semnal a crescut foarte mult, ceea ce duce la creșterea performanțelor, mărirea vitezei de lucru, scăderea prețului de cost, reducerea consumului de putere ale acestora [26, 127]. La ora actuală, procesoarele de uz general reprezintă un competitor serios pentru procesoarele de semnal în diverse aplicații. În procesele de concepție și construcție a acestora există un schimb de tehnici, astfel că se împrumută concepte care erau utilizate în mod exclusiv la unele sau altele pentru a face față cerințelor pieței.

6.2. Caracteristici generale ale procesoarelor numerice de semnal

Alegerea unui procesor numeric de semnal pentru realizarea unei aplicații în timp real este dependentă de aplicație și este determinată de o serie de factori ce includ: performanță, frecvență de tact, cost, consum de putere, ușurință de utilizare, capabilități de integrare și interfațare [84, 86]. Prelucrarea semnalelor în timp real presupune că operațiile necesare sunt executate asupra eșantionului curent în timpul dintre 2 achiziții consecutive. Cunoșcând viteza cu care se face achiziția semnalului de intrare, trebuie să fim siguri că secvența de cod care realizează operațiile necesare obținerii semnalului de ieșire este executată în acest interval. De aceea este foarte importantă predictibilitatea timpului de execuție.

Viteza de prelucrare este crescută prin implementarea hardware a cât mai multor funcțiuni care se desfășoară în paralel. Ca urmare, procesoarele de semnal conțin cât mai multe resurse integrate ce au posibilitatea să lucreze în paralel: unități aritmetice și logice, multiplicator, registre interne, DMA (controler pentru accesul direct la memorie), interfețe, circuite temporizatoare (timere), magistrale interne care permit accesul separat la zone distincte de memorie internă. Creșterea gradului de paralelism (posibilitatea de a efectua mai multe operații în același ciclu mașină), duce la mărirea vitezei de prelucrare, dar și la o complexitate sporită din punct de vedere constructiv, fiind mai dificil de programat și optimizat.

Prelucrarea numerică a semnalelor analogice (luate din sistemul pentru care se face aplicația) se bazează pe posibilitatea reprezentării acestor semnale prin semnale digitale (semnale eșantionate). Un semnal digital este obținut prin eșantionarea și cuantizarea unui semnal analogic cu ajutorul unui convertor analog numeric (CAN). Semnalele prelucrate pot fi apoi utilizate în sisteme analogice dacă se face conversia lor în semnale analogice cu ajutorul unui convertor numeric analogic (CNA). Multe traductoare și senzori generează semnal analogic, deci împreună cu procesorul este necesar să se utilizeze cel puțin câte un convertor CAN și unul CNA.

Principalul motiv pentru care se preferă prelucrarea semnalelor sub formă digitală este că procesarea numerică permite flexibilitate în programare. Aceeași structură hardware DSP poate fi folosită pentru aplicații diferite prin simpla schimbare a codului aflat în memorie. Prin program se pot realiza prelucrări complexe care necesită multe operații. Se pot implementa și aplicații care nu sunt realizabile prin intermediul circuitelor analogice sau implică costuri foarte mari. Alt motiv este că acest circuit digital furnizează o ieșire mai stabilă și tolerantă în comparație cu circuitele analogice.

Un alt aspect important în utilizarea procesoarelor numerice de semnal este acela al ușurinței cu care se poate face programarea acestora. Tradițional, programarea se făcea în limbaj de asamblare. Acest lucru presupunea o bună cunoaștere a arhitecturii interne și a setului de instrucțiuni ale procesorului. Programarea în limbaj de asamblare permite accesul la toate resursele hard specifice, lucrându-se direct cu registre și locații din memoria de date, nu cu variabile abstracte. Programele se execută mai rapid și sunt optimizate pentru tipul de procesor pentru care au fost scrise. Dacă se dorește mutarea aplicației pe un alt tip de procesor, atunci programul trebuie rescris, ținând cont de structura și instrucțiunile acestuia.

Aplicațiile ce folosesc DSP sunt din ce în ce mai complexe, ceea ce presupune scrierea a mii de linii de cod pentru a le programa. Acest lucru este greu de făcut în limbaj de asamblare și este mai avantajoasă programarea lor într-un limbaj de nivel înalt (se utilizează limbajul C). Pentru aceasta s-au realizat compilatoare pentru limbaje de nivel înalt (de exemplu, compilatoare C pentru procesoarele *Texas Instruments* din familiile 3x, 5x și 6x) și medii de programare ce furnizează unelte de simulare, depanare și urmărire a execuției (de exemplu, *Studio Code Composer* pentru *TMS320C5x* și *TMS320C6x*).

Din cauza creșterii gradului de paralelism și a arhitecturii tot mai complexe a procesoarelor moderne, este destul de greu de creat compilatoare eficiente. Pentru aplicații complexe care rulează în timp real, se poate face următorul compromis: scrierea programului în limbajul C și utilizarea limbajului de asamblare pentru subrutinele critice.

La realizarea unei aplicații sunt esențiale cunoașterea modului de reprezentare a datelor, a caracteristicii convertoarelor, a modului în care se face transmiterea datelor între convertoare și procesor. Din punctul de vedere al reprezentării datelor cu care lucrează, procesoarele se împart în două categorii: în virgulă fixă și în virgulă mobilă (sau virgulă flotantă). Numerele pot fi utilizate în reprezentare binară: cod binar natural, cod binar decalat, cod complementul lui 2, cod complementul lui 1.

Unul dintre cele mai utilizate coduri este codul complementul lui 2, în care se reprezintă numere cu semn pe N biți, din care primul este bit de semn. Un număr întreg cu semn poate fi scris astfel:

$$E = -2^{N-1} * b_{N-1} + 2^{N-2} * b_{N-2} + \dots + 2^1 * b_1 + 2^0 * b_0 \quad (6.1)$$

iar un număr fracționar:

$$F = -2^0 * b_{N-1} + 2^{-1} * b_{N-2} + \dots + 2^{-(N-2)} * b_1 + 2^{-(N-1)} * b_0 \quad (6.2)$$

Un număr mixt este un număr binar care are și parte fracționară și parte întreagă, putând fi scris sub forma:

$$G = -2^{I-1} * b_{I-1} + 2^{I-2} * b_{I-2} + \dots + 2^0 * b_0 + 2^{-1} * b_{-1} + \dots + 2^{-Q} * b_{-Q} \quad (6.3)$$

unde: I = numărul de biți ai părții întregi;

Q = numărul de biți ai părții fracționare.

Între partea întreagă și partea fracționară se găsește virgula. Pentru reprezentarea în format virgulă fixă, poziția virgulei rămâne tot timpul aceeași, indiferent de rezultatul operației, alocându-se un anumit număr de biți pentru partea fracționară și partea întreagă. Adunarea a două numere se face după ce acestea au fost aliniate conform poziției virgulei. La reprezentare în format virgulă flotantă poziția virgulei se modifică în funcție de valoarea numărului, ele fiind reprezentate prin mantisă și exponent. În virgulă fixă scara de reprezentare este liniară, iar cuantizarea este uniformă. În virgulă flotantă scara de reprezentare este neliniară (în progresie geometrică), iar cuantizarea este neuniformă.

Problemele care apar se datorează în principal faptului că numerele se reprezintă pe un număr finit de biți. Intervin erori încă din procesul de eșantionare și cuantizare la conversia analog-numerică (erori de cuantizare, erori de trunchiere), care depind de performanțele convertorului. Se pot folosi doar unele valori dintr-un anumit interval, valori care depind de numărul de biți și de modul de reprezentare. De exemplu: în virgulă fixă, pe 16 biți putem reprezenta valori între 0 și 65535 în cod binar natural sau valori între -32768 și 32767 în cod complementul lui doi (numere cu semn). În urma efectuării unor operații pot să apară rezultate care depășesc intervalele de reprezentare și, dacă nu se ține cont de acest aspect, pot să apară erori foarte mari în execuția unor programe.

Acestea sunt câteva dintre problemele ce trebuie luate în considerare atunci când se dorește implementarea unor algoritmi clasici pe un sistem de dezvoltare dat.

6.3. Descrierea sistemului de prelucrare numerică

Pentru algoritmi de interpolare spline cubică dezvoltăți s-a luat în calcul posibilitatea de implementare a acestora pe un sistem cu procesor numeric de semnal. S-a utilizat sistemul *TMS320C5416 DSK* care are ca element central procesorul numeric de semnal *TMS320VC5416*.

Procesorul lucrează în virgulă fixă, având o arhitectură Harvard îmbunătățită cu o magistrală de program, trei magistrale de date, patru magistrale de adrese și memorii interne. Acestea permit execuția instrucțiunilor în tehnica pipeline (operarea în paralel). Frecvența de tact a procesorului este de 160 MHz.

Unitatea centrală de prelucrare conține o unitate aritmetică și logică de 40 biți și un multiplicator paralel cu operanzi pe 17 biți. Majoritatea liniilor de date și a regiștrilor lucrează cu operanzi pe 16 de biți, unii având posibilitatea de extindere pentru operanzi pe 40 de biți.

Procesorul are un controler pentru acces direct la memorie DMA (în engleză: *Direct Memory Access*) care permite transferul către și din memoria internă, perifericele interne sau componentele externe fără intervenția unității centrale de prelucrare. Mai sunt incluse un circuit temporizator (timer) de câte 16 biți care pot efectua următoarele operații: contorizare evenimente, contorizare timp, generare impuls, generare de întreruperi pentru unitatea centrală de prelucrare, trimitere de secvențe de sincronizare către DMA. Comunicarea cu un calculator gazdă se poate face printr-un port paralel pe 8 biți.

Trei componente principale ale procesorului sunt porturile seriale multicanal de mare viteză care realizează comunicația full-duplex și transmiterea continuă de date prin intermediul unor registre. Acesta permite interfațarea directă cu componente externe care realizează conversia analog-numerică și numeric-analogică sau alte funcții.

Pentru a realiza conversia analog-numerică a semnalelor de la intrarea sistemului și conversia numeric-analogică a semnalelor de ieșire se utilizează circuitul *PCM3002* care este inclus pe placă. Circuitul conține două canale de conversie pe 16 biți: unul pentru conversie analog-numerică și unul pentru conversie numeric-analogică (convertoare delta-sigma). Semnalele analogice de intrare și ieșire pot fi amplificate, iar amplificarea poate fi stabilită prin program. De asemenea și frecvența de eșantionare este programabilă.

Sistemul *TMS320C5416 DSK* mai conține pe placă memorii externe, port USB pentru comunicația între procesor și calculatorul gazdă, conectori pentru semnalele de intrare (*Line in, Mic in*), respectiv ieșire (*Line out, Spkr out*).

Pentru procesoarele de semnal din această familie există un set complet de unelte de dezvoltare optimizate care sunt reunite în *Code Composer Studio (CCS)*. Acesta este un mediu de dezvoltare ce permite editarea programelor, generarea codului sursă, urmărirea execuției și depanarea programelor. *Code Composer Studio* prezintă o interfață *Windows* și are următoarele componente [129]:

- compilator C eficient;
- asamblor optimizat pentru programarea în limbaj de asamblare simplificat și editarea de legături;
- mediu de dezvoltare integrat de management de proiect, depanare, testare și afișare grafică;
- simulator de instrucțiuni;
- software pentru lucrul în timp real;
- sistem ce permite schimbul de date între gazdă și țintă în timp real (RTDX);
- sistem de analiză și vizualizare a datelor în timp real.

Code Composer Studio integrează toate uneltele gazdă și țintă într-un mediu unificat care simplifică configurația de sistem a procesorului și proiectarea aplicațiilor, permițând abordarea ușoară și rapidă printr-o interfață cu utilizatorul foarte prietenoasă.

6.4. Implementarea algoritmului

Sistemul *TMS320C5416 DSK* a fost folosit pentru implementarea algoritmului 2D de interpolare spline cubică. S-a ales acest algoritm datorită faptului că pasul de prefiltrare se face prin intermediul unui filtru cu răspuns finit la impuls simetric. Acest filtru este stabil, ușor de implementat și are o funcție de transfer mai simplă decât cea a filtrului utilizat în algoritmul 2P. De asemenea, în urma testării algoritmului 2D în *Matlab* pe anumite tipuri de semnale des întâlnite, s-au obținut erori de interpolare acceptabile.

Pentru a fi implementat pe procesorul numeric de semnal, programul trebuie altfel structurat și scris în limbajul C. În *Matlab*, întregul șir de eșantioane este supus mai întâi operației de prefiltrare, supraeșantionat și apoi filtrat cu filtrul B-spline indirect. Pentru a putea executa programul în timp real, fiecărui eșantion de la intrare trebuie să i se aplice toate operațiile și să se obțină o valoare la ieșire înainte de a se face achiziția unui nou eșantion [56].

Trebuie să se țină cont de faptul că procesorul lucrează cu date pe 16 biți, iar numerele cu semn sunt reprezentate în cod complementul lui 2. De asemenea, convertorul analog-numeric furnizează eșantioanele semnalului de intrare tot în cod complementul lui 2 pe 16 biți. Procesul de conversie este însoțit de o eroare de trunchiere de maxim:

$$e_{tr} = \frac{1}{2^{15}} \cong 3 \cdot 10^{-5} \quad (6.4)$$

Pentru șirurile de date sunt necesare linii de întârziere care sunt realizate prin deplasarea datelor.

Pentru implementarea *algoritmului 2D de interpolare spline cubică* pe sistemul cu procesor numeric de semnal se realizează un proiect în mediul de dezvoltare *Code Composer Studio*. Proiectul cuprinde fișiere *heder* în care sunt predefinite funcții *C* standard, funcții și macroui utilizate pentru tratarea problemelor specifice legate de componentele procesorului și ale plăcii (stabilirea caracteristicilor circuitului de conversie, inițializarea portului serial multicanal, funcții de scriere și citire a valorilor la portul serial, alte funcții). Principalele fișiere ale proiectului se regăsesc în *Anexa 6*. Printre acestea, este și un fișier de comenzi care conține comenzi și directive de compilare, asamblare și link-editare.

Algoritmul este scris în limbajul *C* și presupune parcurgerea următorilor pași:

- citirea de la intrare a unui eșantion (de la CAN);
- calcularea coeficientului B-spline corespunzător;
- determinarea valorii eșantionului de ieșire;
- trimiterea eșantionului la ieșire (la CNA).

S-au realizat 2 programe distincte: unul pentru reconstrucția semnalului de la intrare și unul pentru interpolarea cu factor $m=2$. Citirea eșantioanelor de la convertorul analog-numeric și trimiterea acestora la convertorul numeric-analogic se face prin intermediul unor funcții dedicate. Semnalul de ieșire va fi întârziat față de cel de intrare datorită modului în care sunt calculate valorile coeficienților și ale eșantioanelor semnalului interpolat.

Frecvența la care lucrează convertoarele analog-numeric și numeric-analogic de pe placă este stabilită în programul principal printr-o funcție specifică și poate fi modificată.

În continuare vor fi prezentate câteva aspecte ale rulării programelor pe simulator, pe procesor și câteva rezultate experimentale.

6.5. Rezultate simulare

Mediul de dezvoltare *Code Composer Studio* furnizat de producător pentru sistemul prezentat permite simularea funcționării procesorului [129]. Acest fapt este util pentru testarea, depanarea programului și analiza rezultatelor înainte de implementarea aplicației pe procesorul de semnal de pe sistemul de dezvoltare.

Programul care descrie *algoritmul 2D* este integrat într-un proiect și compilat. Se assemblează, se link-editează și se generează fișierul executabil, care este încărcat în memoria sistemului și apoi rulat. În figura 6.1 este redată interfața mediului de dezvoltare *Code Composer Studio*.

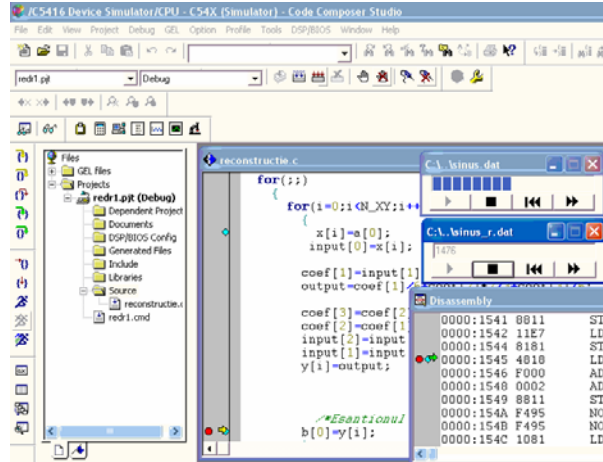


Fig. 6.1. Mediul de dezvoltare a aplicațiilor CCS.

Citirea unui eșantion de la intrare și scrierea unei valori la ieșire sunt simulate prin introducerea unor *puncte de testare (Toggle Probe Point)*. La aceste puncte de testare sunt legate fișiere de date de intrare/ieșire. Din fișierul de intrare se transferă eșantioane într-o variabilă din program, simulând achiziția semnalului la intrarea sistemului. În fișierul de ieșire se scriu date, simulând redarea semnalului la ieșirea sistemului. Datele (atât cele de intrare/ieșire, cât și valorile intermediare) pot fi vizualizate prin intermediul unor grafice. Pentru ca acestea să fie actualizate la fiecare iterație este nevoie de introducerea în program a unui *punct de întrerupere (Toggle Breakpoint)*. Astfel, la rularea programului se pot urmări grafic atât datele de intrare, cât și rezultatele.

Programul de reconstrucție a semnalului este simulat pentru cazul în care la intrare este adus un semnal sinusoidal. Graficele reprezentând semnalul de intrare și cel de ieșire sunt prezentate în figura 6.2 (semnalul inițial în partea de sus și cel de la ieșire în partea de jos).

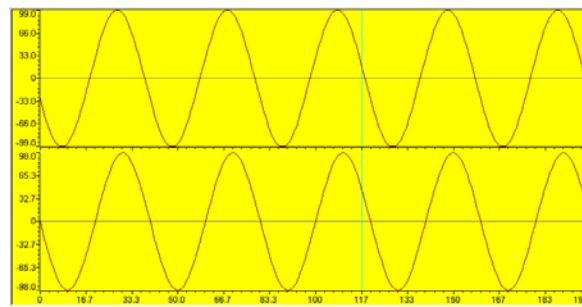


Fig. 6.2. Semnalul de intrare și cel reconstruit (simulare).

Întârzierea între semnalul de la ieșire și cel de la intrare este introdusă de algoritmul de interpolare și se datorează modului în care sunt calculați coeficienții și eșantioanele semnalului de la ieșire. Șirul coeficienților este întârziat cu un tact față de semnalul de la intrare. Semnalul de la ieșire este întârziat față de șirul de

coeficienți cu un număr de perioade de tact care depinde de valoarea factorului de interpolare.

Pentru interpolarea cu factor $m=2$, semnalele se regăsesc în figura 6.3 (semnalul de la intrare în partea de sus și cel interpolat în partea de jos).

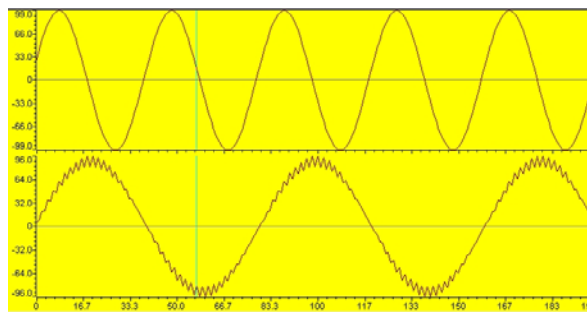


Fig. 6.3. Semnalul de intrare și cel interpolat cu 2 (simulare).

Rezultatele sunt similare cu cele obținute în *Matlab*. S-a trecut apoi la implementarea algoritmului pe sistemul cu procesor numeric de semnal.

6.6. Rezultate la rularea pe procesor

Pe sistemul *TMS320C5416 DSK* s-au implementat 2 proiecte: unul pentru reconstrucția semnalului de la intrarea plăcii (fișierul sursă se regăsește în *Anexa 6*) și altul pentru interpolarea semnalului cu factor $m=2$. La intrarea *Line in* a plăcii s-a legat un generator de funcții care furnizează semnalul de intrare. Pentru vizualizarea semnalului obținut, la ieșirea *Line out* s-a legat un osciloscop. De la generator semnalul ajunge la circuitul *PCM3002*, la intrarea convertorului analog-numeric, este filtrat, eșantionat și cuantizat și apoi trimis către procesor. Semnalul prelucrat este trimis de la procesor convertorului numeric-analogic, reconstituit și scos la ieșirea plăcii. Comunicarea între circuitul de conversie și procesor se face prin intermediul portului serial multicanal al procesorului. Legătura între calculator și placa cu procesor este făcută prin portul USB.

Programul de reconstrucție a semnalului a fost compilat, asamblat și s-a construit fișierul executabil. Acesta a fost încărcat în memoria procesorului și rulat. La intrarea plăcii s-a adus un semnal sinusoidal cu frecvența $f_s=100\text{Hz}$ și tensiune vârf la vârf de 0,6V. Semnalele de la intrarea și ieșirea sistemului au fost vizualizate mai întâi cu ajutorul unui osciloscop analogic. Au fost analizate 2 situații: frecvența de eșantionare f_e de 8kHz și respectiv 48kHz. La $f_e=8\text{kHz}$, semnalul de la ieșire este tot un sinus cu frecvență 100Hz și 0,6V tensiune vârf la vârf. Dar, peste sinus este suprapus și un zgomot. Acest zgomot rămâne la fel și dacă se modifică amplitudinea semnalului de la intrare, sau frecvența acestuia. În cazul în care semnalul de la intrare este redat la ieșire, fără să fie prelucrat, apare același zgomot suprapus peste semnal, deși frecvența minimă de eșantionare pentru circuitul codificator *PCM3002* este de 4kHz.

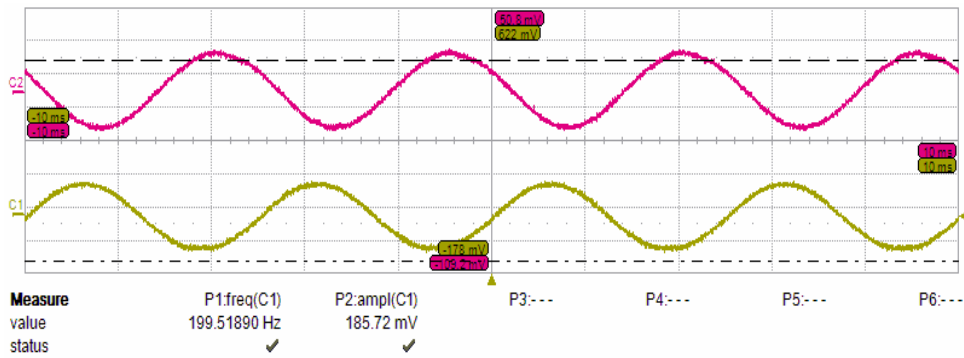
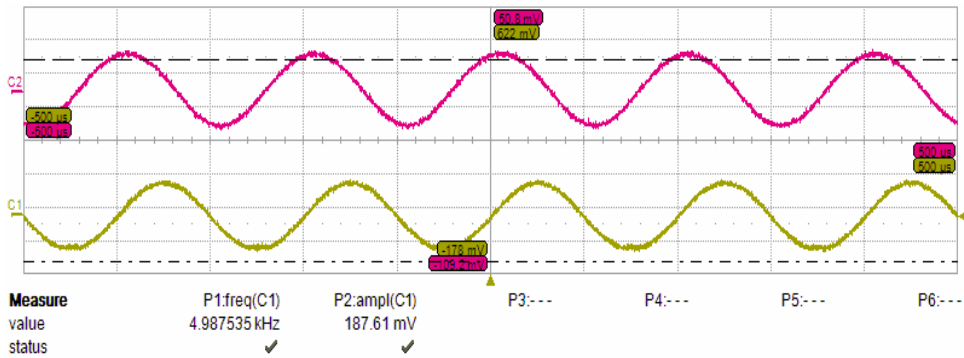
Pentru $f_e=48\text{kHz}$, semnalul de la ieșirea sistemului păstrează parametrii celui de la intrare, fără să mai aibă zgomotul suprapus. La modificarea amplitudinii și frecvenței semnalului de la generator, semnalul de la ieșire plăcii se modifică și el având aceleași caracteristici ca și cel de la intrare. Semnalul de la ieșire este

distorsionat doar dacă semnalul de intrare depășește limitele impuse de parametrii convertorului (amplitudine mai mare de 1V și frecvența semnalului mai mare decât jumătate din frecvența de eșantionare setată).

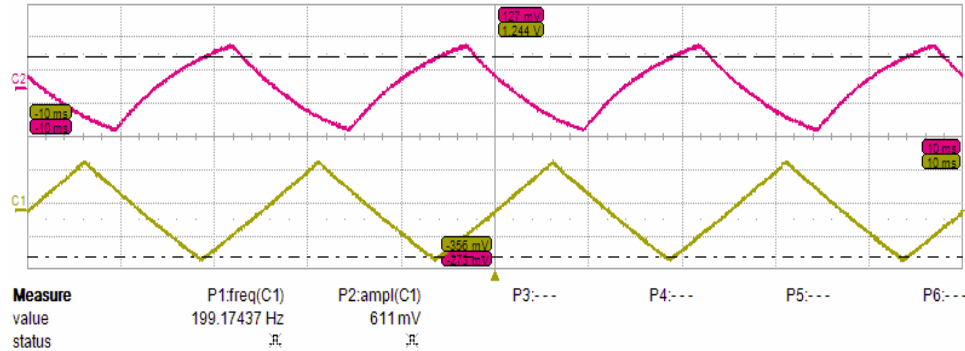
Semnalele au fost vizualizate și cu un osciloscop digital care permite salvarea imaginilor și a datelor de pe ecran. Câteva imagini care au fost obținute cu acesta sunt prezentate în figurile următoare. În fiecare figură semnalul de intrare este redat în partea de jos (canalul 1 – C1) și cel prelucrat apare în partea de sus (canalul 2 – C2).

În figura 6.4 sunt prezentate semnalul de intrare și semnalul de ieșire în cazul rulării programului de reconstrucție pentru un semnal sinusoidal. La o frecvență de 200Hz și o tensiune vârf la vârf de 200mV ale sinusului de la intrare, la ieșire avem aceleași valori pentru semnalul reconstruit.

Parametrii semnalului de intrare se păstrează la ieșire și în cazul în care se prelucrează un sinus cu $f_s=5\text{kHz}$ $U_{VV}=0,6\text{V}$ (figura 6.5).

Fig. 6.4. Sinus cu $f_s=200\text{Hz}$.Fig. 6.5. Sinus cu $f_s=5\text{kHz}$.

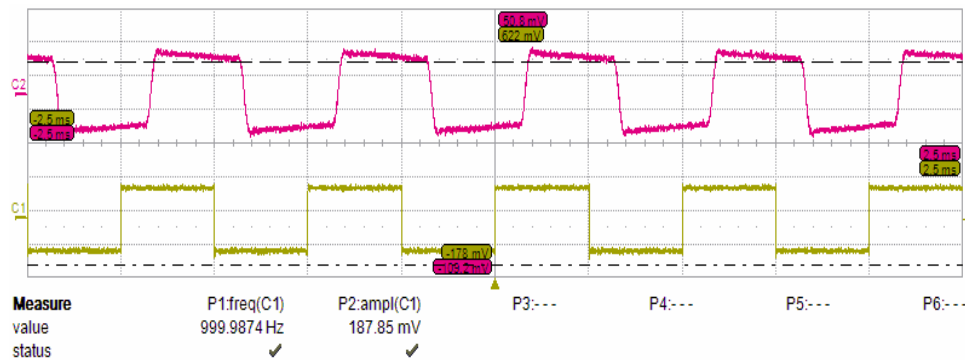
S-a schimbat apoi forma de undă generată, aducând la intrarea sistemului un semnal triunghiular cu frecvența de 200Hz și amplitudine 0,6V. Semnalul (C1), împreună cu rezultatul prelucrării (C2) sunt prezentate în figura 6.6.

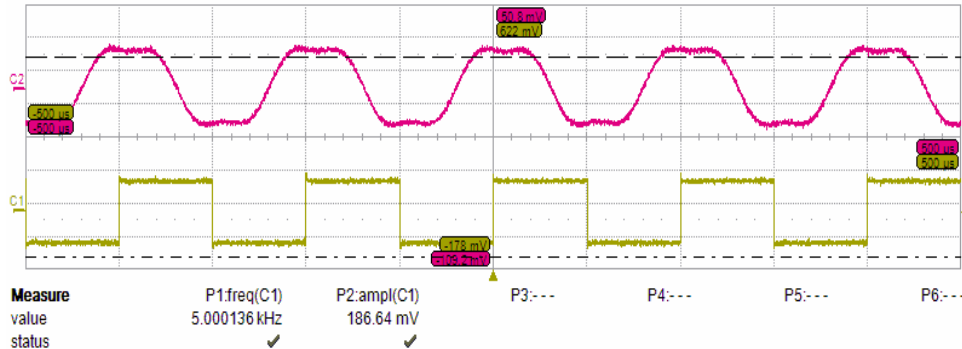
Fig. 6.6. Semnal triunghiular cu $f_s=200\text{Hz}$.

Se poate observa o ușoară distorsionare a semnalului triunghiular. La creșterea frecvenței semnalului de intrare, cel de ieșire este netezit.

Pentru cazul în care la intrarea sistemului de prelucrare se aduce un semnal dreptunghiular cu frecvența de 1kHz, rezultatele sunt redată în figura 6.7. Se observă apariția unor mici oscilații pe durata impulsurilor, oscilații care se atenuează rapid. În cazul creșterii frecvenței semnalului la 5kHz, oscilațiile sunt mai mari și apare și o creștere a duratei fronturilor (figura 6.8).

Și în cazul în care semnalul de intrare este redat la ieșire fără a fi prelucrat, pentru semnalele triunghiular și dreptunghiular se obțin aceleași forme de undă ca în figurile 6.6, 6.7 și 6.8. Aceste neteziri și distorsionări ale semnalelor se datorează circuitului *PCM3002* care realizează conversia datelor. La intrarea circuitului, semnalul analogic este trecut printr-un filtru anti-aliere, convertit în semnal numeric, decimat și apoi trimis la procesor. Datele primite de la procesor sunt interpolate cu un filtru digital, convertite în semnal analogic, semnal care apoi este filtrat cu un filtru trece-jos și scos la ieșirea plăcii [127]. Toate aceste procese de filtrare duc la netezirea semnalelor testate.

Fig. 6.7. Semnal dreptunghiular cu $f_s=1\text{kHz}$.

Fig. 6.8. Semnal dreptunghiular cu $f_s=5\text{kHz}$.

În concluzie, la prelucrarea cu *algoritmul 2D* nu sunt introduse erori suplimentare pentru semnalele de ieșire.

La analiza semnalelor vizualizate pe osciloscopul numeric trebuie să se țină cont de o serie de factori legați de modul în care se face achiziția semnalului la intrarea acestuia și de metodele de prelucrare a datelor, de reprezentare a acestora pe ecran și în fișierele de imagini exportate. De aceea, pentru fiecare exemplu s-au prezentat atât semnalul inițial cât și semnalul prelucrat cu *algoritmul 2D de interpolare spline cubică*.

6.7. Concluzii

S-a studiat posibilitatea ca unul dintre algoritmi de interpolare spline cubică dezvoltăți în această lucrare să fie implementat pe un sistem cu procesor numeric de semnal. *Algoritmul 2D* a fost scris în limbaj *C*, integrat într-un proiect în *Code Composer Studio* și rulat pe sistemul de dezvoltare *TMS320C5416 DSK*. S-au prezentat și analizat câteva dintre rezultatele obținute.

Această metodă de interpolare care presupune implementarea unor filtre FIR simetrice prezintă mai multe avantaje. Dintre acestea este de amintit faptul că algoritmul permite prelucrarea în timp real a unui semnal. Un alt avantaj este acela că algoritmul necesită realizarea unor operații simple și puține ca număr. Aceste aspecte permit o implementare facilă a algoritmului și execuția lui într-un timp scurt.

Rezultatele obținute arată că mai multe tipuri de semnale (dintre cele pentru care s-a făcut testarea și în *Matlab*) pot fi prelucrate cu acest algoritm fără apariția unor erori suplimentare. Distorsionarea și netezirea unor semnale se datorează operațiilor de filtrare pe care circuitul codificator le aplică asupra semnalelor convertite, atât la intrare, cât și la ieșire.

Proiectul poate fi optimizat astfel încât să includă și unele unelte de analiză a datelor în timp real pentru a putea face mai multe observații asupra semnalelor prelucrate. De asemenea, s-ar putea estima și timpii necesari pentru execuția programelor. Algoritmul permite modificări și adaptări pentru diverse situații și cerințe concrete, putând fi integrat în aplicații mai complexe de prelucrare numerică a semnalelor.

7. CONCLUZII ȘI CONTRIBUȚII

Domeniul prelucrării numerice a semnalelor este unul foarte vast, având numeroase aplicații în practică. Abordarea interpolării semnalelor prin tehnici de filtrare numerică în contextul conceptului de interpolare generalizată face ca pentru multe aplicații algoritmi să fie simpli, ușor de implementat și execuția lor să se facă într-un timp scurt. Aceste avantaje au dus la realizarea unui număr mare de noi metode de interpolare care sunt variante modificate ale unora deja cunoscute. Acestea sunt special concepute pentru anumite tipuri de aplicații. Un număr mare de publicații tratează problema interpolării spline prin diferite modele de filtre numerice, fiind prezentate și situațiile în care ele pot fi aplicate. Însă, acestea fac referire doar la utilizarea metodelor în domeniul prelucrării imaginilor și sunt date exemple doar din acest domeniu.

Autoarea a ales să studieze *algoritmul rapid de interpolare spline cubică* din literatură, deoarece acesta stă la baza multor dezvoltări ulterioare. A folosit acest algoritm pentru interpolarea unor tipuri de semnale reprezentate în domeniul timp des întâlnite în teoria semnalelor. Pornind de la rezultatele obținute, a căutat realizarea unor algoritmi similari, care să ofere soluții simple și rapide de interpolare pentru aplicații de procesare în timp real.

În urma cercetărilor și experimentelor efectuate în acest domeniu, se pot evidenția următoarele contribuții ale autoarei:

- A realizat un studiu bibliografic amplu asupra metodelor și algoritmilor de interpolare care utilizează funcții spline, a suportului matematic și a problemelor pe care acestea le implică. Studiul se bazează pe analiza a peste o sută de titluri bibliografice (articole, cărți, site-uri web) și evidențiază actualitatea temei.
- În urma cercetărilor, experimentelor și analizei rezultatelor, autoarea a elaborat 11 lucrări științifice (autoare și coautoare la 10 lucrări publicate, din care una cotate ISI și autoare a unei lucrări acceptată spre publicare la o conferință cotate ISI).
- Autoarea a elaborat un program în *Matlab* prin care a implementat algoritmul rapid de interpolare spline cubică preluat din literatură. În urma testării acestuia pe o serie de semnale binecunoscute, autoarea a identificat câteva neajunsuri ale metodei. Dintre acestea, o importanță deosebită o au următoarele aspecte: algoritmul nu poate fi utilizat pentru prelucrări în timp real a semnalelor și metoda de inițializare introduce erori importante la capetele șirului de coeficienți (paragraful 3.7.2) [91].
- Analizând funcția spline cubică ce aproximează semnalul de intrare, derivatele ei de ordinul întâi și doi și coeficienții B-spline ai modelului, autoarea a stabilit formule pentru inițializarea șirului de coeficienți care nu necesită prelungirea semnalului prin oglindire (paragraful 4.3) [91].
- Pentru metoda de prefiltrare utilizată în *algoritmul rapid de interpolare spline cubică* a propus o formulare alternativă care a dus

la elaborarea *algoritmului zero*. Sistemul este instabil, însă formula de calcul a coeficienților B-spline determinată în cazul acestui algoritm poate fi folosită pentru șiruri scurte de date sau ca metodă adițională pentru îmbunătățirea altor algoritmi (paragraful 4.4) [89].

- A stabilit formula de calcul prin care fiecare coeficient, dintr-un nod oarecare, poate fi calculat folosind valoarea semnalului și valoarea derivatei de ordinul doi a acestuia în nodul respectiv (relația 4.25) [53, 90].
- Autoarea a determinat o relație directă între coeficienții B-spline și valorile în noduri ale derivatei de ordinul întâi a funcției de aproximare (relația 4.34) [90].
- Autoarea a elaborat 3 noi algoritmi de interpolare spline cubică care folosesc valorile în noduri ale derivatei de ordinul întâi, valori determinate pe baza eșantioanelor semnalului (*algoritmii 1A, 1D, și 1P*). În aceste cazuri, pasul de prefiltrare a fost implementat prin filtre IIR (paragraful 4.5) [52, 90].
- A elaborat 3 noi algoritmi de interpolare spline cubică care folosesc valorile derivatei a doua în noduri, valori calculate tot pe baza eșantioanelor semnalului (*algoritmii 2A, 2D, și 2P*). Pasul de prefiltrare a fost realizat prin filtre FIR, pentru *algoritmii 2D și 2P*, filtrele fiind simetrice. Avantajul acestora e dat de faptul că pot fi implementați ușor și eficient pentru prelucrarea semnalelor în timp real (paragraful 4.6) [53, 54].
- Metodele de calcul a coeficienților B-spline stabilite de autoare permit determinarea locală a acestora, fapt care nu se regăsește la nici unul din algoritmii din literatura studiată (capitolul 4).
- Autoarea a propus 2 noi variante de îmbunătățire a metodelor de determinare a coeficienților în cazul noilor algoritmi (paragraful 5.2) [50].
- Autoarea a implementat o nouă metodă simplă și eficientă de prelungire la ambele capete a șirului de coeficienți, metodă care are ca efect reducerea erorilor la capete. Acest erori apar la implementarea tuturor algoritmilor studiați sau elaborați. Aceasta este foarte utilă, mai ales dacă prelucrarea semnalelor se face separat, pe secvențe de eșantioane și nu pentru tot șirul deodată (paragraful 5.3) [51].
- A determinat forma explicită a funcției de transfer a filtrului B-spline indirect pentru interpolare cubică cu factor de interpolare egal cu 4. Aceasta nu este redată în nici una dintre lucrările studiate (relația 5.10) [55].
- A propus și comparat trei noi variante de implementare a interpolării spline cubice cu factor mai mare decât 2, de forma $m=2^r$ (paragraful 5.5) [55].
- A implementat *algoritmul 2D* original pe un sistem cu procesor numeric de semnal. Rezultatele obținute duc la concluzia că procedeul de interpolare propus nu introduce erori suplimentare și poate fi executat în timp real (paragraful 6.4) [56].

Interpolarea semnalelor cu algoritmii 2D și 2P conduce la obținerea unor erori de interpolare mai mari decât în cazul utilizării algoritmului rapid de interpolare cu funcții spline. De cele mai multe ori, în practică, aceste erori au valori acceptabile. Avantajul major este dat de faptul că în cazul noilor algoritmi pasul de

prefiltrare se realizează prin intermediul unor filtre FIR simetrice, ceea ce le face potrivite pentru implementarea eficientă pe sisteme de prelucrare numerică și permit realizarea de prelucrări în timp real.

Ca perspective pentru continuarea cercetării, autoarea își propune să optimizeze varianta prezentată de implementare pe un sistem cu procesor numeric de semnal și să studieze rezultatele utilizării ei și în cazul altor tipuri de semnale.

Este demonstrat că în cazul interpolării generalizate cu funcții spline, la creșterea gradului funcției de interpolare se pot obține rezultate îmbunătățite. De aceea, autoarea intenționează să aplice metodele dezvoltate în această teză și în cazul funcțiilor B-spline de gradul 5. Interpolarea cu funcții spline de gradul 5 se folosește în aplicații de prelucrare a imaginilor care se regăsesc în literatura de specialitate. Însă, pasul de prefiltrare este realizat tot cu filtre IIR, utilizând aceeași metodă ca în cazul interpolării spline cubice. Folosind metode similare cu cele dezvoltate în această teză, autoarea își propune determinarea, în viitor, a unor noi filtre FIR cu ajutorul cărora să se calculeze coeficienții B-spline pentru interpolarea cu funcții de gradul 5.

BIBLIOGRAFIE

- [1] R. Akbar, E. Radoi, S. Azou, "Conception d'une forme d'onde IR-UWB optimisée et analyse de ses performances dans le canal IEEE 802.15.3a", *MajecSTIC 2010* Bordeaux, France, 13-15 octomber 2010.
- [2] A. Aldroubi, M. Eden, M. Unser, "Discrete Spline Filters for Multiresolution and Wavelets of l_2 ", *SIAM Journal on Mathematical Analysis*, vol. 25, no. 5, pp. 1412-1432, September 1994.
- [3] A. Aldroubi, M. Unser, M. Eden, "Cardinal Spline Filters: Stability and Convergence to the Ideal Sinc Interpolator", *Signal Processing*, vol. 28, no. 2, pp. 127-138, August 1992.
- [4] Y. Barbotin, D. Van De Ville, T. Blu, M. Unser, "Fast Computation of Polyharmonic B-Spline Autocorrelation Filters", *IEEE Signal Processing Letters*, vol. 15, pp. 773-776, 2008.
- [5] J.-C. Baritoux, S.C. Sekhar, M. Unser, "A Spline-Based Forward Model for Optical Diffuse Tomography", *Proceedings of the Fifth IEEE International Symposium on Biomedical Imaging: From Nano to Macro (ISBI'08)*, Paris, France, May 14-17, 2008, pp. 384-387.
- [6] O. Bernard, D. Friboulet, P. Thévenaz, M. Unser, "Variational B-Spline Level-Set: A Linear Filtering Approach for Fast Deformable Model Evolution", *IEEE Transactions on Image Processing*, vol. 18, no. 6, pp. 1179-1191, June 2009.
- [7] T. Blu, P.L. Dragotti, M. Vetterli, P. Marziliano, L. Coulot, "Sparse Sampling of Signal Innovations", *IEEE Signal Processing Magazine*, vol. 25, no. 2, pp. 31-40, March 2008.
- [8] T. Blu, P. Thévenaz, M. Unser, "Minimum Support Interpolators with Optimum Approximation Properties", *Proceedings of the 1998 IEEE International Conference on Image Processing (ICIP'98)*, Chicago IL, USA, vol. III, pp. 242-245, October 4-7, 1998.
- [9] T. Blu, P. Thévenaz, M. Unser, "Generalized Interpolation: Higher Quality at no Additional Cost", *Proceedings of the 1999 IEEE International Conference on Image Processing (ICIP'99)*, Kobe, Japan, October 25-28, 1999, vol. III, pp. 667-671.
- [10] T. Blu, P. Thévenaz, M. Unser, "MOMS: Maximal-Order Interpolation of Minimal Support", *IEEE Transactions on Image Processing*, vol. 10, no. 7, pp. 1069-1080, July 2001.
- [11] T. Blu, P. Thévenaz, M. Unser, "Linear Interpolation Revitalized", *IEEE Transactions on Image Processing*, vol. 13, no. 5, pp. 710-719, May 2004.
- [12] T. Blu, M. Unser, "Quantitative Fourier Analysis of Approximation Techniques: Part I—Interpolators and Projectors", *IEEE Transactions on Signal Processing*, vol. 47, no. 10, pp. 2783-2795, October 1999.
- [13] V. V. Burov, V. G. Getmanov, S. E. Orlov, V. V. Petronevich, "Method of digital filtration of experimental data sequences with the use of approximation spline functions", *Optoelectronics, Instrumentation and Data Processing*, vol. 47, no. 1, pp. 29-38, 2011.

-
- [14] L. Condat, D. Van De Ville, "New Optimized Spline Functions for Interpolation on the Hexagonal Lattice", *Proceedings of the 2008 IEEE International Conference on Image Processing (ICIP'08)*, San Diego CA, USA, October 12-15, 2008, pp. 1256-1259.
- [15] C. de Boor, "Splines as Linear Combination of B-Splines. A Survey", *Approximation Theory, II*, Academic Press, New-York, 1976.
- [16] C. de Boor, *A Practical Guide to Splines*, Springer-Verlag, New-York, 1978.
- [17] C. de Boor, "The Condition of the B-Spline Basis for Polynomial", *SIAM J. Numer. Anal.*, vol. 25, pp. 148-152, 1988.
- [18] C. de Boor, "B(asic)-Spline Basics", *Fundamental Developments of Computer-Aided Geometric Modeling*, pp. 27-49, Academic Press, 1993.
- [19] C. de Boor, R. E. Lynch, "On Splines and their Minimum Properties", *Jour. Math. Mech.*, vol. 15, pp. 953-969, 1966.
- [20] Gh. Dodescu, *Metode Numerice în Algebră*, Editura Tehnică, București, 1979.
- [21] P.L. Dragotti, M. Vetterli, T. Blu, "Sampling Moments and Reconstructing Signals of Finite Rate of Innovation: Shannon Meets Strang-Fix", *IEEE Transactions on Signal Processing*, vol. 55, no. 5, part 1, pp. 1741-1757, May 2007.
- [22] J. Eyre, "The Digital Processor Derby", *IEEE Spectrum*, vol. 38, no. 6, pp. 62-68, June 2001.
- [23] P. J. S. G. Ferreira, "Interpolation and the Discrete Papoulis-gerchberg Algorithm", *IEEE Transactions on Signal Processing*, vol. 42, no. 10, October 1994.
- [24] K. M. Flornes, "Sampling and Interpolation for Bandlimited L^p -functions", *Proceedings of the 1997 Workshop on Sampling Theory and Applications, SampTA-97*, Aveiro, Portugal, pp. 291-295, June 1997.
- [25] B. Forster, T. Blu, M. Unser, "Complex B-Splines", *Applied and Computational Harmonic Analysis*, vol. 20, no. 2, pp. 261-282, March 2006.
- [26] G. Frantz, "Digital Signal Processor Trends", *IEEE Micro*, vol. 20, no.6, pp. 52-59, December 2000.
- [27] P. Găvrută, O. Lipovan, P. Năslău, *Metode numerice (curs)*, Centrul de Multiplicare al Institutului Politehnic "Traian Vuia" din Timișoara, 1989.
- [28] A. Gotchev, J. Vesma, T. Saramäki, K. Egiazarian, "Digital Image Resampling by modified B-Spline functions", *Norsig 2000, Nordic Signal Processing Symposium*, Kolmarden, Sweden, June 13-15, 2000, pp. 259-262.
- [29] A. Gotchev, J. Vesma, T. Saramäki, K. Egiazarian, "Modified B-Spline Functions for Efficient Image Interpolation", *First IEEE Balkan Conference on Signal Processing, Communications, Circuits and Systems*, June 2-3, Istanbul, Turkey, pp. 241-244.
- [30] A. Gotchev, K. Egiazarian, T. Saramäki, "Image interpolation by optimized spline-based kernels", *Advances in Signal Transforms Theory and Applications*, 2007, pp. 285-335.
- [31] A. Hirabayashi, M. Unser, "Consistent Sampling and Signal Recovery", *IEEE Transactions on Signal Processing*, vol. 55, no. 8, pp. 4104-4115, August 2007.
- [32] S. Horbelt, A. Muñoz Barrutia, T. Blu, M. Unser, "Spline Kernels for Continuous-Space Image Processing", *Proceedings of the Twenty-Fifth IEEE International Conference on Acoustics, Speech, and Signal Processing (ICASSP'00)*, Istanbul, Turkey, June 5-9, 2000, vol. IV, pp. 2191-2194.

- [33] S. Horbelt, "Splines and Wavelets for Image Warping and Projection", Swiss Federal Institute of Technology Lausanne, EPFL Thesis no. 2397 (2001), 131 p., May 23, 2001.
- [34] H. Hou, H. Andrews, "Cubic Splines for Image Interpolation and Digital Filtering", *IEEE Transactions on Acoustics, Speech and Signal Processing*, Vol. ASSP-26, No. 6, pp. 22-38, Dec. 1978.
- [35] Y. K. Hu, X. M. Yu, "Perfect Spline Approximation", *Journal of Approximation Theory*, vol.121, no. 2, pp. 229-243, April 2003.
- [36] K. Ichige, M. Kamada, "An Approximation for Discrete B-Splines in Time Domain", *IEEE Signal Processing Letters*, vol. 4, no. 3, pp. 82-84, March 1997.
- [37] K. Ichige, M. Kamada, R. Ishii, "A Simple Scheme of Decomposing and Reconstructing Continuous-Time Signals By B-Splines", *IEICE Transactions on Fundamentals of Electronics, Communications and Computer Sciences*, pp. 2391-2399, Nov. 1998.
- [38] M. Jacob, T. Blu, M. Unser, "Sampling of Periodic Signals: A Quantitative Error Analysis", *IEEE Transactions on Signal Processing*, vol. 50, no. 5, pp. 1153-1159, May 2002.
- [39] T. Jurca, *Aplicațiile procesoarelor de semnal în instrumentația de măsurare*, Editura Politehnica Timișoara, 2001.
- [40] M. Kamada, K. Toraichi, R. E. Kalman, "A Smooth Signal Generator Based on Quadratic B-Spline Functions", *IEEE Trans. on Signal Processing*, vol.43, no. 5, pp.1252-1255, May 1995.
- [41] J. Kybic, T. Blu, M. Unser, "Generalized Sampling: A Variational Approach", *Proceedings of the Fourth International Conference on Sampling Theory and Applications (SampTA'01)*, Orlando FL, USA, May 13-17, 2001, pp. 151-154.
- [42] J. Kybic, T. Blu, M. Unser, "Generalized Sampling: A Variational Approach—Part I: Theory", *IEEE Transactions on Signal Processing*, vol. 50, no. 8, pp. 1965-1976, August 2002.
- [43] J. Kybic, T. Blu, M. Unser, "Generalized Sampling: A Variational Approach—Part II: Applications", *IEEE Transactions on Signal Processing*, vol. 50, no. 8, pp. 1977-1985, August 2002.
- [44] O. Kounchev, *Multivariate Polysplines, Applications to Numerical and Wavelet Analysis*, Elsevier Ltd., 2001.
- [45] D. Larionescu, *Metode Numerice*, Editura Tehnică, București, 1989.
- [46] Th. M. Lehman, C. Gonner, K. Spitzer, "Survey: Interpolation Methods in Medical Image Processing", *IEEE Transactions on Medical Imaging*, vol. 18, pp. 1049-1075, November 1999.
- [47] Th. M. Lehman, C. Gonner, K. Spitzer, "Addendum: B-Spline Interpolation in Medical Image Processing", *IEEE Transactions on Medical Imaging*, vol. 20, no. 7, pp. 660-665, July 2001.
- [48] P. Marziliano, M. Vetterli, T. Blu, "Sampling and Exact Reconstruction of Bandlimited Signals with Additive Shot Noise", *IEEE Transactions on Information Theory*, vol. 52, no. 5, pp. 2230-2233, May 2006.
- [49] M. Matsuo, M. Kamada, H. Habuchi, "Design Of UWB Pulses by Spline Approximation", *IEEE Wireless Communications et Networking Conference*, vol. 2, pp. 764 – 769, March 2005.
- [50] **L. Mățiu-Iovan**, "Improvements to the Algorithm that Use Divided Differences to Determine the Coefficients in B-Spline Interpolation", *Proceedings of the 15-th IMEKO TC 4 International Symposium on Novelities*

- in *Electrical Measurements and Instrumentations*, Iași, vol. 2, November 18-22, 2007, pp. 616-619.
- [51] **L. Mățiu-Iovan**, C. Dughir, "Decreasing the Side Errors by Extending the Coefficients String in the B-Spline Interpolation", *Proceedings of the IX-th International Symposium "Young People and Multidisciplinary Research"*, Timișoara, November 15-16, 2007, pp. 99-102.
- [52] **L. Mățiu-Iovan**, C. Dughir, G. Gășpăresc, "The First Derivative Algorithm for Calculating the B-Spline Coefficients Applied on Discontinuous Signals", *Proceedings of the First International Conference "Research People and Actual Tasks on Multidisciplinary Sciences"*, Lozenec, Bulgaria, vol. 2, June 6-8, 2007, pp. 316-320.
- [53] **L. Mățiu-Iovan**, F. M. Frigură-Iliasa, C. Popa, E. Zeng, "Determining the Coefficients in B-spline Interpolation by Using the Second Derivative", *Proceedings of EUROCON 2007 The International Conference on "Computer as a tool"*, Warsaw, Poland, September 9-12, 2007, pp. 142-145.
- [54] **L. Mățiu-Iovan**, F. M. Frigură-Iliasa, D. Vătău, "A Method to Determine the Coefficients in B-Spline Interpolation", *Proceedings of ELECO 2007 5-th International Conference on Electrical and Electronics Engineering*, Bursa, Turcia, December 5-9, 2007, pp. 160-163.
- [55] **L. Mățiu-Iovan**, F. M. Frigură-Iliasa, "Algorithms of Cubic B-Spline Interpolation Extended for $m > 2$ ", *Proceedings of 2012 8th International Symposium on Communication Systems, Networks and Digital Signal Processing (CSNDSP)*, Poznan, Poland, July 18-20, 2012, IEEE Catalog Number: CFP1274D-DVD.
- [56] **L. Mățiu-Iovan**, "Some Aspects of Implementing a Cubic Spline Interpolation Algorithm on a DSP", *acceptată spre publicare la ISETC 2012*.
- [57] S. Mckinley, M. Levine, *Cubic Splines Interpolation*, on <http://online.redwoods.cc.ca.us/instruct/darnold/laproj/fall98/Skymeg>
- [58] E. Meijering, "A Chronology of Interpolation: From Ancient Astronomy to Modern Signal and Image Processing", *Proceedings of the IEEE*, vol. 90, no. 3, pp. 319-342, March 2002.
- [59] E. Meijering, M. Unser, "A Note on Cubic Convolution Interpolation", *IEEE Transactions on Image Processing*, vol. 12, no. 4, pp. 477-479, April 2003.
- [60] Gh. Micula, *Funcții Spline și Aplicații*, Editura Tehnică, București, 1978.
- [61] Gh. Micula, S. Micula, *Handbook of Splines*, Kluwer Academic Publishers, Dordrecht-Boston-London, 1999.
- [62] A. Muñoz Barrutia, T. Blu, M. Unser, "Non-Uniform to Uniform Grid Conversion Using Least-Squares Splines", *Proceedings of the Tenth European Signal Processing Conference (EUSIPCO'00)*, Tampere, Finland, September 4-8, 2000, vol. IV, pp. 1997-2000.
- [63] A. Muñoz Barrutia, T. Blu, M. Unser, "Least-Squares Image Resizing Using Finite Differences", *IEEE Transactions on Image Processing*, vol. 10, no. 9, pp. 1365-1378, September 2001.
- [64] I. Nafornită, A. Câmpeanu, A. Isar, *Semnale Circuite și Sisteme*, Editura "Politehnica", Timișoara, 1995.
- [65] P. Năslău, *Metode numerice*, Editura Politehnica, Timișoara, 1995.
- [66] P. Năslău, R. Negrea, L. Cădariu, B. Căruntu, D. Popescu, M. Balmez, C. Dumitrașcu, *Matematici asistate de calculator: Matlab, Mathcad, Mathematica, Maple, Derive*, Editura Politehnica, Timișoara, 2005.
- [67] T. Oliveira e Silva, "On the Application of an Optimal Spline Sampling Theorem to Parametric Modeling of Nonstationary Signals", *Proceedings of*

- the 1997 Workshop on Sampling Theory and Applications, SampTA-97, Aveiro, Portugal, pp. 425-430, June 1997.
- [68] J.-C. Olivo-Marin, M. Unser, L. Blanc-Féraud, A. Laine, B. Lelieveldt, "Trends in Bioimaging and Signal Processing", *IEEE Signal Processing Magazine*, vol. 28, no. 6, pp. 200 (191), November 2011.
- [69] E. Pop, I. Nafornit \breve{a} , V. Tiponu \breve{t} , A. Mih \breve{a} escu, L. Toma, *Metode \breve{m} prelucrarea numeric \breve{a} a semnalelor*, Editura Facla, Timi \breve{s} oara, 1989.
- [70] R. A. Quinnell, *New DSP Architectures Go "Post-Harverd" for Higher Performance and Flexibility*, on http://www.techonline.com/community/related_content/20520
- [71] U. Rajashekar, A.C. Bovik, D. Sage, M. Unser, L.J. Karam, R.L. Lagendijk, "Image Processing Education", *Handbook of Image & Video Processing (Second Edition)*, A. Bovik, Ed., Elsevier Academic Press, Amsterdam, The Netherlands, pp. 73-95, 2005.
- [72] S. Ramani, D. Van De Ville, T. Blu, M. Unser, "Nonideal Sampling and Regularization Theory", *IEEE Transactions on Signal Processing*, vol. 56, no. 3, pp. 1055-1070, March 2008.
- [73] S. Ramani, P. Th \breve{e} venaz, M. Unser, "Regularized Interpolation for Noisy Data", *Proceedings of the Fourth IEEE International Symposium on Biomedical Imaging: From Nano to Macro (ISBI'07)*, Arlington VA, USA, April 12-15, 2007, pp. 612-615.
- [74] R. M. Rangayyan, *Biomedical Signal Analysis*, IEEE Press, Wiley-Interscience, USA, 2002.
- [75] Th. J. Rivlin, *An Introduction to the Approximation of Functions*, Blaisdell Publishing Company, Waltham, Massachusetts, 1969.
- [76] D. Ruijters, P. Th \breve{e} venaz, "GPU Prefilter for Accurate Cubic B-Spline Interpolation", *The Computer Journal*, vol. 55, no. 1, pp. 15-20, January 2012.
- [77] C.S. Seelamantula, M. Unser, "A Generalized Sampling Method for Finite-Rate-of-Innovation-Signal Reconstruction", *IEEE Signal Processing Letters*, vol. 15, pp. 813-816, 2008.
- [78] C.S. Seelamantula, M. Unser, "A Method for Generalized Sampling and Reconstruction of Finite-Rate-of-Innovation Signals", *Proceedings of the Eighth International Workshop on Sampling Theory and Applications (SampTA'09)*, Marseilles, France, May 18-22, 2009.
- [79] I. J. Schoenberg, "Contribution to the problem of approximation of equidistant data by analytic functions", *Quart. Applied math.*, vol. 4, pp. 45-99, 112-141, 1946.
- [80] I. J. Schoenberg, "On Equidistant Cubic Spline Interpolation", *Bulletin of the American Mathematical Society*, vol. 77, no. 6, pp. 1039-1044, November 1971.
- [81] I. J. Schoenberg, "Cardinal Interpolation and Spline Functions", *Journal of Approximation Theory*, vol. 2, pp. 167-206, 1969.
- [82] I. J. Schoenberg, "A brief account of my life and work", *I. J. Schoenberg, Selected Papers*, ed. C. de Boor, Volume I, pp. 1-10, Birkh \breve{a} user, Boston, 1988.
- [83] A. Scott, *Introduction to Splines*, <http://cnx.org/content/m11153/2.1/>
- [84] N. Kehtarnavaz, B. Simsek, *C6X - Based Digital Signal Processing*, Prentice Hall, 2000.
- [85] I. Singer, *Bases in Banach Spaces I*, Springer-Verlag Berlin-Heidelberg-New York, 1970.

- [86] S. W. Smith, *Digital Signal Processing – A Practical Guide for Engineers and Scientists*, Newnes –An imprint of Elsevier Science, USA, 2003, <http://www.dspguide.com>.
- [87] O. Stănășilă, *Analiză Matematică*, Editura Didactică și Pedagogică, București, 1981.
- [88] L. Stoica, "Splines Functions in Digital Signal Processing", *Proceedings of the V-th International Symposium "Young People and Multidisciplinary Research"*, pp. 164-169, Timișoara, Noiembrie 2003.
- [89] L. Stoica, "The Study of a Divergent Algorithm for Calculating the B-Spline Coefficients", *Proceedings of the VIII-th International Symposium "Young People and Multidisciplinary Research"*, pp. 251-256, Timișoara, 11-12 Mai 2006.
- [90] L. Stoica, "A New Algorithm for Determining the Coefficients in B-spline Interpolation", *Scientific Bulletin of the "Politehnica" University of Timișoara, Transactions on Electronics and Communications*, Vol. 51(65), No 2, "Etc2006", pp. 5-8, 2006.
- [91] L. Stoica, "Contributions in Recursive Filtering for B-spline Interpolation in Signal Processing", *Scientific Bulletin of the "Politehnica" University of Timișoara, Transactions on Electronics and Communications*, Vol. 51(65), No 2, "Etc2006", pp. 44-49, 2006.
- [92] P. Stoica, R. L. Moses, *Introduction to Spectral Analysis*, Prentice Hall, Upper Saddle River, New Jersey, 1997.
- [93] I. Gh. Șabac, *Matematici Speciale*, vol. 2, Editura Didactica si Pedagogica Publishing House, Bucuresti, 1965
- [94] I. Gh. Șabac, P. Cocârlan, O. Stănășilă, A. Topală, *Matematici speciale*, vol. 2, Editura Didactică și Pedagogică, București, 1983.
- [95] P.D. Tafti, S. Shirani, X. Wu, "On Interpolation and Resampling of Discrete Data", *IEEE Signal Processing Letters*, vol. 13, no. 12, pp. 733-736, December 2006.
- [96] P. Thévenaz, T. Blu, M. Unser, "Image Interpolation and Resampling", *Handbook of Medical Imaging, Processing and Analysis*, I.N. Bankman, Ed., Academic Press, San Diego CA, USA, pp. 393-420, 2000.
- [97] P. Thévenaz, T. Blu, M. Unser, "Interpolation Revisited", *IEEE Transactions on Medical Imaging*, vol. 19, no. 7, pp. 739-758, July 2000.
- [98] M. Unser, "A General Hilbert Space Framework for the Discretization of Continuous Signal Processing Operators", *Proc. of SPIE Conf. wavelet Applications in Signal and Image Processing III*, San Diego, CA, vol. 2569, no. 6, pp. 51-61, 1995.
- [99] M. Unser, "An Extension of Papoulis' Sampling Theorem for Non-Bandlimited Functions", *Proceedings of the International Workshop on Sampling Theory and Applications SampTA-97*, Aveiro, Portugal, June 16-19, pp. 10-15, 1997.
- [100] M. Unser, "Splines: A Perfect Fit for Signal and Image Processing", *IEEE Signal Processing Magazine*, vol. 16, no. 6, pp. 22-38, November 1999.
- [101] M. Unser, "Sampling—50 Years after Shannon", *Proceedings of the IEEE*, vol. 88, no. 4, pp. 569-587, April 2000.
- [102] M. Unser, "Splines and Wavelets for Medical Imaging", *Proceedings of the Fourth IEEE EMBS Berder International Summer School on Biomedical Imaging*, June 17-24, 2000, Île de Berder, France.
- [103] M. Unser, "Splines: A Perfect Fit for Medical Imaging", Plenary talk, *Proceedings of the SPIE International Symposium on Medical Imaging:*

- Image Processing (MI'02)*, San Diego CA, USA, February 24-28, 2002, vol. 4684, part I, pp. 225-236.
- [104] M. Unser, "Splines and Wavelets: New Perspectives for Pattern Recognition," *Pattern Recognition, Lecture Notes in Computer Science*, vol. 2781, pp. 244-248, Springer-Verlag Berlin Heidelberg, 2003.
- [105] M. Unser, "Cardinal Exponential Splines: Part II—Think Analog, Act Digital", *IEEE Transactions on Signal Processing*, vol. 53, no. 4, pp. 1439-1449, April 2005.
- [106] M. Unser, "Sampling: 60 Years After Shannon", *Plenary talk, Sixteenth International Conference on Digital Signal Processing (DSP'09)*, Santorini, Greece, July 5-7, 2009.
- [107] M. Unser, A. Aldroubi, "Polynomial Spline Signal Processing Algorithms", *Proceedings of the Seventeenth IEEE International Conference on Acoustics, Speech, and Signal Processing (ICASSP'92)*, San Francisco CA, USA, March 23-26, 1992, vol. III, pp. 177-180.
- [108] M. Unser, A. Aldroubi, M. Eden, "Fast B-Spline Transforms for Continuous Image Representation and Interpolation", *IEEE Transactions on Pattern Analysis and Machine Intelligence*, vol. 13, no. 3, pp. 277-285, March 1991.
- [109] M. Unser, A. Aldroubi, M. Eden, "Recursive Regularization Filters: Design, Properties, and Applications", *IEEE Transactions on Pattern Analysis and Machine Intelligence*, vol. 13, no. 3, pp. 272-277, March 1991.
- [110] M. Unser, A. Aldroubi, M. Eden, "Polynomial Spline Signal Approximations: Filter Design and Asymptotic Equivalence with Shannon's Sampling Theorem", *IEEE Transactions on Information Theory*, vol. 38, no. 1, pp. 95-103, January 1992.
- [111] M. Unser, A. Aldroubi, M. Eden, "B-Spline Signal Processing: Part I—Theory", *IEEE Transactions on Signal Processing*, vol. 41, no. 2, pp. 821-833, February 1993.
- [112] M. Unser, A. Aldroubi, M. Eden, "B-Spline Signal Processing: Part II—Efficient Design and Applications", *IEEE Transactions on Signal Processing*, vol. 41, no. 2, pp. 834-848, February 1993.
- [113] M. Unser, T. Blu, "Cardinal Exponential Splines: Part I—Theory and Filtering Algorithms", *IEEE Transactions on Signal Processing*, vol. 53, no. 4, pp. 1425-1438, April 2005.
- [114] M. Unser, T. Blu, "Generalized Smoothing Splines and the Optimal Discretization of the Wiener Filter", *IEEE Transactions on Signal Processing*, vol. 53, no. 6, pp. 2146-2159, June 2005.
- [115] M. Unser, T. Blu, "Self-Similarity: Part I—Splines and Operators", *IEEE Transactions on Signal Processing*, vol. 55, no. 4, pp. 1352-1363, April 2007.
- [116] M. Unser, S. Horbelt, T. Blu, "Fractional Derivatives, Splines and Tomography", *Proceedings of the Tenth European Signal Processing Conference (EUSIPCO'00)*, Tampere, Finland, September 4-8, 2000, vol. IV, pp. 2017-2020.
- [117] M. Unser, J. Zerubia, "Generalized Sampling without Bandlimiting Constraints", *Proceedings of the Twenty-Second IEEE International Conference on Acoustics, Speech, and Signal Processing (ICASSP'97)*, Munich, Germany, April 21-24, 1997, vol. III, pp. 2113-2116.
- [118] M. Unser, J. Zerubia, "A Generalized Sampling Theory without Band-Limiting Constraints", *IEEE Transactions on Circuits and Systems—II: Analog and Digital Signal Processing*, vol. 45, no. 8, pp. 959-969, August 1998.

-
- [119] P.P. Vaidyanathan, "Sampling Theorems for non Bandlimited Signals: Theoretical Impact and Practical Applications", *Proceedings of the 4th International Conferences on Sampling Theory and Applications*, plenary paper, May 2001, Orlando.
- [120] P.P. Vaidyanathan, B. Vrcelj, "On Sampling Theorems for non Bandlimited Signals", *Proceedings of IEEE International Conference on Acoustics, Speech and Signal Processing ICASSP'01*, vol. 6, pp. 3897-3900, Salt Lake City, Utah, 2001.
- [121] D. Van De Ville, T. Blu, M. Unser, W. Philips, I. Lemahieu, R. Van de Walle, "Hex-Splines: A Novel Spline Family for Hexagonal Lattices", *IEEE Transactions on Image Processing*, vol. 13, no. 6, pp. 758-772, June 2004.
- [122] M. Vetterli, P. Marziliano, T. Blu, "Sampling Signals with Finite Rate of Innovation", *IEEE Transactions on Signal Processing*, vol. 50, no. 6, pp.1417-1428, June 2002.
- [123] B. Vrcelj, P.P. Vaidyanathan, "Efficient Implementation of All-Digital Interpolation", *IEEE Transactions on Image Processing*, Vol. 10, No. 11, pp. 1639-1646, November 2001.
- [124] ***, <http://bigwww.epfl.ch>
- [125] ***, <http://www.campusprogram.com/reference/en/wikipedia>
- [126] ***, <http://encyclopedia.thefreedictionary.com>
- [127] ***, <http://www.ti.com>
- [128] ***, <http://mathworld.wolfram.com/>
- [129] ***, Texas Instruments: *Software Development Systems*, Code Composer Studio CD ROM
- [130] ***, <http://pages.cs.wisc.edu/~deboor/>
- [131] <http://www.uspto.gov/web/patents/patog/week27/OG/html/1380-1/US08213876-20120703.html>
- [132] <http://www.uspto.gov/web/patents/patog/week27/OG/html/1380-1/US08213876-20120703.html>

ANEXA 1. IMPLEMENTAREA ALGORITMULUI RAPID DE INTERPOLARE SPLINE CUBICĂ

Anexa 1.1. Programul în *Matlab* prin care se implementează algoritmul rapid de interpolare spline cubică

```
clear all;
y=load('semnal.dat'); % citire semnal de intrare
N=length(y);
k0=8; %k0=7
z1=-2+sqrt(3);
c=zeros(1,N);
cp=zeros(1,N);
cm=zeros(1,N);
t=0:(N-1);

sum=0; % calcularea ccoeficienților
for k=1:k0
    sum=sum+y(k)*z1^(k-1);
end
cp(1)=sum;
for k=2:N
    cp(k)=y(k)+(z1*cp(k-1));
end
cm(N)=(z1/((z1^2)-1))*(cp(N)+(z1*cp(N-1)));
for k=(N-1):(-1):1
    cm(k)=z1*(cm(k+1)-cp(k));
end
c=cm*6;
save semnal_c.dat -ascii -double c % salvarea coeficienților în fișier

s=zeros(1,N); % reconstrucția semnalului
b13=[1/6, 2/3, 1/6]; % B-spline _3_1
s(1)=c(1)*2/3+c(2)/6;
for k=2:N-1
    sum=0;
    for i=1:3
        j=k-i+2;
        sum=sum+c(j)*b13(i);
    end
    s(k)=sum;
end
s(N)=c(N)*2/3+c(N-1)/6;
save semnal_r.dat -ascii -double s %salvarea semnalului reconstruit în fișier
```

```

m=2;          % interpolarea cu factor m=2
D=m*N-1;
in=zeros(1,D);
cc=zeros(1,D);
b23=[1/48, 1/6, 23/48, 2/3, 23/48, 1/6, 1/48]; %B-spline_3_2
for i=1:D      % supraeșantionarea șirului de coeficienți
    if (((i+1)/m)==round((i+1)/m))
        cc(i)=c((i+1)/m);
    end
end
in(1)=cc(1)*2/3+cc(2)*23/48+cc(3)/6+cc(4)/48;
in(2)=cc(1)*23/48+cc(2)*2/3+cc(3)*23/48+cc(4)/6+cc(5)/48;
in(3)=cc(1)/6+cc(2)*23/48+cc(3)*2/3+cc(4)*23/48+cc(5)/6+cc(6)/48;
for k=4:D-3
    sum=0;
    for i=1:7
        j=k-i+2*m;
        sum=sum+cc(j)*b23(i);
    end
    in(k)=sum;
end
in(D-2)=cc(D)/6+cc(D-1)*23/48+cc(D-2)*2/3+cc(D-3)*23/48+cc(D-4)/6+cc(D-5)/48;
in(D-1)=cc(D)*23/48+cc(D-1)*2/3+cc(D-2)*23/48+cc(D-3)/6+cc(D-4)/48;
in(D)=cc(D)*2/3+cc(D-1)*23/48+cc(D-2)/6+cc(D-3)/48;
in=load('semnal_in.dat');

ein=yin-in;          % erorile de interpolare
save semnal_ein.dat -ascii -double ein % salvarea erorilor de interpolare
figure
plot(t,ein);        % grafic pentru erorile de interpolare
ylabel('Amplitudine')
xlabel('Numar esantioane')
title('Eroarea de interpolare')

t4=0:2:(D-1);      % interpolarea semnalului utilizând
y4=interp1(t4,y,t,'spline'); % funcția specifică din Matlab
figure
plot(t,y4,'*-');
ylabel('Amplitudine')
xlabel('Numar esantioane')
title('Interpolare spline Matlab')

```

Anexa 1.2. Rezultate obținute la rularea programului

1.2.1. Datele citite din fișierul „semnal.dat” corespund semnalului:

$$y(k) = \sin(2\pi k/M), \text{ cu } k=0, 1, \dots, N-1$$

unde: $M = 12$ și $N = 37$

Eșantioanele semnalului de intrare:

0.0000E+00	5.0000E-01	8.6603E-01	1.0000E+00	8.6603E-01	5.0000E-01
0.0000E+00	-5.0000E-01	-8.6603E-01	-1.0000E+00	-8.6603E-01	-5.0000E-01
0.0000E+00	5.0000E-01	8.6603E-01	1.0000E+00	8.6603E-01	5.0000E-01
0.0000E+00	-5.0000E-01	-8.6603E-01	-1.0000E+00	-8.6603E-01	-5.0000E-01
0.0000E+00	5.0000E-01	8.6603E-01	1.0000E+00	8.6603E-01	5.0000E-01
0.0000E+00	-5.0000E-01	-8.6603E-01	-1.0000E+00	-8.6603E-01	-5.0000E-01
0.0000E+00					

Valorile coeficienților B-spline pentru $k_0=6$:

-3.0223E-01	6.0435E-01	8.8481E-01	1.0526E+00	9.0495E-01	5.2379E-01
-1.1185E-04	-5.2334E-01	-9.0652E-01	-1.0467E+00	-9.0651E-01	-5.2337E-01
-4.1396E-08	5.2337E-01	9.0651E-01	1.0467E+00	9.0651E-01	5.2337E-01
-2.4319E-15	-5.2337E-01	-9.0651E-01	-1.0467E+00	-9.0651E-01	-5.2337E-01
4.1389E-08	5.2337E-01	9.0651E-01	1.0467E+00	9.0652E-01	5.2334E-01
1.1183E-04	-5.2379E-01	-9.0495E-01	-1.0526E+00	-8.8481E-01	-6.0434E-01
3.0217E-01					

Valorile coeficienților B-spline pentru $k_0=7$:

-3.0214E-01	6.0433E-01	8.8482E-01	1.0526E+00	9.0495E-01	5.2379E-01
-1.1182E-04	-5.2334E-01	-9.0652E-01	-1.0467E+00	-9.0651E-01	-5.2337E-01
-4.1384E-08	5.2337E-01	9.0651E-01	1.0467E+00	9.0651E-01	5.2337E-01
1.8965E-15	-5.2337E-01	-9.0651E-01	-1.0467E+00	-9.0651E-01	-5.2337E-01
4.1389E-08	5.2337E-01	9.0651E-01	1.0467E+00	9.0652E-01	5.2334E-01
1.1183E-04	-5.2379E-01	-9.0495E-01	-1.0526E+00	-8.8481E-01	-6.0434E-01
3.0217E-01					

Valorile coeficienților B-spline pentru $k_0=9$:

-3.0217E-01	6.0434E-01	8.8481E-01	1.0526E+00	9.0495E-01	5.2379E-01
-1.1183E-04	-5.2334E-01	-9.0652E-01	-1.0467E+00	-9.0651E-01	-5.2337E-01
-4.1388E-08	5.2337E-01	9.0651E-01	1.0467E+00	9.0651E-01	5.2337E-01
4.6854E-16	-5.2337E-01	-9.0651E-01	-1.0467E+00	-9.0651E-01	-5.2337E-01
4.1389E-08	5.2337E-01	9.0651E-01	1.0467E+00	9.0652E-01	5.2334E-01
1.1183E-04	-5.2379E-01	-9.0495E-01	-1.0526E+00	-8.8481E-01	-6.0434E-01
3.0217E-01					

Erorile de interpolare cu factor $m=2$, $k_0=7$ (erori raportate):

-1.0070E-01	-9.5585E-02	5.5511E-17	2.2076E-02	2.2204E-16	-6.1574E-03
2.2204E-16	1.3933E-03	1.1102E-16	-5.7566E-04	1.1102E-16	6.0351E-05
1.6313E-17	2.3514E-05	0.0000E+00	1.5633E-04	-2.2204E-16	2.0011E-04
-2.2204E-16	2.0291E-04	-2.2204E-16	1.4795E-04	-1.1102E-16	5.4254E-05
-4.8708E-18	-5.4223E-05	1.1102E-16	-1.4810E-04	2.2204E-16	-2.0232E-04
0.0000E+00	-2.0232E-04	1.1102E-16	-1.4811E-04	0.0000E+00	-5.4211E-05
-3.4327E-17	5.4211E-05	-1.1102E-16	1.4811E-04	0.0000E+00	2.0232E-04
-2.2204E-16	2.0232E-04	-1.1102E-16	1.4810E-04	-5.5511E-17	5.4223E-05
4.1361E-18	-5.4254E-05	1.1102E-16	-1.4795E-04	2.2204E-16	-2.0291E-04
4.4409E-16	-2.0011E-04	1.1102E-16	-1.5633E-04	5.5511E-17	-2.3511E-05
-1.7007E-18	-6.0363E-05	-1.6653E-16	5.7570E-04	-2.2204E-16	-1.3935E-03
0.0000E+00	6.1580E-03	0.0000E+00	-2.2079E-02	-1.1102E-16	9.5596E-02
1.0072E-01					

1.2.2. Datele citite din fișierul „semnal.dat” corespund semnalului:

$$y(k) = \sin(2\pi k/M), \text{ cu } k=0, 1, \dots, N-1$$

unde: $M = 120$ și $N = 361$

Erorile de interpolare cu factor $m=2$, $k_0=7$ (erori raportate) - eșantioane de la începutul și sfârșitul șirului de date:

1.0086E-02	9.5634E-03	-1.3878E-17	-2.2247E-03	-2.7756E-17	5.9611E-04
-2.7756E-17	-1.5972E-04	-5.5511E-17	4.2803E-05	-5.5511E-17	-1.1462E-05
-5.5511E-17	3.0793E-06	-5.5511E-17	-8.1585E-07	0.0000E+00	2.2905E-07
0.0000E+00	-4.9768E-08	-5.5511E-17	2.6074E-08	-1.1102E-16	6.8498E-09
-1.1102E-16	1.3061E-08	-2.2204E-16	1.2416E-08	-1.1102E-16	1.3564E-08
-2.2204E-16	1.4186E-08	-2.2204E-16	1.4900E-08	-1.1102E-16	1.5538E-08
0.0000E+00	1.6142E-08	-1.1102E-16	1.6700E-08	0.0000E+00	1.7213E-08
-1.1102E-16	1.7679E-08	-1.1102E-16	1.8096E-08	0.0000E+00	1.8463E-08
...
-1.5538E-08	2.2204E-16	-1.4900E-08	3.3307E-16	-1.4186E-08	1.1102E-16
-1.3564E-08	0.0000E+00	-1.2416E-08	1.1102E-16	-1.3060E-08	1.1102E-16
-6.8519E-09	0.0000E+00	-2.6066E-08	1.1102E-16	4.9740E-08	5.5511E-17
-2.2894E-07	5.5511E-17	8.1546E-07	5.5511E-17	-3.0779E-06	5.5511E-17
1.1457E-05	5.5511E-17	-4.2783E-05	0.0000E+00	1.5965E-04	2.7756E-17
-5.9582E-04	2.7756E-17	2.2236E-03	6.9389E-18	-9.5583E-03	-1.0077E-02

1.2.3. Datele citite din fișierul „semnal.dat” corespund semnalului:

$$y(k) = \cos(2\pi k/M), \text{ cu } k=0, 1, \dots, N-1$$

unde: $M = 12$ și $N = 37$

Eșantioanele semnalului de intrare:

1.0000E+00	8.6603E-01	5.0000E-01	0.0000E+00	-5.0000E-01	-8.6603E-01
-1.0000E+00	-8.6603E-01	-5.0000E-01	0.0000E+00	5.0000E-01	8.6603E-01
1.0000E+00	8.6603E-01	5.0000E-01	0.0000E+00	-5.0000E-01	-8.6603E-01
-1.0000E+00	-8.6603E-01	-5.0000E-01	0.0000E+00	5.0000E-01	8.6603E-01
1.0000E+00	8.6603E-01	5.0000E-01	0.0000E+00	-5.0000E-01	-8.6603E-01
-1.0000E+00	-8.6603E-01	-5.0000E-01	0.0000E+00	5.0000E-01	8.6603E-01
1.0000E+00	8.6603E-01	5.0000E-01	0.0000E+00	-5.0000E-01	-8.6603E-01
-1.0000E+00	-8.6603E-01	-5.0000E-01	0.0000E+00	5.0000E-01	8.6603E-01
1.0000E+00	8.6603E-01	5.0000E-01	0.0000E+00	-5.0000E-01	-8.6603E-01

Valorile coeficienților B-spline pentru $k_0=7$:

1.0468E+00	9.0650E-01	5.2337E-01	-4.2200E-07	-5.2337E-01	-9.0651E-01
-1.0467E+00	-9.0651E-01	-5.2337E-01	-1.5618E-10	5.2337E-01	9.0651E-01
1.0467E+00	9.0651E-01	5.2337E-01	-5.8121E-14	-5.2337E-01	-9.0651E-01
-1.0467E+00	-9.0651E-01	-5.2337E-01	-1.0709E-15	5.2337E-01	9.0651E-01
1.0467E+00	9.0651E-01	5.2337E-01	1.8072E-15	-5.2337E-01	-9.0651E-01
-1.0467E+00	-9.0651E-01	-5.2337E-01	-3.8598E-15	5.2337E-01	9.0651E-01
1.0467E+00	9.0651E-01	5.2337E-01	0.0000E+00	-5.2337E-01	-9.0651E-01

Erorile de interpolare cu factor $m=2$, $k_0=7$ (erori raportate):

1.5107E-01	1.9080E-02	-2.2204E-16	1.4972E-04	-1.1102E-16	5.3779E-05
1.9599E-17	-5.4095E-05	5.5511E-17	-1.4814E-04	2.2204E-16	-2.0231E-04
2.2204E-16	-2.0232E-04	0.0000E+00	-1.4811E-04	1.1102E-16	-5.4211E-05
1.0592E-17	5.4211E-05	-5.5511E-17	1.4811E-04	-2.2204E-16	2.0232E-04
0.0000E+00	2.0232E-04	0.0000E+00	1.4811E-04	0.0000E+00	5.4211E-05
-1.3027E-17	-5.4211E-05	5.5511E-17	-1.4811E-04	2.2204E-16	-2.0232E-04
2.2204E-16	-2.0232E-04	0.0000E+00	-1.4811E-04	1.1102E-16	-5.4211E-05
1.5850E-18	5.4211E-05	0.0000E+00	1.4811E-04	-2.2204E-16	2.0232E-04
-2.2204E-16	2.0232E-04	-1.1102E-16	1.4811E-04	-5.5511E-17	5.4211E-05
-4.0205E-18	-5.4211E-05	0.0000E+00	-1.4811E-04	1.1102E-16	-2.0232E-04
2.2204E-16	-2.0232E-04	2.2204E-16	-1.4811E-04	0.0000E+00	-5.4211E-05
-2.1300E-17	5.4211E-05	-1.1102E-16	1.4811E-04	-2.2204E-16	1.9088E-02
1.5108E-01	1.9080E-02	-2.2204E-16	1.4972E-04	-1.1102E-16	5.3779E-05

ANEXA 2. IMPLEMENTAREA ALGORITMULUI ZERO

Anexa 2.1. Secvența din programul în *Matlab* prin care se determină coeficienții pentru algoritmul zero

```
clear all;
y=load('semnal.dat'); % citire semnal de intrare
N=length(y);
c2=y(3)-(16*(y(2)+y(4))-(y(1)+y(5))-30*y(3))/72;
c0=c2-(y(5)-3*y(1)-10*y(2)+18*y(3)-6*y(4))/6;
c1=(6*y(2)-c0-c2)/4;
c(1)=c0; % determinarea coeficienților inițiali
c(2)=c1;
c(3)=c2;
for i=4:1:N % calcularea coeficienților
    c(i)=6*y(i-1)-4*c(i-1)-c(i-2);
end
save semnal_c.dat -ascii -double c % salvarea coeficienților în fișier
```

Anexa 2.2. Rezultate obținute la rularea programului

Datele citite din fișierul „semnal.dat” corespund semnalului:
 $y(k)=\sin(2\pi k/M)$, cu $k=0, 1, \dots, N-1$
unde: $M = 120$ și $N=361$

Erorile de reconstrucție corespunzătoare eșantioanelor $k=30-71$:

-5.4504E-09	3.9060E-08	2.7602E-07	9.4020E-08	-1.2977E-06	6.7116E-06
-1.3324E-05	2.1538E-04	1.3581E-03	2.7442E-03	1.0546E-02	5.9017E-02
-2.2285E-01	7.4314E-01	2.7071E+00	8.6691E+00	3.2629E+01	5.8779E-01
5.4464E-01	5.0000E-01	4.5399E-01	4.0674E-01	1.3107E+05	3.0902E-01
2.5882E-01	2.0791E-01	1.5643E-01	1.0453E-01	2.6844E+08	1.2246E-16
-5.2336E-02	1.7180E+10	-1.5643E-01	-2.7488E+11	-5.4976E+11	-3.0902E-01
8.7961E+12	3.5184E+13	-4.5399E-01	-5.6295E+14	-2.2518E+15	-5.8779E-01

ANEXA 3. IMPLEMENTAREA ALGORITMILOR 1A, 1D ȘI 1P

Anexa 3.1. Secvența din programul în *Matlab* prin care se determină coeficienții pentru *algoritmul 1A*

```
clear all;
y=load('semnal.dat'); % citire semnal de intrare
N=length(y);
c2=y(3)-(y(5)-2*y(4)+y(3))/6;
c0=c2-2*(y(3)-y(2));
c1=(6*y(2)-c0-c2)/4;
c(1)=c0; % determinarea coeficienților inițiali
c(2)=c1;
c(3)=c2;
for i=4:1:N
    c(i)= 2*(y(i)-y(i-2))+c(i-2); % calcularea coeficienților
end
save semnal_c.dat -ascii -double c % salvarea coeficienților în fișier
```

Anexa 3.2. Rezultate obținute la rularea programului 1A

Datele citite din fișierul „semnal.dat” corespund semnalului:
 $y(k)=\cos(2\pi k/M)$, cu $k=0, 1, \dots, N-1$
unde: $M=12$ și $N=37$

Erorile de interpolare cu factor $m=2$ (erori raportate):

3.4295E-02	-4.9819E-02	0.0000E+00	2.9676E-02	4.4658E-02	7.5806E-02
8.9316E-02	5.2586E-02	-1.1102E-16	-3.3763E-02	-7.7350E-02	-1.6010E-01
-2.4402E-01	-2.9258E-01	-3.3333E-01	-3.9570E-01	-4.4338E-01	-4.4183E-01
-4.2265E-01	-4.1861E-01	-3.9872E-01	-3.3226E-01	-2.5598E-01	-2.0592E-01
-1.5470E-01	-7.3443E-02	-4.4409E-16	2.9676E-02	4.4658E-02	7.5806E-02
8.9316E-02	5.2586E-02	-4.4409E-16	-3.3763E-02	-7.7350E-02	-1.6010E-01
-2.4402E-01	-2.9258E-01	-3.3333E-01	-3.9570E-01	-4.4338E-01	-4.4183E-01
-4.2265E-01	-4.1861E-01	-3.9872E-01	-3.3226E-01	-2.5598E-01	-2.0592E-01
-1.5470E-01	-7.3443E-02	1.6653E-15	2.9676E-02	4.4658E-02	7.5806E-02
8.9316E-02	5.2586E-02	6.6613E-16	-3.3763E-02	-7.7350E-02	-1.6010E-01
-2.4402E-01	-2.9258E-01	-3.3333E-01	-3.9570E-01	-4.4338E-01	-4.4183E-01
-4.2265E-01	-4.1861E-01	-3.9872E-01	-3.3226E-01	-2.5598E-01	-1.8788E-01
-1.0363E-02					

Anexa 3.3. Secvența din programul în *Matlab* prin care se determină coeficienții pentru *algoritmul 1D*

```
clear all;
y=load('semnal.dat'); % citire semnal de intrare
N=length(y);
c2=(y(3)-(y(4)-2*y(3)+y(2)))/6;
c0=c2-y(3)+y(1);
c1=(6*y(2)-c0-c2)/4;
c(1)=c0; % determinarea coeficienților inițiali
c(2)=c1;
c(3)=c2;
for i=4:1:N
    c(i)=y(i)-y(i-2)+c(i-2); % calcularea coeficienților
end
save semnal_c.dat -ascii -double c % salvarea coeficienților în fișier
```

Anexa 3.4. Rezultate obținute la rularea programului *1D*

Datele citite din fișierul „semnal.dat” corespund semnalului:
 $y(k)=\cos(2\pi k/M)$, cu $k=0, 1, \dots, N-1$
unde: $M=12$ și $N=37$

Erorile de interpolare cu factor $m=2$ (erori raportate):

```
1.6630E-01  2.7759E-02  0.0000E+00 -2.8690E-03 -8.1730E-03 -2.2978E-02
-3.8675E-02 -4.6199E-02 -5.2831E-02 -6.6308E-02 -7.7350E-02 -7.7918E-02
-7.5160E-02 -7.7918E-02 -7.7350E-02 -6.6308E-02 -5.2831E-02 -4.6199E-02
-3.8675E-02 -2.2978E-02 -8.1730E-03 -2.8690E-03 2.2204E-16 8.7412E-03
1.4156E-02 8.7412E-03 0.0000E+00 -2.8690E-03 -8.1730E-03 -2.2978E-02
-3.8675E-02 -4.6199E-02 -5.2831E-02 -6.6308E-02 -7.7350E-02 -7.7918E-02
-7.5160E-02 -7.7918E-02 -7.7350E-02 -6.6308E-02 -5.2831E-02 -4.6199E-02
-3.8675E-02 -2.2978E-02 -8.1730E-03 -2.8690E-03 0.0000E+00 8.7412E-03
1.4156E-02 8.7412E-03 2.2204E-16 -2.8690E-03 -8.1730E-03 -2.2978E-02
-3.8675E-02 -4.6199E-02 -5.2831E-02 -6.6308E-02 -7.7350E-02 -7.7918E-02
-7.5160E-02 -7.7918E-02 -7.7350E-02 -6.6308E-02 -5.2831E-02 -4.6199E-02
-3.8675E-02 -2.2978E-02 -8.1730E-03 -2.8690E-03 0.0000E+00 2.7759E-02
1.6630E-01
```

Anexa 3.5. Secvența din programul în *Matlab* prin care se determină coeficienții pentru *algoritmul 1P*

```
y=load('semnal.dat'); % citire semnal de intrare
N=length(y);
```

```

c2=y(3)-(16*(y(2)+y(4))-(y(1)+y(5))-30*y(3))/72;
c0=c2-(y(5)-3*y(1)-10*y(2)+18*y(3)-6*y(4))/6;
c1=(6*y(2)-c0-c2)/4;
c(1)=c0;          % determinarea coeficienților inițiali
c(2)=c1;
c(3)=c2;
for i=4:1:(N-1) % calcularea coeficienților
    c(i)=(y(i-3)-8*(y(i-2)-y(i))-y(i+1))/6+c(i-2);
end
c(N)=y(N)-y(N-2)+c(N-2);

save semnal_c.dat -ascii -double c    % salvarea coeficienților în fișier

```

Anexa 3.6. Rezultate obținute la rularea programului 1P

Datele citite din fișierul „semnal.dat” corespund semnalului:
 $y(k)=\cos(2\pi k/M)$, cu $k=0, 1, \dots, N-1$
unde: $M=12$ și $N=37$

Erorile de interpolare cu factor $m=2$ (erori raportate):

1.4932E-01	1.8031E-02	-1.1102E-16	5.9426E-04	2.4929E-04	-3.0225E-04
-9.9718E-04	-1.4428E-03	-1.7451E-03	-2.4306E-03	-2.7243E-03	-3.0008E-03
-2.7422E-03	-3.0008E-03	-2.7243E-03	-2.4306E-03	-1.7451E-03	-1.4428E-03
-9.9718E-04	-3.0225E-04	2.4929E-04	6.8550E-04	7.2998E-04	1.2558E-03
1.2465E-03	1.2558E-03	7.2998E-04	6.8550E-04	2.4929E-04	-3.0225E-04
-9.9718E-04	-1.4428E-03	-1.7451E-03	-2.4306E-03	-2.7243E-03	-3.0008E-03
-2.7422E-03	-3.0008E-03	-2.7243E-03	-2.4306E-03	-1.7451E-03	-1.4428E-03
-9.9718E-04	-3.0225E-04	2.4929E-04	6.8550E-04	7.2998E-04	1.2558E-03
1.2465E-03	1.2558E-03	7.2998E-04	6.8550E-04	2.4929E-04	-3.0225E-04
-9.9718E-04	-1.4428E-03	-1.7451E-03	-2.4306E-03	-2.7243E-03	-3.0008E-03
-2.7422E-03	-3.0008E-03	-2.7243E-03	-2.4306E-03	-1.7451E-03	-1.4428E-03
-9.9718E-04	-3.0225E-04	2.4929E-04	1.1507E-03	4.4515E-03	3.0829E-02
1.6712E-01					

ANEXA 4. IMPLEMENTAREA ALGORITMILOR 2A, 2D ȘI 2P

Anexa 4.1. Secvența din programul în *Matlab* prin care se determină coeficienții pentru *algoritmul 2A*

```
y=load('semnal.dat'); % citire semnal de intrare
N=length(y);
for i=1:(N-2) % calcularea coeficienților
    c(i)=(11*y(i)-y(i+2)+2*y(i+1))/12;
end
c(N)=y(N)-y(N-2)+c(N-2);
c(N-1)=(6*y(N-1)-c(N-2)-c(N))/4;
save semnal_c.dat -ascii -double c % salvarea coeficienților în fișier
```

Anexa 4.2. Rezultate obținute la rularea programului 2A

Datele citite din fișierul „semnal.dat” corespund semnalului:
 $y(k)=\cos(2\pi k/M)$, cu $k=0, 1, \dots, N-1$
unde: $M=12$ și $N=37$

Erorile de interpolare cu factor $m=2$ (erori raportate):

1.7424E-01	4.6756E-02	2.8009E-02	2.6200E-02	2.2329E-02	1.7130E-02
1.0666E-02	3.4706E-03	-3.8551E-03	-1.1119E-02	-1.7343E-02	-2.2729E-02
-2.6184E-02	-2.8249E-02	-2.8009E-02	-2.6200E-02	-2.2329E-02	-1.7130E-02
-1.0666E-02	-3.4706E-03	3.8551E-03	1.1119E-02	1.7343E-02	2.2729E-02
2.6184E-02	2.8249E-02	2.8009E-02	2.6200E-02	2.2329E-02	1.7130E-02
1.0666E-02	3.4706E-03	-3.8551E-03	-1.1119E-02	-1.7343E-02	-2.2729E-02
-2.6184E-02	-2.8249E-02	-2.8009E-02	-2.6200E-02	-2.2329E-02	-1.7130E-02
-1.0666E-02	-3.4706E-03	3.8551E-03	1.1119E-02	1.7343E-02	2.2729E-02
2.6184E-02	2.8249E-02	2.8009E-02	2.6200E-02	2.2329E-02	1.7130E-02
1.0666E-02	3.4706E-03	-3.8551E-03	-1.1119E-02	-1.7343E-02	-2.2729E-02
-2.6184E-02	-2.8249E-02	-2.8009E-02	-2.6200E-02	-2.2329E-02	-1.7130E-02
-1.0666E-02	-4.0126E-03	-4.8069E-04	-1.3466E-03	-1.1102E-16	2.8538E-02
1.6805E-01					

Anexa 4.3. Secvența din programul în *Matlab* prin care se determină coeficienții pentru *algoritmul 2D*

```

y=load('semnal.dat'); % citire semnal de intrare
N=length(y);
c(3)=y(3)-(y(4)-2*y(3)+y(2))/6; % determinarea coeficienților inițiali
c(1)=c(3)-y(3)+y(1);
c(2)=(6*y(2)-c(1)-c(3))/4;
for i=4:1:(N-2) % calcularea coeficienților
    c(i)=y(i)-(y(i+1)-2*y(i)+y(i-1))/6;
end
c(N)=y(N)-y(N-2)+c(N-2);
c(N-1)=(6*y(N-1)-c(N-2)-c(N))/4;
save semnal_c.dat -ascii -double c % salvarea coeficienților în fișier

```

Anexa 4.4. Rezultate obținute la rularea programului 2D

Datele citite din fișierul „semnal.dat” corespund semnalului:

$$y(k)=\cos(2\pi k/M), \text{ cu } k=0, 1, \dots, N-1$$

unde: $M = 12$ și $N = 37$

Erorile de interpolare cu factor $m=2$ (erori raportate):

```

1.6630E-01  2.7759E-02  0.0000E+00 -1.8930E-03 -3.6499E-04  4.0001E-04
-2.2034E-17 -5.7028E-04 -9.9718E-04 -1.5580E-03 -1.7272E-03 -2.1283E-03
-1.9944E-03 -2.1283E-03 -1.7272E-03 -1.5580E-03 -9.9718E-04 -5.7028E-04
7.9981E-17  5.7028E-04  9.9718E-04  1.5580E-03  1.7272E-03  2.1283E-03
1.9944E-03  2.1283E-03  1.7272E-03  1.5580E-03  9.9718E-04  5.7028E-04
-1.5181E-16 -5.7028E-04 -9.9718E-04 -1.5580E-03 -1.7272E-03 -2.1283E-03
-1.9944E-03 -2.1283E-03 -1.7272E-03 -1.5580E-03 -9.9718E-04 -5.7028E-04
-1.5107E-16  5.7028E-04  9.9718E-04  1.5580E-03  1.7272E-03  2.1283E-03
1.9944E-03  2.1283E-03  1.7272E-03  1.5580E-03  9.9718E-04  5.7028E-04
2.7354E-16 -5.7028E-04 -9.9718E-04 -1.5580E-03 -1.7272E-03 -2.1283E-03
-1.9944E-03 -2.1283E-03 -1.7272E-03 -1.5580E-03 -9.9718E-04 -5.7028E-04
-2.9886E-16  4.0001E-04 -3.6499E-04 -1.8930E-03 -1.1102E-16  2.7759E-02
1.6630E-01

```

Anexa 4.5. Secvența din programul în *Matlab* prin care se determină coeficienții pentru *algoritmul 2P*

```

y=load('semnal.dat'); % citire semnal de intrare
N=length(y);
c2=y(3)-(16*(y(2)+y(4))-(y(1)+y(5))-30*y(3))/72;
c0=c2-(y(5)-3*y(1)-10*y(2)+18*y(3)-6*y(4))/6;

```

```

c1=(6*y(2)-c0-c2)/4;
c(1)=c0; % determinarea coeficienților inițiali
c(2)=c1;
c(3)=c2;
for i=4:1:(N-2) % calcularea coeficienților
    c(i)=y(i)-(16*(y(i-1)+y(i+1))-(y(i-2)+y(i+2))-30*y(i))/72;
end
c(N)=y(N)-y(N-2)+c(N-2);
c(N-1)=(6*y(N-1)-c(N-2)-c(N))/4;
save semnal_c.dat -ascii -double c % salvarea coeficienților în fișier

```

Anexa 4.6. Rezultate obținute la rularea programului 2P

Datele citite din fișierul „semnal.dat” corespund semnalului:

$$y(k) = \cos(2\pi k/M), \text{ cu } k=0, 1, \dots, N-1$$

unde: $M = 12$ și $N = 37$

Erorile de interpolare cu factor $m=2$ (erori raportate):

1.4932E-01	1.8031E-02	-1.1102E-16	6.2022E-04	4.5704E-04	3.1579E-04
-2.2034E-17	-3.2377E-04	-5.2085E-04	-8.8455E-04	-9.0215E-04	-1.2083E-03
-1.0417E-03	-1.2083E-03	-9.0215E-04	-8.8455E-04	-5.2085E-04	-3.2377E-04
5.2225E-17	3.2377E-04	5.2085E-04	8.8455E-04	9.0215E-04	1.2083E-03
1.0417E-03	1.2083E-03	9.0215E-04	8.8455E-04	5.2085E-04	3.2377E-04
-1.2405E-16	-3.2377E-04	-5.2085E-04	-8.8455E-04	-9.0215E-04	-1.2083E-03
-1.0417E-03	-1.2083E-03	-9.0215E-04	-8.8455E-04	-5.2085E-04	-3.2377E-04
-1.2332E-16	3.2377E-04	5.2085E-04	8.8455E-04	9.0215E-04	1.2083E-03
1.0417E-03	1.2083E-03	9.0215E-04	8.8455E-04	5.2085E-04	3.2377E-04
2.1802E-16	-3.2377E-04	-5.2085E-04	-8.8455E-04	-9.0215E-04	-1.2083E-03
-1.0417E-03	-1.2083E-03	-9.0215E-04	-8.8455E-04	-5.2085E-04	-3.2377E-04
-2.4334E-16	1.7668E-04	-6.5584E-04	-2.0229E-03	0.0000E+00	2.7630E-02
1.6601E-01					

ANEXA 5. IMPLEMENTAREA ALGORITMILOR ÎMBUNĂȚIȚI

Anexa 5.1. Secvența din programul în *Matlab* prin care se determină coeficienții pentru *algoritmul 1D intercalat*

```
clear all;
y=load('semnal.dat'); % citire semnal de intrare
N=length(y);
c2=y(3)-(y(4)-2*y(3)+y(2))/6;
c0=c2-y(3)+y(1);
c1=(6*y(2)-c0-c2)/4;
c(1)=c0; % determinarea coeficienților inițiali
c(2)=c1;
c(3)=c2;
for i=4:2:N % calcularea coeficienților
    c(i)=y(i)-y(i-2)+c(i-2);
    c(i-1)=(6*y(i-1)-c(i-2)-c(i))/4;
end
c(N)=y(N)-y(N-2)+c(N-2);
save semnal_c.dat -ascii -double c % salvarea coeficienților în fișier
```

Anexa 5.2. Rezultate obținute la rularea programului *1Di*

Datele citite din fișierul „semnal.dat” corespund semnalului:
 $y(k)=\cos(2\pi k/M)$, cu $k=0, 1, \dots, N-1$
unde: $M=12$ și $N=37$

Erorile de interpolare cu factor $m=2$ (erori raportate):

1.6630E-01	2.8015E-02	2.0433E-03	3.0053E-03	1.1102E-16	-1.5453E-02
-2.3424E-02	-7.9710E-03	-5.5511E-17	-2.5987E-02	-4.5352E-02	-2.2246E-02
-1.1102E-16	-2.2246E-02	-4.5352E-02	-2.5987E-02	0.0000E+00	-7.9710E-03
-2.3424E-02	-1.5453E-02	5.5511E-17	2.5630E-03	-1.4958E-03	-1.1781E-03
1.1102E-16	-1.1781E-03	-1.4958E-03	2.5630E-03	0.0000E+00	-1.5453E-02
-2.3424E-02	-7.9710E-03	0.0000E+00	-2.5987E-02	-4.5352E-02	-2.2246E-02
0.0000E+00	-2.2246E-02	-4.5352E-02	-2.5987E-02	0.0000E+00	-7.9710E-03
-2.3424E-02	-1.5453E-02	0.0000E+00	2.5630E-03	-1.4958E-03	-1.1781E-03
2.2204E-16	-1.1781E-03	-1.4958E-03	2.5630E-03	5.5511E-17	-1.5453E-02
-2.3424E-02	-7.9710E-03	0.0000E+00	-2.5987E-02	-4.5352E-02	-2.2246E-02
-1.1102E-16	-2.2246E-02	-4.5352E-02	-2.5987E-02	0.0000E+00	-7.9710E-03
-2.3424E-02	-1.5453E-02	1.1102E-16	3.2607E-03	4.0865E-03	3.3889E-02
1.7447E-01					

Anexa 5.3. Secvența din programul în *Matlab* prin care se determină coeficienții pentru *algoritmul 1D cu pas suplimentar*

```

y=load('semnal.dat'); % citire semnal de intrare
N=length(y);
c2=y(3)-(y(4)-2*y(3)+y(2))/6;
c0=c2-y(3)+y(1);
c1=(6*y(2)-c0-c2)/4;
c(1)=c0;          % determinarea coeficienților inițiali
c(2)=c1;
c(3)=c2;
for i=4:1:N
    c(i)=y(i)-y(i-2)+c(i-2);      % calcularea primului set de coeficienți
end
cn(1)=c(1);
for i=2:N-1          % calcularea celui de-al doilea set de coeficienți
    cn(i)=(6*y(i)-c(i-1)-c(i+1))/4;
end
cn(N)=c(N);
save semnal_c.dat -ascii -double cn    % salvarea coeficienților în fișier

```

Anexa 5.4. Rezultate obținute la rularea programului *1Ds*

Datele citite din fișierul „semnal.dat” corespund semnalului:

$$y(k)=\cos(2\pi k/M), \text{ cu } k=0, 1, \dots, N-1$$

unde: $M=12$ și $N=37$

Erorile de interpolare cu factor $m=2$ (erori raportate):

1.6630E-01	2.8015E-02	2.0433E-03	4.2139E-03	9.6688E-03	1.2345E-02
1.5251E-02	2.2244E-02	2.9006E-02	3.0817E-02	3.1998E-02	3.5767E-02
3.8675E-02	3.5767E-02	3.1998E-02	3.0817E-02	2.9006E-02	2.2244E-02
1.5251E-02	1.2345E-02	9.6688E-03	3.7716E-03	-1.4958E-03	-1.1781E-03
1.1102E-16	-1.1781E-03	-1.4958E-03	3.7716E-03	9.6688E-03	1.2345E-02
1.5251E-02	2.2244E-02	2.9006E-02	3.0817E-02	3.1998E-02	3.5767E-02
3.8675E-02	3.5767E-02	3.1998E-02	3.0817E-02	2.9006E-02	2.2244E-02
1.5251E-02	1.2345E-02	9.6688E-03	3.7716E-03	-1.4958E-03	-1.1781E-03
2.2204E-16	-1.1781E-03	-1.4958E-03	3.7716E-03	9.6688E-03	1.2345E-02
1.5251E-02	2.2244E-02	2.9006E-02	3.0817E-02	3.1998E-02	3.5767E-02
3.8675E-02	3.5767E-02	3.1998E-02	3.0817E-02	2.9006E-02	2.2244E-02
1.5251E-02	1.2345E-02	9.6688E-03	4.2139E-03	2.0433E-03	2.8015E-02
1.6630E-01					

Anexa 5.5. Programul în *Matlab* prin care se implementează algoritmul *2D extins*

```

y=load('semnal.dat');
N=length(y);
c2=(y(3)-(y(4)-2*y(3)+y(2)))/6;
c0=c2-y(3)+y(1);
c1=(6*y(2)-c0-c2)/4;
cm1=6*y(1)-4*c0-c1;
c(1)=cm1;
c(2)=c0;
c(3)=c1;
c(4)=c2;
for i=4:1:(N-1)
    c(i+1)=(y(i)-(y(i+1)-2*y(i)+y(i-1)))/6;
end
c(N+1)=6*y(N-1)-4*c(N)-c(N-1);
c(N+2)=6*y(N)-4*c(N+1)-c(N);
save semnal_c.dat -ascii -double c
s=zeros(1,N); %reconstructia semnalului
b13=[1/6, 2/3, 1/6];
for i=1:N
    sum=0;
    for k=1:3
        sum=sum+c(i+k-1)*b13(k);
    end
    s(i)=sum;
end
m=2;
D=m*N-1;
Dc=D+6;
yi=zeros(1,D);
cc=zeros(1,Dc);
b23=[1/48, 1/6, 23/48, 2/3, 23/48, 1/6, 1/48];
for i=1:Dc-1
    if (((i+1)/m)==round((i+1)/m))
        cc(i+1)=c((i+1)/m);
    end
end
for i=1:D
    sum=0;
    for k=1:7
        sum=sum+cc(i+k-1)*b23(k);
    end
    yi(i)=sum;
end
figure;
save semnal_i.dat -ascii -double yi
yin= load('semnal2.dat'); %eroarea de interpolare
ein=yin-yi;

```



```

save semnal_ein.dat -ascii -double ein
figure
plot(ein);
ylabel('Amplitudine')
xlabel('Numar esantioane')
title('Eroarea de interpolare')

```

Anexa 5.6. Rezultate obținute la rularea programului 2Dext

Datele citite din fișierul „semnal.dat” corespund semnalului:

$$y(k) = \cos(2\pi k/M), \text{ cu } k=0, 1, \dots, N-1$$

unde: $M = 12$ și $N = 37$

Erorile de interpolare cu factor $m=2$ (erori raportate):

0.0000E+00	6.9717E-03	1.1102E-16	-1.8930E-03	-3.6499E-04	4.0001E-04
-2.2034E-17	-5.7028E-04	-9.9718E-04	-1.5580E-03	-1.7272E-03	-2.1283E-03
-1.9944E-03	-2.1283E-03	-1.7272E-03	-1.5580E-03	-9.9718E-04	-5.7028E-04
7.9981E-17	5.7028E-04	9.9718E-04	1.5580E-03	1.7272E-03	2.1283E-03
1.9944E-03	2.1283E-03	1.7272E-03	1.5580E-03	9.9718E-04	5.7028E-04
-1.5181E-16	-5.7028E-04	-9.9718E-04	-1.5580E-03	-1.7272E-03	-2.1283E-03
-1.9944E-03	-2.1283E-03	-1.7272E-03	-1.5580E-03	-9.9718E-04	-5.7028E-04
-1.5107E-16	5.7028E-04	9.9718E-04	1.5580E-03	1.7272E-03	2.1283E-03
1.9944E-03	2.1283E-03	1.7272E-03	1.5580E-03	9.9718E-04	5.7028E-04
2.7354E-16	-5.7028E-04	-9.9718E-04	-1.5580E-03	-1.7272E-03	-2.1283E-03
-1.9944E-03	-2.1283E-03	-1.7272E-03	-1.5580E-03	-9.9718E-04	-5.7028E-04
-2.9886E-16	5.7028E-04	9.9718E-04	1.3421E-03	0.0000E+00	-2.2230E-03
0.0000E+00					

ANEXA 6. IMPLEMENTAREA ALGORITMULUI 2D PE UN PROCESOR NUMERIC DE SEMNAL

Anexa 6.1. Fișierul header *ach_red_5416cfg.h*

```
/* INPUT ach_red_5416.cdb */

#define CHIP_5416 1

/* Include Header Files */
#include <std.h>
#include <swi.h>
#include <tsk.h>
#include <log.h>
#include <csl_mcbbsp.h>

#ifdef __cplusplus
extern "C" {
#endif

extern SWI_Obj KNL_swi;
extern TSK_Obj TSK_idle;
extern TSK_Obj Program_Principal;
extern LOG_Obj LOG_system;
extern MCBSP_Config mcbbspCfg0;
extern MCBSP_Handle C54XX_DMA_MCBSP_hMcbbsp;
extern void CSL_cfgInit();

#ifdef __cplusplus
}
#endif /* extern "C" */
```

Anexa 6.2. Fișier de comenzi (secvențe)

```
/* INPUT g_s_tab_5416.cdb */
/* MODULE GBL */

SECTIONS {
    .vers (COPY): {} /* version information */
}

-priority
-llnkrtx.a54f
-ldrivers.a54f /* device drivers support */
-lsioboth.a54f /* supports both SIO models */
```

```

-lbios.a54f          /* DSP/BIOS support */
-lrtdx_ext.lib       /* RTDX support */
-lcsl5416x.lib
-lrts_ext.lib        /* C and C++ run-time library support */

/* MODULE MEM */
-stack 0x100
MEMORY {
  PAGE 1: USERREGS:  origin = 0x60,      len = 0x1a
  PAGE 1: BIOSREGS:  origin = 0x7c,      len = 0x4
  PAGE 1: CSLREGS:   origin = 0x7a,      len = 0x2
  PAGE 0: VECT:      origin = 0x7f80,    len = 0x80
  PAGE 1: IDATA:     origin = 0x80,      len = 0x7000
  PAGE 0: IPROG:     origin = 0x7080,    len = 0xf00
  PAGE 1: DARAM47:   origin = 0x8000,    len = 0x8000
  PAGE 0: SARAM03:   origin = 0x28000,   len = 0x8000
  PAGE 0: SARAM47:   origin = 0x38000,   len = 0x8000
}

/* MODULE CLK */
SECTIONS {
  .clk: {
    _CLK_start = _CLK_startNOPRSC;
    CLK_F_isr = CLK_F_isr54x;
    CLK_F_gettime = CLK_F_getshtime;
    CLK_A_TABBEG = .;
    *(.clk)
    CLK_A_TABEND = .;
    CLK_A_TABLEN = (. - CLK_A_TABBEG) / 1;
  } > IDATA PAGE 1
}
_CLK_PRD = CLK_PRD;
_CLK_COUNTSPMS = CLK_COUNTSPMS;
_CLK_REGS = CLK_REGS;
_CLK_USETIMER = CLK_USETIMER;
_CLK_TIMERNUM = CLK_TIMERNUM;
_CLK_TCR = CLK_TCR;
_CLK_TDDR = CLK_TDDR;

/* MODULE PRD */
SECTIONS {
  .prd: {
    PRD_A_TABBEG = .;
    /* no PRD objects */
    PRD_A_TABEND = .;
    PRD_A_TABLEN = (. - PRD_A_TABBEG) / 8;
  } > IDATA PAGE 1
}

/* MODULE RTDX */
_RTDX_interrupt_mask = 0x0;

```

```
.gio: {} > IDATA PAGE 1
.Program_Principal$stk: {
    *.Program_Principal$stk
} > IDATA PAGE 1

.stack: fill=0xbeef {
    GBL_stackbeg = .;
    *.stack
    GBL_stackend = ((GBL_stackbeg + 0x100 - 1) & 0xfffe);
    _HWI_STKBOTTOM = GBL_stackend;
    _HWI_STKTOP = GBL_stackbeg;
} > IDATA PAGE 1

.rtdx_data: {} > IDATA PAGE 1
.TSK_idle$stk: {
    *.TSK_idle$stk
} > IDATA PAGE 1

.hst: {
    HST_A_TABBEG = .;
    _HST_A_TABBEG = .;
    /* no HST objects */
    HST_A_TABEND = .;
    _HST_A_TABEND = .;
    HST_A_TABLEN = (. - _HST_A_TABBEG) / 5;
    _HST_A_TABLEN = (. - _HST_A_TABBEG) / 5;
} > IDATA PAGE 1

.dsm: {} > IDATA PAGE 1
.tsk: {
    *.tsk
} > IDATA PAGE 1

.rtdx_text: {} > IPROG PAGE 0
.bios:.norptb: {} > IPROG PAGE 0
.gblinit: {} > IPROG PAGE 0
.cinit: {} > IPROG PAGE 0
.pinit: {} > IPROG PAGE 0
.text: {} > SARAM03 PAGE 0
.sysinit: {} > SARAM03 PAGE 0
frt: {} > SARAM03 PAGE 0
.trcdata: {} > SARAM03 PAGE 0
.bios: {} > SARAM03 PAGE 0
.switch: {} > SARAM03 PAGE 0

}
```

Anexa 6.2. Programul sursă (în C) - *algoritmul 2D* pentru reconstrucția semnalului - *reconstr_5416.c*

```

#include "ACH_RED_5416CFG.H"
#include "DSK5416.H"
#include "DSK5416_PCM3002.H"
DSK5416_PCM3002_CONFIG SETUP = {
    0X01FF, // SET-UP REG 0 - ATENUARE CANAL CAN STÂNGA
    0X01FF, // SET-UP REG 1 - ATENUARE CANAL CAN DREAPTA
    0X0002, // SET-UP REG 2 - PROGRAMARE CIA ÎN REGIM DE CONSUM
    0X0000 // SET-UP REG 3 - FORMAT DATE CIA
};
/* PROGRAMPRINCIPAL() */
void PROGRAMPRINCIPAL()
{
    DSK5416_PCM3002_CODECHANDLE HCODEC;
#define N 3 /* ORDINUL B-SPLINE */
    int16_t OUTPUT;
    int16_t INPUT[N];
    int16_t COEF[N+1];
    int16_t INTRARE;
    int16_t IESIRE;
    // INITIALIZARE CODEC
    HCODEC = DSK5416_PCM3002_OPENCODEC(0, &SETUP);
    DSK5416_PCM3002_SETFREQ(HCODEC, 48000);
    //PROGRAMUL DE PRELUCRARE DE SEMNAL
    while(1)
    {
        while (!DSK5416_PCM3002_READ16(HCODEC, &INTRARE));
        //CITIRE DE LA CANAL
        INPUT[0]=INTRARE;
        COEF[1]=INPUT[1]-(INPUT[0]-INPUT[1]-INPUT[1]+INPUT[2])*0.16667;
        OUTPUT=COEF[1]*0.16667+COEF[2]*0.66667+COEF[3]*0.16667;
        COEF[3]=COEF[2];
        COEF[2]=COEF[1];
        INPUT[2]=INPUT[1];
        INPUT[1]=INPUT[0];
        IESIRE=OUTPUT;
        //PRELUCRARE SEMNAL
        while (!DSK5416_PCM3002_WRITE16(HCODEC, IESIRE)); //SCRIERE
    }
}
/* LA CNA */
void MAIN()
{
    // INITIALIZARE DSK
    DSK5416_INIT();
}

```